



الأكاديمية الليبية _ مصراتة

مدرسة العلوم الأساسية

قسم الهندسة وعلوم البيئة

تقييم التلوث الكيميائي في رواسب بعض محطات غسيل

السيارات في مدينة مصراتة

**Assessment of Chemical pollution in
sediments of some car wash stations in
Misurata City.**

رسالة مقدمة استكمالاً لمتطلبات الحصول على درجة الإجازة العالية (الماجستير)
في العلوم البيئية

إعداد

محمد حسين محمد الغوج

إشراف

د. محمد اعيقة الباقرمي د. عادل المجد الاجطب

الفصل الدراسي خريف 2017-2018م

بِسْمِ اللَّهِ الرَّحْمَنِ الرَّحِيمِ

* ظَاهِرٌ الْفَسَادُ فِي الْبَرِّ وَالْجَهَنْمُ بِمَا كَسَبُوا لَيْلَةُ النَّاسِ

لَيْلَةٌ يَقْتَلُهُمْ بَعْضُ الَّذِي عَمِلُوا لَعَلَّهُمْ يَرْجِعُونَ *

الرُّوم (41)

اللهم إله

إلى من أكن لها كل الحب والوفاء..... إلى من كانت تشجعني وتشد من أزري

إلى من كان رضاها زاداً في الحياة ودعواتها نوراً في الطريق
أمي

إلى معلمي في الحياة، إلى من رباني وجعل مني رجلاً
أبي

إلى عزوجتي وسندني
إخوتي

إلى كل من ساعد على تقديم هذا البحث العلمي على أحسن وجه وأفضل صورة

وإلى كل محب للعلم والبحث العلمي

شكر وعرفان

الشكر لله العلي القدير على توفيقه

أهدي أسمى آيات الشكر والتقدير والاحترام للمشرفين على هذه الرسالة

لما بذلاه من جهد كبير في سبيل إظهار هذا العمل بهذا المستوى:

د. محمد الباقيمي و د. عادل الأجلط

أتقدم بالشكر إلى أكاديمية الدراسات العليا مصراتة لـإتاحة الفرصة

للدراسة داخل المؤسسة

كما أتقدم بالشكر إلى د إبراهيم حنيش على مساعدته ودعمه لي في تقديم

هذا البحث

وأتقدم بالشكر إلى قسم الكيمياء بكلية العلوم مصراتة وجميع أعضاء

هيئة التدريس بالقسم

كما أتقدم بالشكر إلى كل من مد لي يد العون والمساعدة ولو بكلمة طيبة

محمد حسين الغوج

الخلاصة

استهدفت هذه الدراسة 8 محطات من مواقع مختلفة بمدينة مصراتة للتحقق من اثار مخلفات محطات غسيل السيارات على التربة والماء، تم جمع عينات التربة من داخل وخارج المحطات وعينات مائية من داخل المحطات، تم تقدير الهيدروكربونات النفطية الكلية وبعض المعادن الثقيلة ودراسة الخواص الفيزيوكيميائية للعينات المدروسة.

توضح النتائج المتحصل عليها في هذه الدراسة أن متوسط الرقم الهيدروجيني في عينات التربة داخل المحطات يتراوح بين 6.6 – 8.53، بينما كان خارج المحطات يتراوح بين 5.97 – 8.63، أما عينات المائية كان متوسط الرقم الهيدروجيني لها يتراوح بين 6.8 – 8.44 ، وكانت نتائج متوسط الموصلية الكهربائية تتراوح بين $\mu\text{S}/\text{cm}$ 617 – 1730 في عينات التربة داخل المحطات المدروسة، بينما كان متوسطها في عينات التربة خارج المحطات يتراوح بين . $\mu\text{S}/\text{cm}$ 505 – 1760 ، أما في العينات المائية تتراوح بين $\mu\text{S}/\text{cm}$ 517 – 1748 .

تشير نتائج محتوى الرطوبة للعينات التربة داخل المحطات إلى أن النسبة المئوية لمحتوى الرطوبة يتراوح بين % 15.4 – 34، بينما كان في عينات التربة خارج المحطات يتراوح بين % 4 – 20. أما فيما يخص نتائج المحتوى العضوي في عينات التربة داخل وخارج المحطات فقد تراوحت نسبته المئوية بين % 6 – 21 و % 1.6 – 8.2 على التوالي.

كما توضح نتائج المعادن الثقيلة المدروسة إلى أن متوسط تركيز الكادميوم في عينات التربة داخل وخارج المحطات تراوح بين ppm 0.013 – 0.18 و ppm 0.013 – 0.25 على التوالي، أما متوسط تركيز العينات المائية فتراوح بين ppm 0.05 – 0.23 . وكانت نتائج متوسط تركيز الزنك في عينات التربة داخل المحطات يتراوح بين ppm 0.24 – 1.19 بينما كان متوسط تركيز الزنك في عينات التربة خارج المحطات يتراوح بين ppm 0.17 – 0.14 ، أما في العينات المائية يتراوح متوسط تركيز الزنك بين ppm 0.91 – 1.24 . وكانت

نتائج تركيز النحاس في عينات التربة داخل المحطات تتراوح بين 0.089 ppm – 0.9، بينما تراوح تركيز النحاس في عينات التربة خارج المحطات بين 0.1 ppm – 0.77، أما في العينات المائية يتراوح تركيز النحاس بين 0.077 ppm – 0.8 . وكانت نتائج تركيز الرصاص في عينات التربة داخل المحطات يتراوح بين 0.21 ppm – 0.85، بينما كان متوسط تركيزه في عينات التربة خارج المحطات يتراوح بين 0.19 ppm – 1.06، أما في العينات المائية يتراوح تركيز الرصاص بين 0.21 ppm – 1.06 . وكانت نتائج تركيز الحديد في عينات التربة داخل المحطات يتراوح بين 4.32 ppm – 15.79، بينما كان تركيزه الحديد في عينات التربة خارج المحطات يتراوح بين 5.79 ppm – 24.21 أما في العينات المائية فيتراوح بين 4.74 ppm – 16.01 .

سجلت نتائج تراكيز الهيدروكربونات النفطية المتحصل عليها في هذه الدراسة تفاوتاً في القيم حيث سجلت تركيزاً يتراوح بين 389 mg/kg – 70000 لعينات التربة داخل المحطات، بينما في عينات التربة خارج المحطات تراوح تركيزها بين 27000 mg/kg – 55000 .

استخدمت بعض المؤشرات البيئية في تحديد الوضع البيئي للمحطات المدروسة، حيث تم دراسة مؤشر التراكم الجيولوجي ومعامل التلوث ودرجة التلوث. حيث بينت هذه الدراسة فيما يخص مؤشر التراكم الجيولوجي ومعامل التلوث إلى وجود تلوث عالي جداً بالنسبة للهيدروكربونات النفطية في عينات الدراسة. وأشارت نتائج درجة التلوث الذي يختص بدراسة مدى تلوث موقع الدراسة (محطات غسيل السيارات) إلى عدم وجود تلوث بالمعادن الثقيلة التي تم دراستها في محطات الدراسة.

Abstract

This study aimed to investigate the effects of car wash stations on soil and water in eight stations from different locations in Misurata city. Soil samples were collected from inside and outside the stations and water samples were collected from inside stations only.

Total hydrocarbons, heavy metals and physiochemical properties of the studied samples were estimated.

The results obtained in this study show that the average of pH in the soil samples inside the stations ranged between 6.6 - 8.53, while outside the stations ranged from 5.97 - 8.63, and the water samples had an average of pH between 6.8 - 8.44.

The results of the average electrical conductivity ranged from 617-1730 $\mu\text{S} / \text{cm}$ in the soil samples inside the studied stations, while the average in the soil samples outside the stations and water samples ranged between 505-1760 and 517 to 1748 $\mu\text{S} / \text{cm}$ respectively.

The moisture content of soil samples inside the stations indicates that the percentage of moisture content ranged from 15.4 to 34 % while outside the stations soil samples ranged from 4 to 20 %.

The organic content results of inside and outside the stations soil samples, ranged between 6 – 21 and 1.6 - 8.2 % respectively.

The results of heavy metals studied indicate that the average cadmium concentration in soil samples inside and outside the stations ranged from 0.013 - 0.18 ppm and 0.013 - 0.25 ppm, respectively. The average concentration of water samples ranged between 0.05 - 0.23 ppm.

Results of mean zinc concentration ranged in soil samples inside , outside stations and water samples between 0.24 - 1.19 , 0.17 - 1.24 and 0.14-0.91 ppm respectively.

The concentration of copper in soil samples inside , outside stations and water samples ranged between 0.089- 0.9, 0.1-0.77 and 0.077-0.8 ppm respectively.

Also The concentration of lead in soil samples inside , outside stations and water samples ranged between 0.21- 0.85, 0.19 - 1.06 and 0.21-1.06 ppm respectively.

Also The concentration of iron in soil samples inside , outside stations and water samples ranged between 4.32 - 15.79, 5.79 - 24.21 and 4.74 to 16.01 ppm respectively.

The hydrocarbons concentration levels obtained in this study were between 389-7000 mg / kg for the soil samples inside the plants, whereas in soil samples outside the stations, the concentration ranged from 27,000 to 55000 mg / kg.

Some environmental indicators were used to determine the environmental status of the studied stations, where the study of the geoaccumulation index, contamination factor and the degree of contamination were studied.

The results of the geoaccumulation index and contamination factor showed that there is a very high pollution for hydrocarbons in the studied samples.

The degree of contamination show that there is no contamination of heavy metals studied at the stations studied.

فهرس المحتويات

رقم الصفحة	الموضوع	رم
	الباب الأول المقدمة	
2	مقدمة	1-1
3	مشكلة البحث	2-1
4	تلؤث البيئة	3-1
5	درجات التلؤث	4-1
6	تلؤث التربة	5-1
7	قدرة التربة على الاحتفاظ بالمادة الملوثة	1-5-1
7	تلؤث الماء	1-6
9	التلؤث بالنفط ومشتقاتها (التلؤث بالهيدروكربونات النفطية)	7-1
12	التلؤث بالمعادن الثقيلة	8-1
14	قدرة حركة المعادن الثقيلة في التربة	1-8-1
15	المعادن الثقيلة	2-8-1
15	عنصر الحديد	1-2-8-1
15	عنصر الخارصين	2-2-8-1
17	عنصر النحاس	3-2-8-1
18	عنصر الكادميوم	4-2-8-1
19	عنصر الرصاص	5-2-8-1

20	الدراسات السابقة	9-1
20	التلوث بالعناصر الثقيلة	1-9-1
25	التلوث بالمشتقات النفطية ومصادرها	2-9-1
31	اهداف الدراسة	10-1
	الباب الثاني	
	المواد وطرق البحث	
33	وصف المنطقة المدروسة	1-2
33	موقع الدراسة	2-2
33	عينات الدراسة	3-2
34	طريقة تجميع العينات	4-2
34	دراسة الخصائص الفيزيوكيميائية للعينات	5-2
34	تعيين المحتوى المائي	1-5-2
35	تعيين الرقم الهيدروجيني	2-5-2
35	تعيين التوصيلية الكهربائية	3-5-2
36	تعيين محتوى المواد العضوية في التربة	4-5-2
36	تعيين محتوى الهيدروكربونات الكلية في عينات التربة	6-2
37	طريقة هضم وتقدير العناصر الثقيلة للعينات	7-2
37	طريقة هضم وتعيين العناصر الثقيلة في عينات التربة	1-7-2
38	طريقة هضم وتعيين العناصر الثقيلة في العينات المائية	2-7-2
39	استخدام المعايير أو المؤشرات في تحديد حالة الوضع البيئي	8-2
39	مؤشر التراكم الجيولوجي	1-8-2

40	معامل التلوث	2-8-2
41	درجة التلوث	3-8-2
	الباب الثالث النتائج والمناقشة	
43	الرقم الهيدروجيني	1-3
45	التوصيلية الكهربائية	2-3
47	المحتوى المائي	3-3
48	المحتوى العضوي	4-3
50	المعادن الثقيلة	5-3
50	الكادميوم	1-5-3
52	الزنك	2-5-3
54	النحاس	3-5-3
56	الرصاص	4-5-3
58	الحديد	5-5-3
60	الهيدروكربونات النفطية	6-3
62	استخدام المعايير أو المؤشرات البيئية في تحديد حالة الوضع البيئي	7-3
62	مؤشر التراكم الجيولوجي	1-7-3
62	مؤشر التراكم الجيولوجي للكادميوم	1-1-7-3
63	مؤشر التراكم الجيولوجي للزنك	2-1-7-3
65	مؤشر التراكم الجيولوجي للنحاس	3-1-7-3

66	مؤشر التراكم الجيولوجي للرصاص	4-1-7-3
68	مؤشر التراكم الجيولوجي للحديد	5-1-7-3
69	مؤشر التراكم الجيولوجي للهيدروكربونات النفطية	6-1-7-3
70	معامل التلوث	2-7-3
70	معامل تلوث الكادميوم	1-2-7-3
72	معامل تلوث الزنك	2-2-7-3
73	معامل تلوث النحاس	3-2-7-3
75	معامل تلوث الرصاص	4-2-7-3
76	معامل تلوث الحديد	5-2-7-3
78	معامل تلوث الهيدروكربونات النفطية	6-2-7-3
79	درجة التلوث	3-7-3
79	معامل الارتباط العنقودي	4-7-3
79	التربة داخل المحطة	1-4-7-3
80	التربة خارج المحطة	2-4-7-3
82	الطبقة المائية داخل المحطة	3-4-7-3
84	التوصيات	4
85	المراجع	
98	الملاحق	

فهرس الأشكال والخرائط

رقم الصفحة	موضوع الجداول أو الشكل	ر.م
43	يوضح قيم متوسط الرقم الهيدروجيني للعينات	جدول 1-3
44	يوضح قيم متوسط الرقم الهيدروجيني للعينات	شكل 1-3
45	يوضح قيم متوسط التوصيلية الكهربائية للعينات	جدول 2-3
46	يوضح قيم متوسط التوصيلية الكهربائية للعينات	شكل 2-3
47	يوضح قيم متوسط المحتوى المائي للعينات	جدول 3-3
48	يوضح قيم متوسط المحتوى المائي للعينات	شكل 3-3
49	يوضح قيم متوسط المحتوى العضوي للعينات	جدول 4-3
50	يوضح قيم متوسط المحتوى العضوي للعينات	شكل 4-3
51	يوضح قيم متوسط تركيز الكادميوم للعينات	جدول 5-3
52	يوضح قيم متوسط تركيز الكادميوم للعينات	شكل 5-3
53	يوضح قيم متوسط تركيز الزنك للعينات	جدول 6-3
53	يوضح قيم متوسط تركيز الزنك للعينات	شكل 6-3
55	يوضح قيم متوسط تركيز النحاس للعينات	جدول 7-3
55	يوضح قيم متوسط تركيز النحاس للعينات	شكل 7-3
57	يوضح قيم متوسط تركيز الرصاص للعينات	جدول 8-3
58	يوضح قيم متوسط تركيز الرصاص للعينات	شكل 8-3
59	يوضح قيم متوسط تركيز الحديد للعينات	جدول 9-3
59	يوضح قيم متوسط تركيز الحديد للعينات	شكل 9-3
60	يوضح قيم متوسط تركيز الهيدروكربونات النفطية	جدول 10-3

61	يوضح قيم متوسط تركيز الهيدروكربونات النفطية للعينات	شكل 3-10
63	يوضح قيم مؤشر التراكم الجيولوجي للكادميوم في العينات	جدول 3-11
63	يوضح قيم مؤشر التراكم الجيولوجي للكادميوم في العينات	شكل 3-11
64	يوضح قيم مؤشر التراكم الجيولوجي للزنك في العينات	جدول 3-12
64	يوضح قيم مؤشر التراكم الجيولوجي للزنك في العينات	شكل 3-12
65	يوضح قيم مؤشر التراكم الجيولوجي للنحاس في العينات	جدول 3-13
66	يوضح قيم مؤشر التراكم الجيولوجي للنحاس في العينات	شكل 3-13
67	يوضح قيم مؤشر التراكم الجيولوجي للرصاص في العينات	جدول 3-14
67	يوضح قيم مؤشر التراكم الجيولوجي للرصاص في العينات	شكل 3-14
68	يوضح قيم مؤشر التراكم الجيولوجي للحديد في العينات	جدول 3-15
69	يوضح قيم مؤشر التراكم الجيولوجي للحديد في العينات	شكل 3-15
69	يوضح قيم مؤشر التراكم الجيولوجي للهيدروكربونات النفطية في العينات	جدول 3-16
70	يوضح قيم مؤشر التراكم الجيولوجي للهيدروكربونات النفطية في العينات	شكل 3-16
71	يوضح قيم معامل التلوث للكادميوم في العينات	جدول 3-17
71	يوضح قيم معامل التلوث للكادميوم في العينات	شكل 3-17
72	يوضح قيم معامل التلوث للزنك في العينات	جدول 3-18
73	يوضح قيم معامل التلوث للزنك في العينات	شكل 3-18
74	يوضح قيم معامل التلوث للنحاس في العينات	جدول 3-19
74	يوضح قيم معامل التلوث للنحاس في العينات	شكل 3-19

75	يوضح قيم معامل التلوث للرصاص في العينات	جدول 3-20
76	يوضح قيم معامل التلوث للرصاص في العينات	شكل 3-20
77	يوضح قيم معامل التلوث للحديد في العينات	جدول 3-21
77	يوضح قيم معامل التلوث للحديد في العينات	شكل 3-21
78	يوضح قيم معامل التلوث للهيدروكربونات النفطية في العينات	جدول 3-22
78	يوضح قيم معامل التلوث للهيدروكربونات النفطية في العينات	شكل 3-22
79	يوضح قيم درجة التلوث في العينات	جدول 3-23
80	يبين الوصف الشجري لطريقة الربط المنفرد للترابة داخل المحطة للعينات	شكل 3-23
81	يبين الوصف الشجري لطريقة الربط المنفرد للترابة داخل المحطة للعينات	شكل 3-24
82	يبين الوصف الشجري لطريقة الربط المنفرد للترابة داخل المحطة للعينات	شكل 3-35

الباب الأول

المقدمة

١-١ مقدمة

تعرف البيئة على أنها الوسط المحيط بالكائن الحي والذي يشمل كافة الجوانب الحية وغير الحياة ، البشرية منها وغير البشرية، فالبيئة تعني كل ما هو خارج عن كيان الإنسان ولكل ما يحيط به من موجودات من هواء وماء والأرض التي يسكن عليها، وما يحيط به من كائنات حية او جماد هي عناصر هذه البيئة التي يعيش فيها، والتي تعتبر الإطار الذي يمارس فيه حياته وأنشطته المختلفة (أرناؤوط، 1999).

البيئة بالنسبة للإنسان هي الإطار الذي يعيش فيه والذي يحتوي على (التربة – الماء – الهواء) وتسمي بعناصر البيئة والتي لابد أن تكون العلاقة بينها علاقة محددة بصفات وخصائص معينة بحيث تكفل توفير سبل الحياة الملائمة لكل الكائنات في البيئة الطبيعية (حالتها العادية دون تدخل مخل من الإنسان) يكون هناك توازن بين عناصرها الثلاثة سابقة الذكر وما يتبعها من مظاهر، ومن أهم أسباب الخلل في ذلك التوازن هو ما يعرف بالتلوث البيئي والذي أصبح مشكلة خطيرة تهدد الحياة بالزوال حيث برزت هذه المشكلة نتيجة للتقدم التكنولوجي والصناعي والحضاري للإنسان ويشمل تلوث البيئة كلاً من البر والبحر والهواء فأصبحت الكرة الأرضية عرضة للأخطار وهناك العديد من الملوثات ومن ضمنها التلوث بالمعادن الثقيلة الذي يعد من أهم مصادره مخلفات المصانع و التعدين و عوادم السيارات والمبيدات والأسمدة وتعتبر العناصر الثقيلة من الملوثات السامة والخطيرة على صحة الإنسان (غنيم، 2008) .

1-2 مشكلة الدراسة

إن مشكلة تلوث التربة بالمواد الهيدروكربونية هي مشكلة شائعة في مختلف أنحاء العالم، وتنشر بكثرة في الوطن العربي، ومن هنا انطلق بحثنا في دراسة هذه المشكلة، أسبابها، كيفية تحديد انتشارها، وتأثيرها في التربة وخواصها. تنتشر أعداد من محطات غسيل السيارات بمختلف أنواعها، بحيث يتم صرف كميات هائلة من الملوثات منها المشقات النفطية والعناصر الثقيلة بشكل غير مقصود.

إن التربة المحيطة بالمحطات في منطقة الدراسة هي عادة تكون قريبة من التربة الزراعية المستخدمة لإنتاج بعض المحاصيل الزراعية للاستهلاك البشري والحيواني، وبالتالي فإن التصرف الخاطئ في تصريف المخلفات السائلة لمحطات السيارات قد يكون سبباً في تدهور نوعية التربة.

إن مشكلة تلوث التربة والماء بالمواد الكيميائية هي مشكلة شائعة تواجه أغلب المنشآت الصناعية والمحطات التي تتعامل مع المواد البترولية مثل المصافي ومراكيز تخزين وتوزيع الوقود ومحطات غسيل السيارات. إن اغلبية محطات غسيل السيارات تقوم بتتصريف المياه في مجاري المياه الصرف الصحي، التي يمكن أن تحتوي على ثلث مثل المنظفات ونفط ودهن و معادن ثقيلة وغبار كابح وراسب. إن صرف مخلفات محطات تغيير زيوت السيارات والغسيل مع شبكة مجاري مياه الصرف الصحي يؤثر سلباً على محطات المعالجة والتي تعتبر معدة ومصممة لاستقبال مياه الصرف الصحي. نظراً لقلة الدراسات والأبحاث التي تتعلق بتقييم مدى التلوث الناتج من محطات غسيل الآليات وتزويد وتغيير الزيوت للمركبات الآلية خاصة في مدينة مصراتة، كنتيجة لانتشار العشوائي والهائل لتلك المحطات، فكان من المفيد إقامة هذه الدراسة وتوثيقها ضمن الدراسات المحلية بالمكتبة الليبية.

1-3 تلوث البيئة

التلوث هو تواجد أي مادة من المواد الملوثة في البيئة بكميات تؤدي بطريق مباشر أو غير مباشر وبمفردها أو بالتفاعل مع غيرها إلى الإضرار بالصحة، أو تسبب في تعطيل الأنظمة البيئية حيث قد تتوقف تلك الأنظمة عن أداء دورها الطبيعي على سطح الكرة الأرضية (الترهوني، 2013).

إن مفهوم التلوث البيئي في اللغة يعني تلوث مادي وتلوث معنوي ويمكن القول أن التلوث بشقيه (المادي والمعنوي) هو اختلاط أي شيء غريب عن مكونات المادة بالمادة الملوثة وهذا يعني فساد الشيء أو تغير خواصه (القمحاوي، 1998). وهناك عدة تعاريفات للتلوث البيئي منها أن التلوث هو وجود المادة الملوثة في البيئة في (الهواء – الماء – التربة) والتي قد تكون سامة أو ضارة وتسبب الأذى للكائنات الحية في البيئة (duruibe, et al., 2007)، وتعتبر التربة ملوثة باحتوائها على مادة أو مواد بكميات أو تركيزات قد تسبب خطراً على صحة الإنسان أو الحيوان أو على النبات، أو المنشآت الهندسية أو المياه السطحية أو الجوفية، تلوث الماء هو كل تغير في الصفات الطبيعية أو الكيميائية أو البيولوجية للماء يجعله مصدراً حقيقةً أو محتملاً للمضایقة أو للأضرار بالاستعمالات المشروعة للمياه وذلك عن طرق إضافة مواد غذائية تسبب تعكير الماء أو تكسبه رائحة أو لوناً أو طعمًا (إبراهيم، 2007).

إن التلوث البيئي يعتبر أحد أكبر مشاكل العصر الحديث. حيث يشكل إلقاء المخلفات المتنوعة سواء في البر أو البحر أو في غير الأماكن المخصصة لها وبدون ضوابط صحية ومعايير عالمية وهي مصاعب لكثير من الدول، وقد أخذت ظاهرة التلوث البيئي قسطاً كبيراً من اهتمام حكومات دول العالم منذ النصف الثاني من القرن الماضي. حيث أن تلوث الماء وخصوصاً تلوثه بالنفط والمعادن الثقيلة يخلف أضراراً بالغة وأخطرها جسيمة تؤدي إلى إخراج هذا المورد الهام من دائرة الاستخدام الآمن، إضافة إلى الإضرار بالكائنات الحية والإخلال بالتوازن البيئي، ومع

ظهور الاكتشافات النفطية الواسعة وقيام الصناعات المعقدة ببروز مشكلة التلوث البيئي الناتج عن المشتقات النفطية (إبراهيم، 2007).

تعتبر مشكلة تلوث البيئة من أخطر مشكلات العصر وأكثرها تعقيدا وأصعبها حل، حيث أنها مشكلة ذات أبعاد صحية واجتماعية واقتصادية، كما يؤثر التلوث البيئي تأثيرا سلبيا في جمال البيئة والمناخ والتراث الحضاري والمكونات البيئية بشكل عام، ويعتبر التقدم الصناعي من أهم أسباب التلوث، حيث تصب الصناعات في البيئة قدرا كبيرا من المواد الكيميائية السامة، وخاصة تلك الموجودة في نفاثات ومخلفات المصانع التي تلقى بدون وعي في جهات متعددة من البيئة (في الأنهر والبحار والبحيرات ... الخ) ويمثل ذلك أبلغ خطر على الصحة البشرية ومصادر عيشه المختلفة (المحيشي والأعظمي، 2002).

ولقد تميزت العقود الأخيرة بالتدور الحاد في المكونات البيئية الطبيعية نتيجة التلوث الذي طرأ عليها ويشمل التلوث بالنفط وخاصة مصانع تكرير الزيوت النفطية ومخلفات آبار النفط ومصانع المعادن والأسمدة الكيميائية والمبيدات والصرف الصحي وموقع التخلص من القمامه واستعمال أسلحة محرمة دولياً نتج عنه تلوث التربة والمياه .(إبراهيم، 2007)

٤-٤ درجات التلوث (السيد، 2000)

لتلوث درجات تبعا لخطورته التي تعتمد على نوع وكمية المسبب له وهي :

الدرجة الأولى : هي درجات تلوث محدودة تصاحبها أخطارا محدودة ويظهر تأثيرها على مظاهر الحياة البيئية وتعتبر مجرد ظاهرة لا تصل إلى حد المشكلة .

الدرجة الثانية : هي درجة تلوث تعتبر خطرا على البيئة وتؤدي إلى اختلال نظامها نتيجة لعدم قدرتها على القيام بالتنقية الذاتية لأن حد التلوث فاق قدرة النظام على استيعابه .

الدرجة الثالثة : هي درجة التلوث القاتلة والتي تصل إلى الحد المدمر للحياة .

1-5 تلوث التربة

التربة جسم طبيعي مستقل بذاته يتطور مع الزمن وهو خليط من المواد المعدنية والعضوية التي تكونت خلال عمليات بالغة التطوير لفترات زمنية طويلة (اشتيوي، وشتيوي، 2005). ويعرف تلوث التربة بأنه دخول مواد غريبة في التربة، أو زيادة في تركيز إحدى مكوناتها الطبيعي، مما يؤدي إلى تغير في التركيب الكيميائي والفيزيائي للتربة، وهذه المواد التي يطلق عليها ملوثات التربة قد تكون مبيدات أو أسمدة كيميائية أو عناصر ثقيلة أو مشتقات نفطية. وتعتبر التربة ملوثة باحتواها على مادة أو مواد بكميات أو تركيزات مسببة خطراً على صحة الإنسان أو الحيوان أو على النبات، أو المنشآت الهندسية أو المياه السطحية أو الجوفية (قادر بوه، 2002).

تعتبر التربة هي المستقبل الرئيسي للعديد من المخلفات الناتجة عن التطور البشري فعند دخول هذه المواد إلى التربة تصبح جزءاً منها وبالتالي تؤثر على جميع صور الحياة فيها، إن التربة لا تعتبر ملوثة إلا إذا وصل تركيز الملوث بها إلى الحد الذي تتأثر عنده العمليات البيولوجية (الغمري، وحماد، 2005). حيث أن مصادر تلوث التربة عديدة منها الغلاف الجوي والغلاف المائي والغلاف الحيوي بما في ذلك الإنسان وأنشطته المختلفة، وهذا يدل على أن مكونات التربة تعتمد على مكونات الهواء والماء، والعكس أيضاً صحيح، أي أن التربة تعتبر أحد المكونات الرئيسية للدورات الطبيعية لبيئة الأرض والمرتبطة فيما بينها (قادر بوه، 2008) .

تعتبر الملوثات الكيميائية هي الأخطر لحد الأن وتكون على نوعين فإما أن تكون عضوية الأصل أو غير عضوية، ومن أمثلة الملوثات غير العضوية (الحديد والمنجنيز والنحاس)، ويجب أن يكون تركيز هذه المواد عند حد معين يعتمد على نوعيته، وللملوثات الكيميائية العضوية أنواع مختلفة أهمها الفينولات ومشتقاتها والمنظفات الصناعية الأخرى تكون بعض الملوثات العضوية قابلة للتكسير البيولوجي وكذلك بعضها غير قابل للتحلل البيولوجي وهي أكثر خطورة

(الترهوني، 2013). ينتج تلوث التربة بالمعادن الثقيلة بصفة عامة من الأنشطة البشرية مثل التعدين وعمليات الصهر والزراعة وغيرها بالإضافة إلى الأنشطة الطبيعية (Navarro, et al., 2008)، وتعتبر الصناعات الكيميائية والمعدنية من أهم مصادر المعادن الثقيلة في البيئة (al., 2008)، حيث أن المعادن الثقيلة تتراكم مع الزمن في التربة والنباتات (Cortes, et al., 2003) حيث أن المعادن الثقيلة تتراكم مع الزمن في التربة والنباتات (Devkota and Schmidt, 2000)، ومن أهم مصادر التلوث أيضاً زيوت المحركات التي تزداد استعمالاتها لأغراض مختلفة وهي تحتوي على ما يقارب 30% من مضادات للاحتكاك والرغوة والصدأ ومحسنات معامل اللزوجة وخافض نقاط الانصهار، وهذه المواد تتكون بشكل رئيسي من بعض عناصر الثقيلة (الاوسي، وعليوي، 2015) وتشكل مجموعة كبيرة من المعادن والمركبات المعدنية الموجودة في البيئة مخاطر على صحة الإنسان خلال استهلاك الأطعمة المحتوية على كميات كبيرة من الملوثات (Chan, et al., 1999).

١-٥-١ قدرة التربة على الاحتفاظ بالمادة الملوثة

عند وصول مياه ملوثة بمادة كيميائية مذابة إلى التربة تظهر قدرتها على الاحتفاظ بهذه المادة إما عن طريق امتصاصها على سطح الحبيبات المكونة للتربة أو عن طريق ارتباط هذه المادة كيميائياً بأنواع مختلفة من الروابط مع مكونات التربة ودرجة حموضتها أو قلويتها، كما أن للتربة القدرة على العمل كمرشح للمواد قليلة الذوبان في الماء والاحتفاظ بها بين طبقاتها، ويعتمد ذلك على مدى مسامية التربة (السيد، 2002).

٦ تلوث الماء

هو إحداث خلل في خصائص الماء فيصبح غير صالح للاستعمال وغير قادر على احتواء الجسيمات والكائنات الدقيقة وبالتالي يبدأ هذا النظام بالاختلال حتى يصل إلى الحد الحرج الذي عنده تبدأ الآثار الضارة بالظهور وبسبب زيادة أنشطة الإنسان المختلفة قد نالت جميع أشكال البيئة المائية جزءاً من هذا التلوث بطريقة أو بأخرى ويمكن أن يحدث التلوث مباشر من

الهواء الجوي أو بإلقاء النفايات في المسطحات المائية ويمكن أن يكون التلوث غير مباشر بالارتشاح من التربة الملوثة القريبة من مصادر المياه وعموماً فإن التلوث المائي مرتبط بالنشاطات الزراعية والصناعية والتجارية (السيد، 2000).

تلوث الماء هو حدوث خلل في النظام البيئي أو الحيوي بحيث تتكون مواد كالنفايات أو الملوثات العضوية وغير العضوية بشكل أسرع من سرعة التخلص منها أو تحللها بفعل العملية الطبيعية أو حتى إعادة دورتها مما يؤدي إلى تلف الدورة البيئية وازدياد الملوثات في البيئة إلى حد يفوق القدرة الاحتمالية للكائنات الحية ومن ثم هلاك معظمها . إن تلوث الماء وخصوصاً تلوثه بالنفط والمعادن الثقيلة يخلف أضراراً بالغة وأخطرها جسيمة تؤدي إلى إخراج هذا المورد الهام من دائرة الاستخدام الآمن إضافة إلى الإضرار بالكائنات الحية والإخلال بالتوازن البيئي ومع ظهور الاكتشافات النفطية الواسعة وقيام الصناعات المعقدة برزت مشكلة التلوث في أهم عنصر من عناصر الحياة وهو الماء الذي يشغل قرابة 71% من مساحة الكره الأرضية (موسى، 2000).

من أهم مصادر تلوث الماء هو تدفق مياه المجاري والمخلفات والمياه الصناعية والبترول إلى المسطحات المائية كما أن المبيدات الكيميائية ونفايات المصانع وملوثات الهواء تصل إلى المسطحات المائية عن طريق مياه الأمطار أو الرياح عند ملامستها لسطح الماء، ولعل القاسم المشترك بين هذه الملوثات هو تأثيرها على تركيز الأكسجين في الماء ويتم ذلك عن طريق نمو الكائنات المائية . كما أن الملوثات الكيميائية السامة مثل العناصر الثقيلة والمبيدات وغيرها تصل إلى الكائنات الحية مما يؤثر على نموها وتکاثرها كذلك تؤثر على الإنسان المستهلك النهائي لهذه الكائنات، هذا بالإضافة إلى الأخطار المباشرة على الإنسان من تعرض مياه الشرب الملوثة بالكيميائيات السامة (الترهوني، 2013).

أنه عند انتشار الطبقة النفطية فوق سطح الماء يت弟兄 جزء من الكمية بسرعة ويساهم في تلوث الهواء أما الجزء الثاني فيذوب في الماء ويشكل الثلث الأخير طبقة لزجة فوق سطح الماء تبقى طافية لمدة طويلة من الزمن وتعيق تلك الطبقة وصول الأشعاع الشمسي إلى سطح الماء كما تشكل حاجزاً بين الماء والهواء فتعرقل تبادل المادة والطاقة بينهما وتنبع إلى حد بعيد عملية تجديد الأكسجين الضروري للكائنات الحية في الماء هذا وتسبب عمليات تحلل النفط بواسطة البكتيريا استهلاك الأكسجين الحيوي في الماء (العاشق وآخرون، 1990).

7-1 التلوث بالنفط ومشتقاته (التلوث بالهيدروكرbones النفطية)

يعرف النفط (petroleum) بأنه مزيج من المواد الهيدروكرboneية والتي تتكون في باطن الأرض بصورة طبيعية (على والدبوني 1986). حيث تشكل المواد الهيدروكرboneية حوالي (98-50%) ويختلف النفط في الخواص الفيزيائية والكيميائية حسب المنشاً وكثافته النوعية التي تتراوح بين (0.82 - 0.95). إن النفط يشتمل على بعض المركبات العضوية التي تحتوي على الكبريت والأكسجين والنيتروجين كما يحتوي على بعض الأجزاء المعدنية كالفناديوم والنيكل والحديد والنحاس (ابراهيم، 2007).

النفط (الزيت الخام Crude Oil) يتكون من آلاف المركبات وبشكل رئيسي الكربون والهيدروجين وأن إنتاج العالم من النفط الخام يتجاوز الثلاثة مليار طن في السنة ومعظم هذه الكمية تصدر عن طريق البحر (Readmen, et al., 1992). ويحتوي النفط الخام على الآف المركبات المنفردة والتي تتراوح من غازات خفيفة كالميثان إلى معقدة كالإسفلت، ويسمى الزيت الخام (النفط الخام) بالبترول أو الزيت الصخري، ويكون بشكل أساسى من الهيدروكرbones وهي مزيج البرافينات والنفثينات والعطريات، بالإضافة إلى كميات من الكبريت وكميات أقل من النيتروجين والأكسجين (احمد، 1996)، ويحتوي النفط في تركيبه على بعض المركبات العطرية

والتي تعتبر مواد سامة للأحياء البحرية (Neff, 1979)، والمركبات العطرية في العموم أكثر سمية من الجزيئات الكبيرة في نفس السلسل (Harayam, *et al.*, 1999).

تتلوي التربة بالمواد الهيدروكربونية في مراكز تخزين وتوزيع واستخدام المواد البترولية نتيجة لعدة نشاطات تشمل التخلص من مخلفات تنظيف خزانات المواد البترولية، التسربات الحاصلة أثناء عملية التعبئة غير النظامية لسيارات الشحن التي تقوم بتوزيع المواد البترولية من المراكز إلى المحطات، اختلاط المياه التي تنظف ساحات التعبئة بالمواد البترولية وجريانها وتسربها إلى البيئة المحيطة. ويؤثر هذا التلوث في مناحي اختلاط المياه المستخدمة في تنظيف ساحات تعبئة المواد البترولية وتسربها للبيئة المحيطة، ويؤثر هذا التلوث في مناحي الحياة المختلفة بسبب تلوث الوسائل الثلاثة (الهواء، الماء، التربة)، الهواء: عن طريق الأبخرة الناتجة عن المواد الهيدروكربونية التي تسبب أمراضًا سرطانية والتهابات رئوية مزمنة للعاملين في المراكز ولقاطني المنشآت المجاورة، الماء حيث تتسرب المواد البترولية إلى المياه الجوفية ومنها إلى الآبار المستخدمة بوصفها مصدرًا لمياه الشرب ولري الأراضي الزراعية، والتربة: حيث يحدث التلوث بالمياه الحاملة للمواد الهيدروكربونية والتي تتسرب إلى التربة عن طريق حركة المياه الجوفية مما يؤدي إلى عدم الاستفادة من تلك الأرضي وإخراجها عن نطاق الاستثمار (ملحم، وكيل، 2004).

تعتبر مشكلة التلوث النفطي من أكبر المشاكل التي تعمل على تلوث البيئة نتيجة للاستغلال الهائل لمنتجات النفط في العديد من الصناعات ومصدر مهم للطاقة ووسائل الاحتراق الثابت المتمثلة في أفران وغلايات المصانع وغيرها ووسائل الاحتراق المتحرك المتمثلة في وسائل النقل كالمركبات الآلية وغيرها. ويعتبر التلوث النفطي سريع الانتشار في الوسط المائي وهنا تكمن مخاطره وتأثيراته الضارة سواء كان في عمليات التنقل أو التخزين وعند التخلص من المخلفات النفطية فإن ذلك يسهم في ارتفاع حجم التلوث (عوين، 2009).

ان المواد الهيدروكربونية هي مجموعة من المركبات التي نحصل عليها من تقطير البترول وت تكون من الكربون والهيدروجين فقط وهي تنقسم بدورها إلى فئتين: مركبات مشبعة، ومركبات غير مشبعة تتميز المركبات غير المشبعة بإمكانية ارتباطها بعناصر مختلفة لوجود إلكترونات حرة في ذراتها. وينتج عن تقطير البترول (مركبات خفيفة) الغاز الطبيعي والبنزين (ومركبات متوسطة) الكيروسين (ومركبات ثقيلة) زيوت التشحيم والديزل والوقود (إذ تؤثر كثافة هذه المركبات في تلوث الماء و التربة) ومن ثم في اختيار الطريقة الأنسب لمعالجتها (ملحم، وكيل، .(2004).

النفط من السوائل غير القابلة للإمتصاص بالماء بحيث يكون طبقة فوق الماء ومن ثم يستنزف الأكسجين الحيوي مما يؤدي إلى تلوث المياه، إن النفط الخام يحتوي على مركبات مسرطنة مثل بنزوبيرين الذي يوجد بنسبة عالية في النفط . (بوران، وابودية، 2000).

يعد التلوث بالمشتقات النفطية الناتجة عن التسربات من محطات غسيل السيارات، أحد مصادر التلوث المتعددة للترابة والمياه، وهي تتميز باحتواها على أنواع مختلفة من السموم الكيميائية مثل الهيدروكربونية وأهمها البارافينات ذات السلسلة المفتوحة والنافثيات، والتي إذا ما تم وصولها إلى الإنسان فقد تشكل مشاكل صحية خطيرة (الباروني وآخرون، 1997) .

إن مجرد رصد بعض المركبات العضوية ذات الأصل الصناعي مثل البنزين ومشتقاته في الهواء أو المياه ولو بتركيزات ضئيلة، يعد مؤشراً على تلوث الأوساط البيئية نتيجة لأنشطة الإنسان المختلفة، حيث يتم التعرض للبنزين ومشتقاته عن طريق الاستنشاق أو الملامسة إلا أن التعرض عن طريق شرب المياه يصبح محتملاً في المناطق القريبة من التجمعات الصناعية والمصافي ومجمعات البتروكيماويات، إن التعرض لبعض الملوثات عن طريق الاستنشاق أو تناولها أو ملامستها للجسم المصنفة كمواد مسرطنة للجهاز التنفسى والهضمى وهذه الملوثات

هي مجموعة الهيدروكربونات الاروماتية متعددة الحلقات polycyclic aromatic hydrocarbons (المنهراوي و حافظ 1997).

ويصاحب التلوث النفطي التلوث بالمعادن وخصوصاً المعادن الثقيلة حيث أن أي تسرب للمشتقات النفطية الصناعية ينبع عنه تلوث للترابة والمياه بالمعادن وقد أجريت دراسة على العناصر الثقيلة في التربة بيوغسلافيا بعد التسرب النفطي خلال الحرب اليوغسلافية وجد زيادة العناصر الثقيلة في التربة (Skrbic, et al., 2002).

1-8 التلوث بالمعادن الثقيلة

تشكل المعادن الثقيلة مصدراً أساسياً من مصادر التلوث، وتمثل المعادن مجموعة كبيرة من العناصر الكيميائية ويوجد حوالي 56 عنصراً يمكن أن يطلق عليها معادن (الغضبان وماجد، 2000). ويمكن تعريف مصطلح المعادن الثقيلة على أنه: (مصطلح عام يطبق على مجموعة من الفلزات وأشباه الفلزات التي كثافتها خمسة أضعاف كثافة الماء أو أكثر) (Hawkes, 1997).

المعادن كالصوديوم والكالسيوم والمغنيسيوم والحديد وغيرها موجود في الطبيعة بترابكiz مختلفة وبأشكال مختلفة، ونتيجة لتعامل الإنسان مع الكثير من المعادن نتيجة التطور العلمي والصناعي الهائل الذي يشهده العالم فإن المعادن قد تصل للمياه من عدة وسائل مثل المبيدات الزراعية ومن عمليات استخراج المعادن من المناجم، ومن رمي المخلفات الصناعية في المياه (أنهار، بحيرات، بحار) أو بالقرب منها وغيرها من الوسائل التي تصل المعادن بها للمياه بالإضافة لوصولها للمياه بصورة طبيعية وبشكل عام يمكن أن تتوارد في المياه جميع العناصر الداخلة في تكوين القشرة الأرضية (العصاوي، 1998).

توجد التركيزات القليلة للمعادن الثقيلة من المكونات الطبيعية للبيئات المائية، لكن مستوياتها قد ارتفعت نتيجة الصناعة والزراعة والنشاطات المعدنية (Yilmaz, 2005)، وتراكم المعادن

الثقيلة في التربة بمستويات ضارة كنتيجة لعدم معالجة مياه الفضلات لفترة طويلة (Sanayei, et al., 2009)، وأي تغير في التركيزات السامة للمعادن الثقيلة المترسبة على رواسب التربة سوف يؤثر على الأنظمة الداعمة للحياة المائية الطبيعية (Lokeshwari and Chandrappa, 2006).

يعتبر التلوث بالمعادن التي لها وزن ذري أكبر من 100 من أخطر أنواع التلوث، ذلك لكونها من العناصر الانتقالية (Transition elements) التي لها القدرة على تكوين مركبات معقدة ثابتة مع الكثير من المركبات العضوية وغير العضوية التي توجد بأجسام الكائنات الحية، مما يؤدي وبالتالي إلى تراكمها داخل هذه النظم البيئية (قادر بوه، 2002).

توجد المعادن في الماء في صورة أملاح أو في صورة ذائبة وهناك العديد من أملاح المعادن غير قابلة للذوبان في الماء وهذا يساعد على بقاء تراكيز هذه المعادن بنسب منخفضة في حالة كون pH للماء حوالي (8) وبقلوية اعتيادية، وقد يصاحب انخفاض pH للماء الناتج عن تصريف مخلفات التعدين الحامضية والمخلفات الصناعية ارتفاع في تركيز المعادن النادرة، وكثير من المعادن لها آثار ضارة على سلامة الأحياء المائية إذا زادت تراكيزها عن الحد المسموح به (العصاوي، 1998). إن المعادن الثقيلة لا تتعرض للانحلال أو التلف (Bat, et al., 1988)، وتدخل إلى الإنسان من خلال ثلاثة مصادر أساسية: هي الهواء ومياه الشرب والغذاء (Miroslav and Vladimir, 1999) وعندما تدخل هذه العناصر إلى أجسامنا تتركز في العظام والكبد والكلى، ولحسن الحظ أن لأجسامنا القدرة على التخلص من هذه السموم طالما كان تركيزها متدنياً (عابد وسافريتي، 2004). بعض العناصر الثقيلة مثل الكوبالت، النحاس، الحديد، المنجنيز، والزنك تحتاجها بتركيزات قليلة وهي أساسية للنمو الطبيعي، إلا أن العناصر الأخرى مثل الرصاص والكلاديوم غير أساسية أي ليس لها أهمية حيوية وتوصف بالسامة . (Canli and Furness, 1993)

تعد العناصر الثقيلة من المكونات الكيميائية الأساسية للمخلفات النفطية المؤثرة في انخفاض خصوبة التربة من خلال حدوث ظاهرة الكلورة التي تقوم بدور سلبي إما بانخفاض الخصائص التبادلية للترابة أو في جاهزية العناصر الثقيلة، وبالتالي لا تدعم لمتطلبات النمو الكافي للمحاصيل والتنمية البيئية للكائنات الحية في التربة وعلى سطحها وكذلك يجعلها بيئة غير ملائمة للاستعمال الزراعي والصناعي والسياحي (الوطيفي وأخرون، 2015).

إن التأثيرات الضارة للمعادن الثقيلة تعود إلى التأثيرات السامة لها عندما يستهلكها الجسم أعلى من الحد المسموح به حيويا (Duruibe, *et al.*, 2003)، كما أن المعادن الأساسية أيضاً تنتج تأثيرات سامة عند تناولها بكميات عالية (Tuzen, 2003)، وعند تواجد المعادن الثقيلة في نظام الجسم فإن تأثيراتها السامة تكون تراكمية وتسبب تسمم بطيء للنظام بعد مرور فترة من الزمن ويخرج عن ذلك مشاكل صحية تتدرج من السرطان وأمراض القلب (Ukpebor, *et al.*, 2005).

وجود العناصر الثقيلة في الحالة المعدنية لا يجعلها سامة، إلا أنها تكون سامة في حالتها المتآينة، وذلك لقدرة أيوناتها على الارتباط بذرة الكبريت التي توجد في مجموعة السلفهيدرييل (-SH)، والتي تعتبر من المراكز النشطة في الإنزيمات التي تحكم في سرعة التفاعلات الأيضية الهامة في الجسم، مما يخرج هذه الإنزيمات عن دورها الطبيعي الذي تؤديه في عمليات الميتابوليزم، أي تعطيل عملها (عباس، 2004).

1-8-1 قدرة حركة المعادن الثقيلة في التربة

تعتمد حركة المعادن في التربة على محتوى التربة من العناصر الذي ينعكس على درجة التوجيه للعناصر، وهي تعتمد أيضاً على تركيب مادة الأصل التي نشأت منها هذه التربة ومعرفة التركيز الكلي للعناصر في التربة (الترهوني، 2013)، معظم المعادن الثقيلة تصبح أكثر

ذائبة في الماء وتحت ظروف حمضية وبإمكانها أن تتحرك إلى أسفل التربة مع الماء (قادر بوه ، 2008).

2-8-1 المعادن الثقيلة

1-2-8-1 عنصر الحديد Fe

الحديد العنصر الأول في المجموعة (B VIII) في الجدول الدوري، رقمه الذري 26 (Heslop and Jones, 1976) ، وزنه الذري (55.847) وتكافؤاته الشائعة 2، 3 (Eaton, et al., 2005). الحديد هو واحداً من القشرة الأرضية (6.22%) ويمثل (1، 4، 6) وأحياناً (1، 4، 6) . الحديد هو أحد العناصر الهامة في التربة ويقدر تركيزه في التربة 26 جم/كيلوجرام وهو كثير الانتشار في الصخور ويتواجد في التربة بالعديد من الصور غير المتبلورة تغلف حبيبات التربة كما يتواجد في صورة معقدات عضوية (نسيم، 2003). الحديد من ضمن مكونات التربة الرئيسية ولكن وجوده كملوث له عدة مصادر منها المناجم والتعدين والأسمدة والصرف الصحي والصناعي (غنيم، 2008) .

يعتبر الحديد عنصر أساسى للحيوان ويدخل أغلبه في تشكيل الهيموجلوبين، ومهم للنباتات خصوصاً في تشكيل الكلوروفيل والكربوهيدرات (Welz and Sperling, 1999) . هو من أهم العناصر الغذائية للإنسان حيث تقدر منظمة الصحة العالمية الحد الأدنى للاحتجاج اليومي منه (7 - 14) ملي جرام حسب السن والجنس ويعتبر مهم لإنتاج الطاقة و لصحة الإنسان نتيجة لدوره الهام في عملية التنفس كما يدخل في العديد من العمليات الحيوية ويوجد مخزن في الكبد والطحال وبعض البروتينات فنقصه يسبب حدوث الأنيميا ولكن كغيره من العناصر لابد أن يكون وجوده بكمية محددة فزيادته تؤدي إلى ما يعرف بالصباغ الدموي الناتج من تراكمه في الأنسجة (اشتنيوي، و اشتنيوي، 2006) .

1-8-2-2 عنصر الخارصين (الزنك) Zn

الخارصين العنصر الأول في المجموعة (IIB) في الجدول الدوري، رقمه الزي (30) وزنه الزي (65.38) وتكافؤه ثانوي (Eaton, et al .., 2005)، ويمثل حوالي 0.012% من القشرة الأرضية (Welz and Sperling, 1999). الخارصين فلز أبيض مائل للزرقة، ويعتبر خامات الخارصين كثيرة الانتشار في الطبيعة، ومنها الكالامين الزنسايت وهي أكسيد العنصر والفرانكلانيت وهي أكسيد الخارصين والحديد، والغانيت وتنتألف من أكسيد الخارصين والألمونيوم، والويلاميت وهي سليكات الخارصين والسفالارايت (قادر بوه، 2008).

ولوجود الخارصين في الأتربة القاعدية فإن امتصاصه على المعادن الطين السليكاتيه والأكسيد وكذلك تكوين معقدات مع الهيومس يؤدي إلى خفض ذائبية الخارصين بشدة، ولذلك فإن حركة الخارصين في الأتربة المتعادلة تكون منخفضة وتزيد تحت الظروف شديدة القاعدية نتيجة تكون أنيونات هيدروكسى الخارصين التي تزيد من ذائبية العنصر، أما في الأتربة الملوثة والتي تحتوي على مستويات عالية من الخارصين على صورة أكسيد و هيدروكسيدات و هيدروكسى كربونات فقد تخفض من ذائبية الخارصين عند درجة حموضة أقل، أو تساوي 6 تحت الظروف الهوائية والحمضية يكون Zn^{+2} عالي الذائبية والحركة، غالباً ما يوجد نقص الخارصين في الأتربة القاعدية والجيرية نتيجة انخفاض ذائبية الخارصين، ويكون مدى تركيز الخارصين في التربة من 125-17 ppm (الخطيب، 1998).

يعتبر الخارصين أساسياً للنمو والمناعة و عمل الأعصاب، حيث يشارك في عدد كبير من العمليات الحيوية في الجسم، من خلال بناء و عمل نحو 200 من الإنزيمات و انقسام الخلايا و بناء و هدم الأحماض النووية (DNA, RNA)، ومن أعراض التسمم بالخارصين الغثيان، التقيؤ، فقر الدم الحاد، وقد يصاحب أو يعقب ذلك جفاف، اضطراب في الجسم، دوار و عدم اتساق حركة العضلات، وارتفاعه يسبب ارتفاع ضغط الدم (العمر، 2000).

إن نقص وزيادة الخارصين في الجسم يسبب أمراضاً واضطرابات صحية فهو يدخل في تركيب بعض إنزيمات الجسم ويعتبر ضروري للتنفس الجروح، وسميته مرتبطة بالفترة الزمنية التي يتعرض لها الإنسان فزيادته تسبب التهاب الجهاز الهضمي والتنفسى وارتفاع ضغط الدم ونقصه يؤدي إلى نقص في معدل النمو وفقدان الشهية والأنيميا (الغمري، وحماد، 2005). يستخدم الزنك بكميات كبيرة في صناعة السبائك مثل البراس (وهي سبيكة تحتوي على 60% نحاس - 40% خارصين) وفي الجلفنة، ويستخدم اكسيد الزنك (ZnO) كصبغة بيضاء في الطلاء، كما يستخدم الخارصين أيضاً في البطاريات الجافة (خلية لاكلاش) (صابر وأخرون، 1996)، كما يستخدم في المبيدات وأسمدة المخلفات الصناعية (قادر بوه، 2008).

- 3-2-8-1 عنصر النحاس Cu :-

النحاس العنصر الأول في المجموعة (IB) في الجدول الدوري، رقمه الذري (29)، وزنه الذري (63.54) وتكلافاته: (1 ، 2) (Eaton, et al., 2005). هو من العناصر الضرورية للإنسان والحيوان والنبات بتراكيز محددة وهو يوجد بشكل طبيعي في جسم الإنسان وعلى الخصوص في الكبد والدماغ والكلى ويعتبر مهم كعامل مساعد في نشاط بعض الإنزيمات ويعمل كمنشط لامتصاص الحديد والكمية اللازمة منه بتقدير منظمة الصحة العالمية (30 ، 40) ميكروجرام / كيلوجرام من وزن الإنسان البالغ والأطفال على التوالي ولكن التعرض لجرعات عالية منه تكون مضرة وتسبب العديد من المشاكل الصحية فزيادته تؤدي إلى تحلل في كريات الدم الحمراء وتهيج الأنف والعينين كما أن زيادة مستواه في الدم تؤدي إلى تغيرات في نسيج الكبد والمخ أما نقصه فيؤدي إلى سوء الامتصاص وفقر الدم (غnim، 2008).

مدى تركيز النحاس في التربة (13 – 14) جزء من مليون، وهو يتواجد على صورة أيون ثانوي Cu^{+2} ويمكن أن يختزل تحت الظروف اللاهوائية إلى نحاسوز Cu^+ أو إلى نحاس Cu وعموماً يميل النحاس في التربة إلى الاتحاد مع الكبريتيدات ليكون مركبات غير ذاتية مثل (CuS) وفي

الترابة القاعدية يمكن أن يتربّس على صورة المركب (Cu(OH)_2)، ووجود المواد العضوية يؤدي إلى تكون معقدات عضوية معه (نسيم، 2003). النحاس عنصر شائع الوجود في الطبيعة وتستخرج منه كميات كبيرة تستخدم في العديد من الصناعات المعدنية والكيميائية (العمر، 2000)، ويستخدم النحاس في الصناعات الكهربائية نظراً لوصيلته العالي وكذلك لصناعة أنابيب المياه نظراً لخموله، وفي صناعة السباائك حيث تتواجد أكثر من ألف سبيكة للنحاس، وتستخدم العديد من مركبات النحاس في صناعة مبيدات الفطريات الزراعية (صابر وأخرون، 1996).

4-2-8-1 عنصر الكادميوم Cd

الكادميوم هو العنصر الثاني في المجموعة (IIB) في الجدول الدوري ، رقمه الذري (48)، وزنه الذري (112.41) وتكافؤه ثنائي (Eaton, et al., 2005)، ويمثل حوالي $5 \times 10^{-5}\%$ من قشرة الأرض لذا يعتبر من العناصر النادرة (Welz and Sperling, 1999).

يوجد الكادميوم جيوكيميائياً مع الخارصين في المعادن الكبريتية للصخور، ونتيجة للتجوية الكيميائية يتحرر الكادميوم كأيون ذائب ومحرك، وهذا الكاتيون هو أكثر ذائبية مع الخارصين في المحاليل الحمضية المؤكسدة ، وعندما يكون الرقم الهيدروجيني أعلى من 7 فإن الكادميوم يمكن أن يتربّس على صورة كربونات الكادميوم في التربة (قادر بوه، 2008). يبلغ الإنتاج السنوي للكادميوم 7 مليون كيلوجرام (العمر، 2005)، إن زيادة الكادميوم في التربة عن ppm⁵ يعد دليلاً على تلوث التربة بالكادميوم، مدى تركيز الكادميوم في التربة يتراوح ما بين ppm 1.1 - 0.06 (الخطيب، 1998). يدخل الكادميوم في العديد من الصناعات الضرورية مثل صناعات الطلاء الكهربائي والمواد البلاستيكية والأصباغ والسبائك المقاومة للصدأ وفي بطاريات النikel – الكادميوم (السعدي 2006)، كما يصدر من احتكاك إطارات السيارات بإسفلت

الطرق (عباس، 2004). ويدخل في صناعة البوابات واللحام (عليان وأخرون، 1994)، كم يستخدم كملاغم لحشو الأسنان وفي صناعة أصباغ الملابس (مساعدة، 1997).

الكادميوم عنصر سام جداً للإنسان والحيوان، ولا يوجد حتى الان برهان قوي يبين أهمية الكادميوم في العمليات الكيميائية الحيوية، ويعد أخطر الملوثات لتشابهه مع الزئبق في أنه يمتلك خواصاً تراكمية في أجسام الكائنات الحية ويمكن أن يحل الكادميوم محل الخارصين في الإنزيمات المحتوية عليه (عامر، 2003)، ويؤدي إلى تحطيم الكرات الحمراء وارتفاع ضغط الدم عند الإنسان (الغمري، حماد، 2005)، ويتراكم في جسم الإنسان في الكبد والكلويتين، ويسبب فشل الكلى (عباس، 2004). الكادميوم ليس له دور حيوي في الكائنات الحية بل بالعكس من ذلك فله سمية عالية وخطيرة وتظهر أعراضه بعد عدة سنين من تراكمه في الجسم ومن أهم أعراضه اضطراب وظائف الكلى ولین العظم (غنيم 2008)، ويعلم على تحطيم كريات الدم الحمراء ويرتبط الكادميوم بأمراض القلب والأوعية الدموية ويعتبر من المسببات للسرطان، وقد حددت وكالة البيئة الأمريكية الجرعة المسموحة بها منه كحد أقصى في الغذاء واحد ميكروجرام / كيلو جرام من جسم الإنسان يومياً (قادر بوه، 2008).

Pb 5-2-8-1

الرصاص هو العنصر الخامس في مجموعة (IV A) في الجدول الدوري، رقمه الذري (82)، وزنه الذري (207.19) وتكافؤه 4 (Eaton, et al., 2005) ، ويمثل 0.0018 % من القشرة الأرضية (Welz and Sperling, 1999). الرصاص معدن أبيض فضي اللون، يتتحول إلى لون رمادي بمجرد ملامسته الهواء، وهو لين و مقاوم للتآكل، ويوجد الرصاص في التربة، حيث يصبح أقل ذائبية عند الرقم الهيدروجيني المرتفع، فامتصاص الرصاص على سطوح الأكسيد ومعادن الطين وفي الأتربة الفلورية يزيد من ذائبية الرصاص،

وذلك لزيادة تكوين معقدات عضوية ذائبة مع الرصاص بزيادة الرقم الهيدروجيني التربة (قدربوه، 2008).

ويعتبر الرصاص أقل العناصر الثقيلة حرارة في الأتربة تحت الظروف المختزلة وغير المختزلة وغير الحمضية، كما يوجد في الطبيعة على شكل خامات معدنية وهي كبرتيد الرصاص، وعلى شكل خامات وكرbones وكرمات وكربونات الرصاص، وتعتبر هذه الخامات من المصادر الطبيعية الملوثة للبيئة بالرصاص، وتركيز الرصاص في التربة هو 84-10 ppm (الخطيب، 1998). يدخل الرصاص في كثير من الصناعات مثل صناعة أحarf الطباعة، والدهانات، أسلاك الكهرباء المعزولة بالرصاص، الأواني الفخارية، مطاط الألعاب، طفقات الأسلحة النارية، وفي تصنيع البطاريات، وفي السبائك التي تستخدم الرصاص المنصهر، كذلك يدخل الرصاص في صناعة الورنيش والمبيدات الحشرية، وبعض أنواع الطلاء مثل كرمات الرصاص أو أكسيد الرصاص الأحمر المعروف باسم السلفون (PbO_4) (إسلام 2001).

تعتمد سميته على كمية ومرة التعرض له وكذلك على الصورة الكيميائية التي يوجد عليها وتحتختلف التقديرات لكمية الرصاص في الدم اللازمة لظهور أعراض التسمم فللشخص البالغ تقدر ب(60-100) ميكروجرام/سم³ في الدم (غريم، 2008)، وله أكثر الأثر على الأطفال حيث يحل محل الكالسيوم ويثبط عدداً من التفاعلات الحيوية مما يسبب الأنيميا وإتلاف الجهاز العصبي والكليتين (السيد، 200)، وحددت منظمة الصحة العالمية الجرعة المسموح بها منه على أن لا تزيد عن 3.5 ميكروجرام لكل كيلوجرام من وزن الإنسان يومياً (WHO، 1987).

1-9 الدراسات السابقة

1-9-1 التلوث بالعناصر الثقيلة

توجد العديد من الدراسات السابقة في هذا الميدان في مختلف أنحاء العالم لدراسة مدى حدة التلوث وإيجاد حلول لهذه المشكلة إن وجدت وإعداد التوصيات والنشرات العلمية وإجراء حملات التوعية التي تبرز مخاطر التلوث وفي ما يلي نعرض بعض هذه الدراسات:

في دراسة قام بها (Emmanuel, et al .. 2016) لتقدير تلوث التربة بالهيدروكربونات العطرية أحادية الحلقة والمعادن الثقيلة في مناطق السكانية القريبة من محطات تعبئة الوقود متروبولس نيجيريا، تم جمع عينات التربة من خمس مناطق مختلفة لمسافة مختلفة عن المحطة الوقود السيارات 5، 10، 20 متر وبأعماق مختلفة 0-15 سم و 15-30 سم، وكانت نتائج الرصاص تتراوح بين 0.063 mg/kg - 0.142 على بعد 5 متر من المحطة وفي التربة السطحية، وبينما على بعد 10 متر تتراوح 0.07 mg/kg - 0.138 في التربة السطحية، أما نتائج تركيز الرصاص في عمق 15-30 سم تتراوح 0.144 - 0.149 mg/kg في التربة السطحية، أما نتائج تركيز الرصاص في عمق 30-45 سم تتراوح 0.063 - 0.144 mg/kg على بعد 5 متر، وعلى بعد 10 متر تتراوح بين 0.071 - 0.143، وأما على بعد 20 متر تراوحت نتائج تركيز الرصاص بين 0.116 - 0.153.

بينت دراسة قام بها (الوصفي وأخرون، 2015)، لتقدير بعض العناصر الثقيلة في تربة ملوثة بالمخلفات النفطية، إذ تراوح تركيز الرصاص بين 200.89 mg/kg - 285.78 . وقد تراوح تركيزnickel بين 5.15 mg/kg - 88.56 . والcadmium بتركيز تراوح بين 19.30 mg/kg . وفي دراسة قام بها (Khan and Kathi, 2014) لتقدير التلوث بالهيدروكربونات النفطية الكلية والمعادن الثقيلة في التربة السطحية بجانب الطريق في بودوشري الهند. حيث أشارت النتائج إلى وجود تلوث نتيجة إلى التأثيرات المباشرة للأنظمة البشرية، وكانت تركيزات

العناصر الثقيلة تتراوح من النحاس 143.07 - 319.28، الرصاص 68.72 - 396.41، الخارصين 162.42 - 284.91، المنجنيز 212.72 - 401.33، كروم 12 - 41.15، والكادميوم 0.73 - 1.06.

أجريت دراسة لتقدير مستوى التلوث بالمعادن الثقيلة للتربة حول محطات غسيل وتغيير الزيوت في ميتروبولس غانا (Emmanuel, 2014). وفيها تم إجراء تحليل للعينات باستخدام مطياف الانبعاث الذري، تراوحت تركيز المعادن كروم 2.37 - 15.00، الزئبق 0.01 - 0.03، النحاس 3.2 - 22.68، الكادميوم 0.12 - 6.63 و الرصاص 4.93 - 74.20 . mg/kg وكشفت الدراسة عن تلوث التربة بالمعادن الناتجة من محطات غسيل وتغيير الزيوت. دراسة قدمت في غانا (Abagale, et al., 2013) لتقدير تركيز المعادن الثقيلة في مياه الصرف الصحي من مصارف غسيل السيارات، تم تحليل عينات مياه الصرف الصحي من ثلاثة مصارف غسيل سيارات مختلفة. وكانت نتائج تركيز النحاس 0.06 mg/l وتركيز الحديد 0.06 mg/l وتركيز الزنك 0.18 mg/l وتركيز كادميوم أقل من 4.97 mg/l وتركيز الرصاص 0.28 mg/l وتركيز الكادميوم (<0.002 mg/l) حساسية الجهاز (

قام (yasin, et al., 2012) بدراسة التلوث البيئي لمحطات غسيل السيارات، وتمت دراسة المواد الصلبة العالقة ، حيث بلغ متوسط قيمة المواد الصلبة العالقة في العينات 308.5 mg/l . كما تمت تحديد محتوى الحديد وكانت مرتفعة نسبياً بمتوسط 414 mg/l، بينما يجب أن تكون 150 mg/l وفقاً لنماذج الغاز الطبيعي المسال. وفي دراسة قام بها (Adewuyi and Olowu, 2012) لتقدير مستوى تلوث المياه الجوفية والسطحية الملوثة بالهيدروكربونات البترولية الكلية و العناصر الثقيلة، و تراوحت نسبة تركيز المعادن الثقيلة في كل من عينات المياه السطحية والجوفية 0.162 mg/l - 0.279، 0.195 - 0.315 على التوالي. وخلصت نتائج النحاس 10.307 - 8.744 mg/l. و تراوحت محتوى تركيز النيكل 0.103 - 0.133 mg/l.

ترواح تركيز الرصاص 0.279 mg/l – 0.195 mg/l – 0.162 mg/l . الكادميوم 0.315 mg/l – 0.279 mg/l . والكروم 0.052 mg/l – 0.059 mg/l . للمياه السطحية، بينما تراوحت التراكيز في المياه الجوفية للنحاس 4.820 mg/l – 2.256 mg/l ، النيكل 0.015 mg/l – 0.016 mg/l ، الكادميوم 0.156 mg/l – 0.064 mg/l ، الرصاص 0.315 mg/l – 0.045 mg/l . وأكّدت الدراسة أن تراكيز العناصر الثقيلة مرتفعة عن الحد الموصى به من منظمة الصحة العالمية، والاتحاد الأوروبي لذلك يوصي تركيب محطات معالجة لأولية لجميع محطات ومستودعات الشركات النفطية.

قام (Masoudi, et al., 2012) بدراسة توزيع العناصر الثقيلة في جوانب طريق غشمهاز بإيران، تم جمع عينات على مسافات مختلفة على جانب الطريق حيث بينت النتائج أن تركيز النحاس 1.91 mg/kg عند مسافة 4m بينما انخفض تركيز النحاس 1.48 mg/kg عند مسافة 16m تم زادت 2.02 mg/kg عند مسافة 32m أما في 100m انخفض تركيز النحاس 1.25 mg/kg . وكان تركيز الرصاص 2.95 mg/kg عند مسافة 4m وعند مسافة 64m انخفض تركيز الرصاص 1.76 mg/kg . وتركيز الزنك 3.66 mg/kg ، 2.23 mg/kg ، 1.37 mg/kg ، 1.31 mg/kg ، 0.81 mg/kg على مسافة 4m – 8m – 16m – 32m – 64m – 100m على التوالي . وفي دراسة قام بها (Imeh and Ekpo, 2012) لتحديد مستوى الهيدروكربونات النفطية في التربة بعد الانسكاب النفطي، تم اخذ 60 عينة من مناطق مختلفة وأعماق مختلفة 0-15 سم، 15 – 30 سم – 60 سم، وقد تبين أن تركيز الهيدروكربونات النفطية تراوح بين 9 mg/kg – 289 mg/kg في التربة السطحية، وبين 163 mg/kg – 318 mg/kg في التربة من 15-30 سم ، وتراب تراوح بين 30 mg/kg – 60 mg/kg .

قدرت دراسة في نيجيريا (Warmate, et al., 2011)، تركيز المعادن الثقيلة في التربة والمياه، وتم تحليل عينات الدراسة باستخدام جهاز الامتصاص الذري، وبينت النتائج أنه تم التخلص من حوالي 80% من زيوت المحركات المستخدمة مباشرة في البيئة، وتمت إعادة تدوير 20% من خلال استخدامها في الأعمال المدنية. تراوحت تركيزات المعادن الثقيلة من mcg/g إلى 493 mcg/g ميكروغرام / جم في التربة، و 0.019 mg/l إلى 0.147 mg/l في الماء. وترأوحت متوسط تراكيز النحاس 39.30 mg/kg – 58.60 mg/kg في التربة، بينما تراكيز النحاس في الماء 0.032 mg/l – 0.036 mg/l . ومتوسط تراكيزnickel في التربة تراوح بين 20.11 mg/kg – 49.81 mg/kg ، وفي العينات المائية 0.019 mg/l – 0.028 mg/l . وكان تركيز عينات الرصاص بمتوسط 108.5 mg/kg – 493.13 mg/kg في التربة، وترأوحت في العينات المائية 0.098 mg/kg – 0.147 mg/kg . وترأوحت متوسط عينات الخارصين في التربة 0.064 mg/l – 0.077 mg/l .

في دراسة قام بها (خويديم وأخرون، 2009) لدراسة توزيع بعض العناصر الثقيلة في تربة مدينة البصرة، أوضحت النتائج المتحصل عليها أن اغلب العناصر المدروسة (Pb, Ni, Cr, Cd) تزداد في مناطق غرب البصرة ذلك لقربها من المنشآت النفطية إذ تحوي على تركيزات عالية من بعض العناصر الثقيلة الناتجة من العمليات الصناعية، كما يزداد تركيز بعض العناصر الدارسة الحالية في مناطق وسط المدينة مثل منطقة الجزائر التي تعد منطقة تجارية تشهد حركة كبيرة لوسائل النقل إذ تحوي نواتج احتراق الوقود في وسائل النقل على تركيز عالٍ لبعض العناصر و خاصة عنصر الرصاص الذي يضاف إلى الوقود كمضاد للفرقعة، وهي بذلك تسبب زيادة في تركيز العناصر في الجو ثم تترسب على التربة، في حين كان تركيز العناصر المدروسة أقل في مناطق شرق مدينة البصرة كونها مناطق زراعية تمتاز بغطاء نباتي جيد. وفي دراسة ميدانية للتلوك بالعناصر الرصاص، النحاس والكادميوم في التربة في مدينة الخمس قام

به (حواس، 2006). تم استخدام جهاز الامتصاص الذري للقياس فكان مدى تركيز عنصر الرصاص في التربة 2.2 mg/kg - 69.5 ، ومدى تركيز عنصر النحاس 0.8 - 14.6 mg/kg . وفي دراسة أخرى لتعيين مستوى عناصر الكالسيوم، الرصاص، الحديد، الخارصين، الكادميوم والنحاس في التربة و المياه منطقة ترهونة (اشتيوي واشتبيوي، 2006) حيث جمعت عينات التربة على ثلاثة أعمق مختلفة وهضمها باستخدام ($\text{HNO}_3 / \text{HCl}$) واستعمال جهاز الامتصاص الذري اللهبي وجهاز الإنبعاث الذري اللهبي لقياس التراكيز ووجدا أن متوسط تراكيز الكادميوم (mg/kg) 3010.09 mg/kg ، النحاس ($6.47, 6.4, 7.99 \text{ mg/kg}$) ، الحديد ($2.97, 2.54, 1.99 \text{ mg/kg}$) ، الرصاص ($21.04, 22.61, 22.6 \text{ mg/kg}$) ، الخارصين ($2889.52, 3124.89, 14.26, 15.31, 13.78 \text{ mg/kg}$) في عينات التربة السطحية وتحت السطحية على التوالي وخلص من هذه الدراسة أن تربة منطقة الدراسة تحتوت على تراكيز عالية نسبياً من عنصري الكادميوم، والكالسيوم، وعلى تراكيز متوسطة من عنصر الرصاص وتراكيز منخفضة من بقية العناصر .

وفي دراسة لتقدير تركيز بعض العناصر الثقيلة في التربة في منطقة كيسري تركيا (Tokalioglu and Kartal, 2003) . تم استعمال جهاز الامتصاص الذري اللهبي للقياس فكان معدل تركيز عنصر النحاس 148 mg/kg ، الرصاص 71.5 mg/kg ، الكادميوم 1.62 mg/kg ، الحديد 12039 mg/kg ، الخارصين 150 mg/kg . بهذا أشارت النتائج إلى زيادة تراكيز كل من عناصر النحاس، الكادميوم والرصاص عن الحد المسموح به .

وفي دراسة تم فيها قياس المحتوى الكلي للعناصر الرصاص، الخارصين، الكادميوم، الكوبالت، النحاس والنikel في تربة إسبانيا قام بها (Andreu and Garcia, 1996) ، وكان معدل تركيز تلك العناصر للنيكل (19.12 mg/kg) ، النحاس (30.84 mg/kg) ، الكوبالت (5.41 mg/kg) ، الرصاص (96.21 mg/kg) ، الخارصين (51.16 mg/kg) وذلك بعد هضمها باستعمال

خلط من حمض النيتريك وحمض الهيدروكلوريك وقياسها باستخدام جهاز الامتصاص الذري وخلصت الدراسة إلى أن محتوى التربة الكلية من هذه العناصر في المدى المسموح به باستثناء الكوبالت كان تركيزه أعلى قليلاً من الحد المسموح به. وفي دراسة قام بها (Pavelcy and davies 1988)، لدراسة تلوث التربة بعنصري الرصاص والخارصين باستخدام جهاز الامتصاص الذري حيث أشارت النتائج بأن معدل تركيز عنصر الرصاص 161 mg/kg ، عنصر الخارصين كان بمعدل 267 mg/kg ، في دراسة لمعرفة تركيز عنصر الرصاص في التربة في بعض مزارع بوسطن الحضرية (Spittler and Feder, 1979)، توصلت هذه الدراسة إلى أن معدل تركيز عنصر الرصاص في 900 عينة بلغ 800 mg/kg .

1-9-2 التلوث بالمشتقات النفطية ومصادرها

أوضحت الدراسة التي قام بها (Baddor, *et al* ., 2014) لدراسة مياه صرف غسيل السيارات ومعالجتها بالامتياز في حلب، أن متوسط تركيز الزيوت والدهون والشحوم في المحطة ما بين $20 - 42 \text{ mg/l}$. وفي دراسة قام بها (Khan and Kathi, 2014) لتقدير التلوث بالهيدروكربونات النفطية الكلية والمعادن الثقيلة في التربة السطحية بجانب الطريق في بودوشري الهند أشارت النتائج إلى وجود تلوث نتيجة التأثيرات المباشرة للأنشطة البشرية، وكان متوسط تراكيز الهيدروكربونات الكلية 90.72 mg/kg – 121.79 mg/kg .

في دراسة أجريت في نيجيريا (Alinnor and Nwachukw 2013) تم فيها تحديد إجمالي الهيدروكربونات النفطية في عينات التربة والمياه الجوفية في خمس محطات في ولاية ريفريز . وتشير النتائج لعينات التربة بأعماق مختلفة من المحطة A إلى تلوث بالهيدروكربونات النفطية وكانت التراكيز 1320.00 mg/kg ، 1516.66 mg/kg و 1063.16 mg/kg تبين من المحطة E من عينات التربة لديها تركيزات عالية من الهيدروكربونات النفطية 1534.66 mg/kg ،

1438.00، 1651. وتشير نتائج التحليل إلى أن المياه الجوفية للعينات الملوثة من جميع المحطات التي تمت دراستها كانت ملوثة بالهيدروكربونات النفطية. أعلى تركيز mg/ 33 تم تسجيله في المحطة D من عينة المياه الجوفية بعمق 0 - 0.5 متر .

في دراسة قام بها (Khan, et al., 2013) لدراسة الخصائص الفيزيائية وكيميائية والمجموعات الفطرية من عينات التربة المأخوذة من موقع قديم ملوث بالبنزين في الهند، أظهرت النتائج تركيز الهيدروكربونات النفطية في التربة الملوثة 11500 mg/kg أما التربة غير ملوثة كان تركيز الهيدروكربونات النفطية في التربة الملوثة 142.65 mg/kg. أظهرت نتائج دراسة في باكستان (yasin, et al., 2012)، أن مياه الصرف الصحي لغسيل السيارات تحتوي على محتويات عالية جدا من الزيوت والشحوم أي متوسط الزيوت وقيمة الشحوم للعينات 1070 mg/kg .

في دراسة قام بها (Adewuyi and Olowu, 2012) لتقدير مستوى تلوث المياه الجوفية والسطحية بالهيدروكربونات البترولية الكلية و العناصر الثقيلة، وتراوحت نسبة تركيز الهيدروكربونات الكلية 20.34 mg/l الى 27.40 و 2.67 الى 13.03 . وأكدت الدراسة الى ان تراكيز الهيدروكربونات الكلية مرتفعة عن الحد الموصى به من منظمة الصحة العالمية، والاتحاد الأوروبي لذلك يوصى بتركيب محطات معالجة أولية لجميع محطات ومستودعات الشركات النفطية .

قام (Wang, et al., 2010) بدراسة تركيز الهيدروكربونات العطرية في التربة شمال بكين في الصين، تراوحت تركيزات هيدروكربونات في 16 عينة بين 31.6 mg/g - 1475 . في دراسة قام به (الشائب، 2008) لتقدير الملوثات النفطية والخواص الهيدروليکية للتربة بمنطقة الحشان وقد تفاوتت تراكيزها من موقع إلى آخر وتراوحت فيما يتعلق بعينات التربة وعينات من المياه الجوفية ما بين 3633 - 5124 ppm (على التوالي . وفي دراسة أخرى ل (الهنشيري وأخرون، 2008) تحت عنوان محاكاة حسابية لдинاميكا السوائل

والتى كانت جزء من أهدافها تمثل في دراسة تسرب المنتجات النفطية من خطوط الأنابيب، تلوث التربة بالنفط الخام ومنتجات النفط من محطات الوقود، حيث تبين وجود مواد خطرة (مسرطنة) في التربة المحيطة بموقع التسرب .

وفي دراسة تمت بالصين أجرتها (Sun, et al., 2008) على أن المياه الجوفية كانت معرضة للتلوث بفعل مجموعة من الهيدروكربونات من نوع الألكينات وهي ناتجة من تلوث بمشقات نفطية في تلك الموقع، وقد تراوحت تراكيزها ما بين $0.20 - 0.61 \text{ mg/kg}$ ، كما أشار إلى وجود تراكيز من الهيدروكربونات العطرية متعددة الحلقات وتتروح بين $0.08 - 0.31 \text{ mg/kg}$. وأشار في الدراسة أن التلوث كان بفعل تسربات نفطية ناتجة من وجود مرافق للخدمات النفطية في تلك المنطقة . في الدراسة التي قام بها الباحث (البياض، 2006) في ليبيا تحديداً في منطقة سهل جفارة حول أثر المخلفات السائلة والصلبة لمحطات غسيل وتشحيم واستبدال زيوت السيارة على المياه الجوفية، حيث أكدت هذه الدراسة وجود تلوث للمياه الجوفية بالهيدروكربونات النفطية مصدرها المخلفات السائلة لمحطات الوقود والغسيل، وقد تفاوتت كمية التلوث من موقع إلى آخر وترواحت ما بين $0.4 - 69.8 \text{ Mg/kg}$ ، بالإضافة إلى ذلك فقد توصلت الدراسة أيضاً إلى أن حدوث هذا التلوث بالتركيزات العالية من الهيدروكربونات الكلية كان ناتجاً عن طريق التسرب عبر الطبقة غير المشبعة إلى المياه الجوفية أو مباشرة عن طريق الآبار الموجودة داخل المحطات، وأن كمية التلوث زادت عن الحد المسموح به حسب المعايير القياسية لمنظمة الصحة العالمية (WHO) وهي 0.0002 ملجم/لتر . بينما الدراسة التي قام بها (مصباح، 2006) حول مدى تلوث منطقة قرقوزة التابعة لمنطقة الزاوية بليبيا، فقد أكدت نتائج الدراسة وجود تسربات من أنبوب نفط مدفون في باطن الأرض، مما أدى إلى تلوث المياه الجوفية بتراكيز من المركبات الهيدروكربونية تراوحت بين تراكيز منخفضة نسبياً

– 405 mg/kg و مرتقبة نسبياً 442.5 – 125 mg/kg – 114 – 55.8 mg/kg . 917.5

في دراسة قام بها (ناصر ، 2005) حول مستويات الهيدروكربونات النفطية في مياه ورواسب المياه الإقليمية العراقية، سجل أعلى تركيز للهيدروكربونات النفطية في المياه بحدود $1 \mu\text{g}/\text{l}$ وفي الرواسب $192.34 \mu\text{g}/\text{l}$ بالقرب من ميناء أم قصر خلال شهر (6) 2002 ، وأقل تركيز في المياه $4.92 \mu\text{g}/\text{l}$ خلال شهر (5) 2002 وفي الرواسب $16.34 \mu\text{g}/\text{l}$ خلال شهر (1) 2002 بالقرب من ميناء البصرة، تشير النتائج إلى تذبذب التركيز وارتفاعها في بعض المحطات مما يؤكد احتمال حدوث تسربات نفطية غير منتظمة في المياه البحرية من سفن التحميل والعمليات الصناعية.

قامت دراسة في منطقة Suez بالولايات المتحدة الأمريكية (Afif, 2004) ، حول التلوث بالهيدروكربونات النفطية للمياه الجوفية، والناتجة عن تسربات النفط (النافتا والكيروسين و البنزين). تشير الدراسة التي قام بها قسم الحفاظ على البيئة بولاية نيويورك امريكا (2002) بأن تركيز الملوثات النفطية في التربة العادمة يجب أن لا تتعدي 10 mg/kg كما تشير الدراسة إلى أن التربة التي تحتوي على تركيزات أقل من 50 mg/kg لا تحتاج إلى عمليات معالجة .

و في دراسة تمت في سلطنة عمان قام بها (قسم التحاليل العضوية بالمخترن المركزي بعمان، 2001) لرصد وجود تلوث بفعل الهيدروكربونات النفطية في مياه الشرب، فقد أشار التقرير إلى صحة وتأكيد وجود مستويات من التلوث بفعل تسربات ناتجة عن تناشر وتسرب مركبات الزيوت والشحوم النفطية في تلك المياه الخاصة بالشرب والتي تم جمع عيناتها من منازل المواطنين بمدينة مسقط. وقد احتوت تلك المياه على مركبات هيدروكربونية، وتراوحت تركيز تلك

المركبات الهيدروكربونية ما بين 0.14 mg/l – 0.57 وبمتوسط قدره 0.29 وتمثل الزيوت والشحوم نسبة 38% فقط من تلك المركبات الهيدروكربونية وتراوحت تركيزها ما بين 0.054 mg/l – 0.23 وقد أظهرت تلك النتائج 85% من إجمالي عينات المعنية بالدراسة.

أظهرت الدراسة في ولاية مينيسوتا (Wealth, 2001) أن هناك العديد من الملوثات ناتجة عن مراكز غسيل السيارات خاصة الزيوت المستعملة وبعض الهيدروكربونات والمعادن والمنظفات والجسيمات الصلبة. وبناء على ذلك فرضت عدة خيارات لتصريف مياه الغسيل منها إعادة تدوير المياه بعد تنقيتها وتصفيتها أو تحديد عدد السيارات التي يتم غسلها وعدم استعمال أي نوع من الصابون والمطهرات، ويسمح في هذه الحالة بطرح المياه المستعملة على سطح الأرض. وفي دراسة لوكالة حماية البيئة الأمريكية (EPA, 1999) عن المياه المستعملة في غسيل السيارات وجد أنها تحتوي على الملوثات التالية: زيوت، شحوم، معادن، فوسفات، منظفات، مطهرات، صابون، وبعض الكيماويات الأخرى الملوثة للتربة. وأن بعض الملوثات الناتجة عن غسيل السيارات دائماً ما تكون في زيادة لمستويات تركيزها وهي الرصاص، الثاليلوم، الألمنيوم، الحديد، المنجنيز، الكلوريد، النفاثلين.

وأشارت الدراسة التي قام بها كل من (Lagoy and Quirk, 1994) لتقدير المركبات الهيدروكربونية العطرية الحلقية في التربة في أماكن مختلفة من الولايات المتحدة الأمريكية، ووجد أنها تتراوح بين 1 mg/kg – 100 mg/kg في الأراضي الزراعية وبين 5.8 – 0.06 mg/kg في المدن وزاد تركيزها عن 100 mg/kg في المناطق الصناعية. كما وجد أن غبار الطرق يحتوي على تركيزات عالية من PAH تتراوح بين 8 mg/kg – 335 mg/kg وفي تقدير غبار المنازل وجد أنه يحتوي على تركيزات تتراوح بين 8 mg/kg – 580 mg/kg وهذا يعني أن التركيزات العالية في غبار المنازل ناتجة أساساً من غبار الطرق.

10-1 اهداف الدراسة

نتيجة المخاطر التي يسببها التلوث بالمواد الهيدروكربونية والعناصر الثقيلة على الإنسان والبيئة، نسعى في هذا البحث إلى دراسة انعكاس التلوث الكيميائي في رواسب محطات غسيل السيارات في مدينة مصراتة وتقديم لمحنة عن الطرق المتبعة للمعالجة إضافة إلى دراسة تقييمية لمدى التلوث الناتج عن تلك المحطات.

تهدف هذه الدراسة إلى :

1. تحديد نسبة الهيدروكربونات الكلية في رواسب محطات غسيل السيارات وخارج موقع الدراسة للمقارنة.

2. تحديد نسبة العناصر الثقيلة في رواسب محطات غسيل السيارات وخارج موقع الدراسة للمقارنة ، والعناصر هي (Fe, Zn, Cu, Cd, Pb)

3. التعرف على أثر مخلفات محطات غسيل السيارات على التربة والمياه.

4. اقتراح الحلول الالزمه للحد من تلوث المياه والتربة بمخلفات محطات غسيل السيارات ومعالجتها.

5. استخدام المعايير أو المؤشرات البيئية في تحديد الوضع البيئي.

الباب الثاني

المواد وطرق البحث

1-2 وصف المنطقة المدروسة

أجريت الدراسة على بعض محطات غسيل السيارات المنتشرة في مدينة مصراتة بصورة عشوائية .

2-2 موقع الدراسة

تم اختيار (8) محطات بطريقة عشوائية أخذت منها عينات الدراسة في مدينة مصراتة

وكان موقع الدراسة كالتالي :-

محطة شارع الهلال = As1

محطة الدائري الثالث = Bs2

محطة الدائري سكريات = Cs3

محطة شارع بنغازي = Ds 4

محطة مزدوج الرويسات الجديد = Es5

محطة شارع طرابلس = Fs6

محطة الساحلي الغيران = Gs7

محطة شارع بنغازي مع محطة توزيع وقود = Hs8

3-2 عينات الدراسة

تم جمع (16) عينة من (8) محطات غسيل السيارات بمدينة مصراتة، بواقع ثلاث متكررات لكل محطة، كما تم أخذ عينة أخرى من خارج كل محطة كشاهد لتحديد المستوى الطبيعي للمادة الملوثة في التربة، وأخذت هذه العينة بثلاث تكرارات أيضا، وبإضافة عينات الشاهد إلى عينات الدراسة أصبح مجموع عينات الدراسة (24) عينة .

4- طريقة تجميع العينات

تم جمع عينات التربة من داخل المحطة وخارجها، وتمأخذ عينات المياه من المجرى المائي المستخدم في تجميع عينات المياه الملوثة باستخدام قناني من البولي إيثيلين.

تم تجميع عينات الشاهد من خارج المحطة على بعد (10م)، تم الجمع على عمق 5 سم من طبقة التربة السطحية .

تم جمع عينات التربة بواسطة الغرف بعلقة بلاستيكية (Ahdy and khaled, 2006) بعد ذلك تم وضع العينة في أكياس من البولي إيثيلين ، وتمت كتابة المعلومات التي تشمل على مكان وتاريخ جمع العينة على الكيس وبعد ذلك أقفلت بإحكام وحفظت إلى حين الاستخدام (الحداد، . (2004

5 دراسة الخصائص الفيزيوكيميائية للعينات

1-5 تعين المحتوى المائي

تم وضع 5 جم من التربة من كل عينة في جفنات جاف ونظيفة ثم جفت الجفනات المحتوية على التربة في فرن التجفيف (صنع في كوريا Wise Ven Model Won-W155) عند درجة حرارة 105 م° لمدة 48 ساعة، بعد ذلك تم وزن الجفنة ومن ثم حسب المحتوى المائي لكل عينة باستخدام العلاقة التالية:

وزن العينة الرطب - وزن العينة الجاف

$$\text{المحتوى المائي (\%)} = \frac{100 \times (\text{وزن العينة الرطب} - \text{وزن العينة الجاف})}{\text{وزن العينة الرطب}}$$

2-5-2 قياس الرقم الهيدروجيني (pH)

تمت معايرة جهاز pH المستخدم بواسطة محلول $pH = 4$ ومحلول منظم آخر 9

$pH =$ حسب الخطوات الموصوفة لضبط الجهاز ومعاييرته . وعين الأس الهيدروجيني (pH)

لعينات التربة في الدراسة وفقاً للطريقة التي ذكرها (إسلام وعمارة، 2006) وفقاً للخطوات

التالية :-

- تم وزن 100 جرام من التربة الجافة ونقلت كمياً إلى دورق مخروطي سعة 250 مل ،
- أضيفت إلى الدورق 100 مل من الماء الخالي من الأيونات، ثم رُجت العينة لمدة 5 دقائق بواسطة جهاز الرج، وبعد انتهاء عملية رج العينة تمأخذ الدورق الحاوي على العينة من جهاز الرج وقلب المحلول والتربة داخل الدورق بواسطة ساق زجاجية نظيفة .
- غمس الإلكترود (المغسول مسبقاً بالماء الخالي من الأيونات والمجفف بواسطة منديل ورقي) داخل الدورق الحاوي على معلق العينة وتم تدوين القراءة الثابتة لل pH والتي تم الحصول عليها في خلال دقة تقريباً .
- تم قياس الرقم الهيدروجيني pH بواسطة جهاز نوع :

Lovibond sensodirect pH110)

(

2-5-3 تعين التوصيلية الكهربائية

قياس التوصيل الكهربائي تم بنفس طريقة قياس pH و باستخدام جهاز (EC – meter)

(للتعبير عن كمية الأملاح الكلية الذائبة .)

تم قياس الموصليّة الكهربائيّة EC بواسطة جهاز نوع : Jenway 470 Cond Meter

2-5-4 تعين محتوى المواد العضوية في التربة

تم وزن 5 جم من كل عينة من عينات التربة المأخوذة ثم وضعت في جفනات وجفت في فرن الحرق نوع (Wise Therm FH-12) عند درجة حرارة 350°C لمدة 5 ساعات بعد ذلك تم وزن الجفනات وتم حساب محتوى العينات من المواد العضوية كما يلي :

وزن العينة قبل الحرق - وزن العينة بعد الحرق

$$\text{المحتوى العضوي (\%)} = \frac{100 \times (\text{وزن العينة قبل الحرق} - \text{وزن العينة بعد الحرق})}{\text{وزن العينة قبل الحرق}}$$

2-6 تعين محتوى الهيدروكربونات النفطية (TPH) في عينات التربة

تم تعين الهيدروكربونات الكلية (TPH) في Total petroleum hydrocarbon (TPH) العينات عن طريق الاستخلاص باستعمال مذيب (Poly chloro tri fluoro ethylene) والقياس باستخدام جهاز (TOG/TPH Analyzer model hart-t2 and ch) امريكي الصنع وفقا للطريق المعتمدة كما يلي :

- تم وزن 20 جرام من التربة، في حالة العينة رطبة ثم أضيف إليها 5 جرام من السيليكا جل.
- تم إضافة 20 مل من المذيب (Poly chloro tri fluoro ethylene) للعينة ورجم بقوة لمدة 5 دقائق .
- تم وضع القنية حتى تترسب التربة لترشيح العينة .
- تم وضع ملعقة من السيليكا جل على الورق الترشيح قبل الترشيح العينة .
- تم ترشيح العينة في مخبر مدرج .
- تم ملاء خلية الجهاز بالعينة بواسطة محقنة، ومن تم اغلاق الخلية جيدا
- ومن تم وضع الخلية في الجهاز لغرض التحليل .

7- طريقة هضم وتقدير العناصر الثقيلة للعينات

1-7-1 هضم وتقدير العناصر الثقيلة في عينات التربة

تم تعبيين تركيز العناصر الثقيلة (Pb , Cd, Fe, Cu, Zn) في عينات الدراسة باستخدام جهاز مطياف الامتصاص الذري معبّراً عنه بالمليجرام/كجم وبواسطة طريقة (الهضم الرطب) باستخدام الماء الملكي وفقاً لطريقة (Blow Book method) (الحداد ، 2004)،

حسب الخطوات التالية :

- تم وزن 1 جرام من التربة المجففة والمطحونة على ورق وزن بواسطة ميزان حساس ونقلت إلى دورق مخروطي سعة 250 مل .
- أضيفت إلى الدورق الحاوي على العينة 7.5 مل من حمض الهيدروكلوريك، و 2.5 مل من حمض النيتريك المركز مع التحريك .
- ثم أضيفت 3 قطرات من n-Dodecane لمنع تصاعد الرغوة الناتجة من الفوران كما أوصى بذلك (Corns and stockwell, 1996) ، وترك دورق التفاعل في درجة حرارة الغرفة لمدة تجاوزت 16 ساعة .
- بعد ذلك أضيفت إلى الدورق قليل من حبات منع الغليان وسخن تدريجياً لمدة ساعتين على جهاز التسخين وذلك لزيادة تركيز المحلول، ثم ترك ليبرد .
- بعد غسل ما تبقى من المحلول المركز في قاع الدورق بإضافة قليل من حمض النيتريك المركز، ثم رُشح محلول العينة بواسطة ورق ترشيح في دورق قياسي سعة (100 مل)، وغُسلت بقايا المحلول في ورقة الترشيح عدة مرات بقليل من حمض النيتريك المخفف (1+1 الدافئ) .
- ترك المحلول ليبرد. وأضيفت له 1 مل من محلول كلوريد البوتاسيوم 10% كمانع للتأين، ثم أكمل الحجم إلى العلامة القياسية (للدورق القياسي 100 مل) بمحلول حمض النيتريك

المخفف (1+1)، بعد ذلك سُد الدورق وتم رجه جيداً وبهذا أصبح محلول العينة المهمضومة جاهراً لقياس كمية المعادن الثقيلة المطلوب بعد أن تم نقله إلى قنينات من البولي بروبلين لحفظه إلى حين القياس .

- تم قياس المعادن الثقيلة في محليل العينات المهمضومة بواسطة جهاز مطياف الإمتصاص الذري من نوع (AAS) (180 – 30 Hitachi) ياباني الصنع.

2-7-2 هضم وتقدير العناصر الثقيلة في العينات المائية

تم تعيين تركيز العناصر الثقيلة (Pb , Cd, Fe, Cu, Zn) في عينات الدراسة باستخدام جهاز مطياف الإمتصاص الذري معبراً عنه بالمليجرام/لتر وبواسطة طريقة (الهضم الرطب) باستخدام الماء الملكي وفقاً لطريقة (Abagale, et al., 2013) حسب الخطوات التالية

1. تم نقل 100 مل من العينة المائية إلى كأس بواسطة مobar مدرج، تم إضافة 5 مل من حمض النيتريك المركز.
2. تم سخن تدريجياً على جهاز التسخين (Hot Plate) وترك حتى يتكتف محلول إلى 20 مل، تم ترك ليبرد.
3. تم إضافة 5 مل من حمض النيتريك المركز إلى الكأس، تم تغطية الكأس بزجاجة ساعة، تم تسخين الكأس حتى تبخر.
4. تم إضافة قطرات من حمض النيتريك المركز إلى الكأس على المسخن حتى ظهور أبخرة حمض النيتريك.

5. تم غسل جدار الكأس وزجاجة الساعة باستخدام الماء المقطر، تم ترشيح

المحلول بواسطة ورق ترشيح في دورق قياسي سعة 100 مل، وغسلت بقايا

المحلول في ورقة الترشيح عدة مرات بالماء المقطر.

6. ترك المحلول ليبرد. ثم أكمل الحجم إلى العلامات القياسية بالماء المقطر بعد ذلك

سُد الدورق وتم رجه جيداً.

7. تم قياس المعادن الثقيلة في محليل العينات المهضومة بواسطة جهاز مطياف

Atomic Absorption من نوع الامتصاص الذري

باباني الصنع Spectrometer(AAS) (180 – 30 Hitachi)

2-8 استخدام المعايير أو المؤشرات البيئية في تحديد حالة الوضع البيئي

إن استخدام المؤشرات البيئية هي فكرة مأخوذة من فكرة المؤشرات المستخدمة في

البورصات وسوق المال وتعتمد المؤشرات البيئية على عملية استخدام النتائج والبيانات الخاصة

بالنظام البيئي في نماذج رياضية تعكس الوضع البيئي الحالي للبيئة (حمودة، 2006)، من أهم

المؤشرات التي يتم استخدامها في تحاليل التربة ومقارنتها بالحدود الطبيعية والتراكيز التي تحدث

أضرار بالنظام البيئي وتشمل :

2-8-1 مؤشر التراكم الجيولوجي (Geo)

مؤشر التراكم الجيولوجي للرواسب أو التربة (Geo) هو كثف كمي للتلوث

المعدني في الرواسب أو التربة المائية ويحسب طبقاً للمعادلة التالية التي أشار إليها واستخدمها

. (Lokeshwari and Chandrappe 2006)

$$\text{Geo I} = \text{In} (\text{Cn} / 1.5\text{Bn})$$

حيث أن

Cn = تركيز المادة الملوثة في الرواسب أو التربة .

B_n = المستوى الطبيعي للمادة الملوثة .

$1.5 =$ ثابت الجيولوجي .

مؤشرات نتائج التراكم الجيولوجي (Geo) تدون حسب التالي (Muller, et al., 2010: Huu,)

(1969)

• <0 ملوث غير ملوث

• 1-0 تلوث منخفض

• 3-1 تلوث متوسط

• 5-3 تلوث معتبر

• >5 تلوث عالي جداً

2-8-2 معامل التلوث (C^i_f)

هذا المؤشر يعتمد على تركيز المادة الملوثة لدراسة والتركيز الطبيعي للمواد الملوثة، وتحسب وفق العلاقة التالية (Emmanual, et al., 2014).

$$C^i_f = (C^i_o - 1) / C^i_n$$

حيث أن

C^i_o = تركيز المواد الملوثة

C^i_n = التركيز الطبيعي للمواد الملوثة

مؤشرات نتائج معامل التلوث (C^i_f) تدون حسب التالي (Meclenan and Taylor, 1985)

○ أقل من 1 تلوث منخفض

○ 1-3 تلوث متوسط

○ 3-6 تلوث معتبر

○ >6 تلوث عالي جداً

10-3 درجة التلوث (C_{deg})

هذا المؤشر يعتمد على مجموع معامل التلوث، تحسب درجة التلوث طبقاً للمعادلة

.(Emmanual, et al., 2014) التالية

$$C_{deg} = \sum C^i f$$

حيث أن

$$C^i f = \text{معامل التلوث}$$

$$= \text{درجة التلوث} = C_{deg}$$

مؤشرات نتائج درجة التلوث (C_{deg}) تدون حسب التالي .(Emmanuel, et al., 2014)

○ أقل من 8 تلوث منخفض

○ 8-16 تلوث متوسط

○ 16-32 تلوث عالي جداً

الباب الثالث

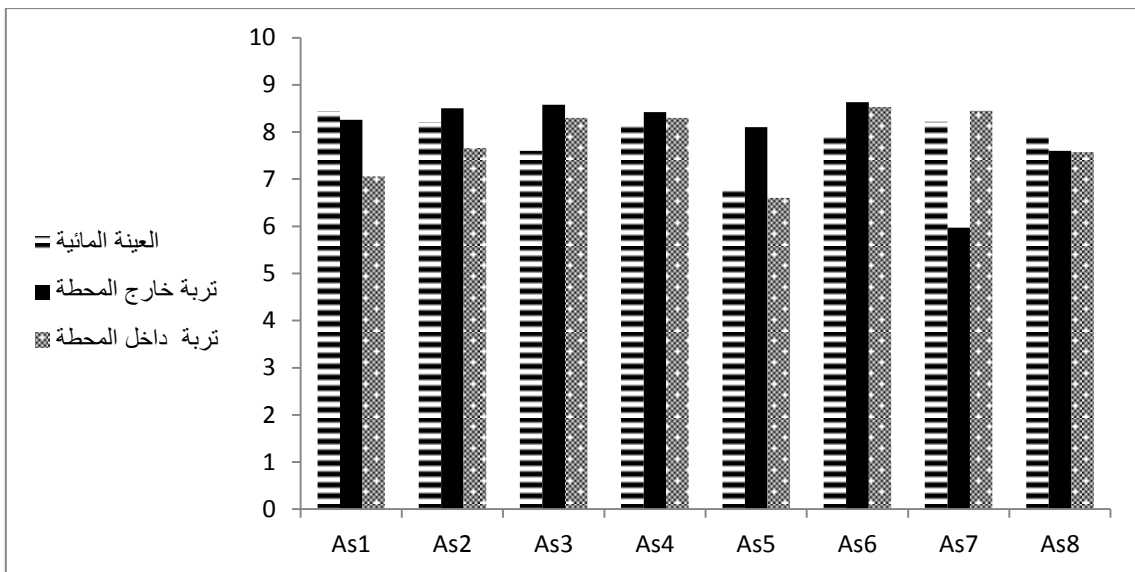
النتائج والمناقشة

1-3 الرقم الهيدروجيني (pH)

الجدول 1-3 والشكل البياني 1-3 توضح نتائج قيم الرقم الهيدروجيني (pH) المتحصل عليها للعينات المدروسة والتي تراوحت بين 5.97 – 8.63 في التربة خارج المحطة وبمتوسط عام 8.01 . بينما كانت قيم الرقم الهيدروجيني لعينات التربة داخل المحطة تتراوح بين 6.6-8.53 . وبينما في العينات المائية كانت قيم الرقم الهيدروجيني تتراوح بين 6.8-8.44 ، وقد كان أعلى رقم هيدروجيني في عينات التربة داخل المحطة 8.53 و بمتوسط عام 7.9 . وقد كانت أعلى قيمة لرقم الهيدروجيني في عينات التربة داخل المحطة 8.63 وكانت للمحطة As6 ، وكانت أقل قيمة 6.6 وكانت للمحطة As5 ، بينما من خارج المحطة كانت أعلى قيمة 8.63 للمحطة As6 ، وأقل قيمة لرقم الهيدروجيني 5.97 وهي للمحطة As7 . وقد كانت أعلى قيمة لرقم الهيدروجيني للعينات المائية 8.44 وأقل قيمة 6.8 . من خلال معامل الارتباط وجود ارتباط ضعيف بين التربة داخل المحطة والطبقة المائية داخل المحطة، بينما كان معامل ارتباط عكسي ضعيف بين التربة والطبقة المائية داخل المحطة مع التربة خارج المحطة.

جدول 1-3 يوضح متوسط الرقم الهيدروجيني (pH) للعينات

المحطة	العينة المائية	تربة خارج المحطة	تربة داخل المحطة
As1	8.44	8.26	7.06
As2	8.21	8.5	7.66
As3	7.6	8.58	8.3
As4	8.19	8.42	8.3
As5	6.8	8.1	6.6
As6	7.95	8.63	8.53
As7	8.22	5.97	8.45
As8	7.9	7.6	7.57



الشكل البياني 1-3 يوضح متوسط الرقم الهيدروجيني (pH) للعينات

وبمقارنة نتائج الدراسة الحالية مع الدراسة التي أجرتها (Khan, *et al.*, 2013) لدراسة الخصائص الفيزيائية وكيميائية والمجموعات الفطرية من عينات تربة مأخوذة من موقع قديم ملوث بالبنزين في الهند، أظهرت النتائج أن الرقم الهيدروجيني في التربة الملوثة 7.2 أما التربة غير الملوثة كانت قيمة الرقم الهيدروجيني 5.9، وعند مقارنتها مع الدراسة الحالية فإن التربة ملوثة في جميع المحطات من داخل وخارج موقع الدراسة، ماعدا خارج موقع الدراسة في المحطة As7 والتي كان الرقم الهيدروجيني 5.97 . وفي دراسة أخرى قام بها (Baddor, *et al* .. 2014) لدراسة مياه صرف غسيل السيارات ومعالجتها عن طريق الامتزاز، وقد تراوح متوسط الرقم الهيدروجيني في محطة الغسيل ما بين 6.5 – 9 ، نلاحظ أن هذه الدراسة تتفق مع الدراسة الحالية في قيم الرقم الهيدروجيني ماعدا المحطة As7 حيث كان الرقم الهيدروجيني 5.97 وهو أقل من دراسة Baddor. وفي دراسة أخرى قام بها (Ololade, 2014) لتقييم التلوث بالمعادن الثقيلة للتربة داخل ورشة ميكانيكا السيارات باستخدام عوامل التخصيب، تمت الدراسة في ثلاثة اعمق مختلفة داخل الورش 0-15 سم و 15-30 سم و 30-45 سم، كانت نتائج الدراسة لرقم الهيدروجيني في عمق 0-15 سم بمتوسط 6.7 اما في عمق 15-30 سم و 30-45 سم كانت

قيمة الرقم الهيدروجيني متساوية بمتوسط 5.7 ، نلاحظ ارتفاع في قيمة الرقم الهيدروجيني للدراسة الحالية مع هذه الدراسة.

2-3 الموصليات الكهربائية

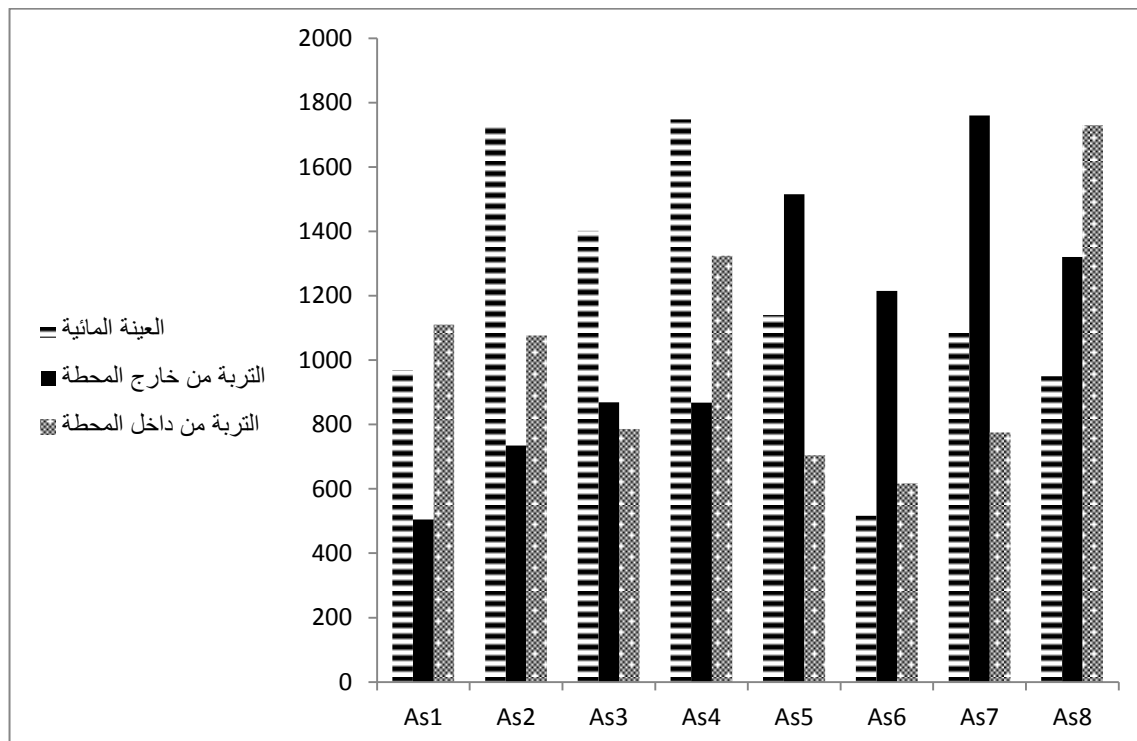
الجدول 3-2 والشكل البياني 3-2 توضح قيم الموصليات الكهربائية المتحصل عليها لعينات الدراسة والتي تراوحت بين $\mu\text{S}/\text{cm}$ 617 - 1730 في التربة من داخل المحطات وبمتوسط عام $\mu\text{S}/\text{cm}$ 1016 ، وبينما التربة من خارج المحطة كانت نتائج الموصليات الكهربائية تتراوح بين $\mu\text{S}/\text{cm}$ 1098 و 1760-505 $\mu\text{S}/\text{cm}$ ، وتراوحت قيم الموصليات لعينات المائة للمحطات بين $\mu\text{S}/\text{cm}$ 1193 و بمتوسط عام $\mu\text{S}/\text{cm}$ 1748-517 .

جدول 3-2 يوضح قيم متوسط الموصليات الكهربائية (EC) لعينات

الموصليات $\mu\text{S}/\text{cm}$			المحطة
تربة داخل المحطة	تربة خارج المحطة	الطبقة المائية	
1111	505	969	As1
1077	735	1725	As2
786	869	1402	As3
1324	868	1748	As4
705	1515	1140	As5
617	1215	517	As6
775	1760	1095	As7
1730	1320	950	As8

حيث كانت أعلى قيمة للموصليات الكهربائية في عينات التربة داخل المحطة $\mu\text{S}/\text{cm}$ 1730 و كانت للمحطة As8 ، بينما كانت أقل قيمة $\mu\text{S}/\text{cm}$ 617 للمحطة As6. ومن التربة خارج المحطة كانت أعلى قيمة $\mu\text{S}/\text{cm}$ 1760 للمحطة As7 ، وأقل قيمة $\mu\text{S}/\text{cm}$ 505 للمحطة

As1. أما في العينات المائية كانت أعلى قيمة $\mu\text{S}/\text{cm}$ 1748 للمحطة As4، وأقل قيمة من خلال معامل الارتباط وجود ارتباط ضعيف بين التربة داخل المحطة والطبقة المائية من داخل المحطة، بينما كان معامل ارتباط عكسي ضعيف بين التربة والطبقة المائية داخل المحطة مع التربة خارج المحطة.



الشكل البياني 3-2 يوضح قيم متوسط الموصلية الكهربائية (EC) للعينات

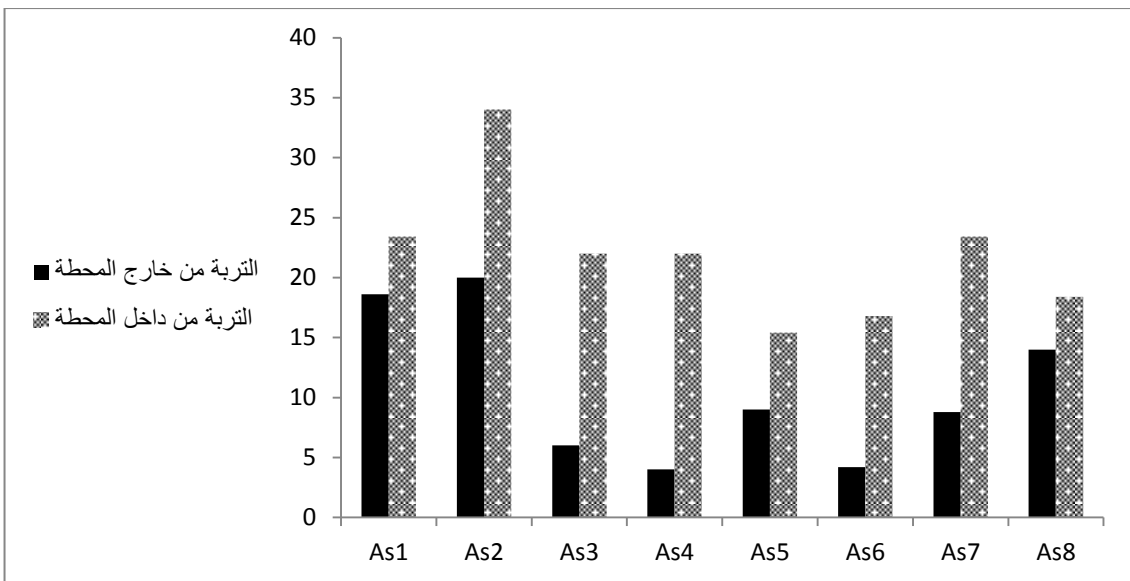
وبمقارنة نتائج الدراسة الحالية مع الدراسة التي أجرتها (Khan, et al., 2013)، لدراسة الخصائص الفيزيائية والكيميائية والمجموعات الفطرية من عينات التربة المأخوذة من موقع قديم ملوث بالبنزين في الهند، أظهرت نتائج الموصلية الكهربائية في التربة الملوثة $428 \mu\text{S}/\text{cm}$ أما التربة غير الملوثة كانت الموصلية الكهربائية $212 \mu\text{S}/\text{cm}$ ، وعند مقارنتها مع هذه الدراسة نلاحظ أن الدراسة الحالية قد زادت فيها قيمة الموصلية الكهربائية عن القيم المشار إليها أعلاه.

3-3 محتوى الماء

جدول 3 - 3 يوضح نتائج قيم محتوى الرطوبة المتحصل عليها لعينات الشكل البياني 3 - 3 في التربة داخل المحطة وبمتوسط عام 21.9%، بينما كانت قيم محتوى الرطوبة لعينات التربة خارج موقع الدراسة يتراوح بين 4% - 20 و بمتوسط 10.57%. كانت أعلى قيمة لمحتوى الرطوبة في عينات التربة داخل المحطة 34% للمحطة As2، بينما أقل قيمة لمحتوى الرطوبة كانت 15.4% للمحطة As5، بينما أعلى قيمة لمحتوى الرطوبة خارج موقع الدراسة كانت 20% وكانت المحطة As2، وأقل قيمة 4% كانت للمحطات As4. من خلال معامل الارتباط وجود ارتباط طردي متواضع بين التربة داخل المحطة مع التربة خارج المحطة.

جدول 3-3 يوضح قيم متوسط محتوى الرطوبة لعينات

محتوى الرطوبة %		المحطة
التربة من داخل المحطة	التربة من خارج المحطة	
23.4	18.6	As1
34	20	As2
22	6	As3
22	4	As4
15.4	9	As5
16.8	4.2	As6
23.4	8.8	As7
18.4	14	As8



الشكل البياني 3-3 يوضح قيم متوسط محتوى الرطوبة لعينات

4-3 المحتوى العضوي

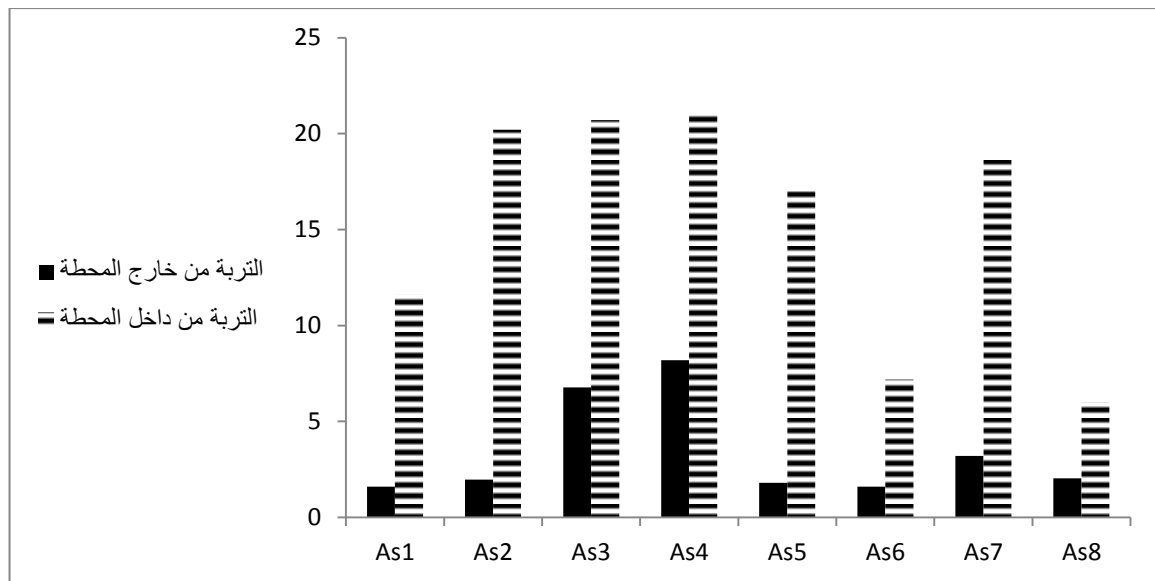
جدول 4-3 والشكل البياني 4-3 توضح نتائج المحتوى العضوي المتحصل عليها لعينات الدراسة والتي تراوحت بين 6% – 21% في التربة داخل المحطات المدروسة وبمتوسط عام 15.31%، بينما كانت قيم المحتوى العضوي في عينات خارج المحطات تتراوح بين 1.6% – 8.2% وبمتوسط 3.4%. وقد كانت أعلى قيمة للمحتوى العضوي في عينات التربة داخل المحطة 21% وكانت للمحطة As8، وكانت أقل قيمة 6% للمحطة As4. بينما كانت أعلى قيمة خارج موقع الدراسة 8.2% كانت للمحطة As4، وكانت أقل قيمة 1.6% كانت للمحطة As1، As6. من خلال معامل الارتباط وجود ارتباط عكسي ضعيف للتربة داخل المحطة مع التربة خارج المحطة.

وبمقارنة نتائج الدراسة الحالية مع الدراسة التي أجرتها (الأوسي وعليوي، 2015) امتازت وتحرر الرصاص والcadmium في الترب الكلسية المعاملة بزيوت المحركات المستعملة، تمأخذ عشر مواقع مختلفة فضلاً عن التربة المعاملة بمستويات مختلفة من زيوت السيارات المستعملة، كان أعلى نسبة للمحتوى العضوي للمنطقة الوزيرية 54.5% وأقل نسبة للمنطقة الدورة 0.67%

وبمتوسط عام 17.64% ، نلاحظ ارتفاع في المحتوى العضوي في بعض المنطقة عن نتائج الدراسة الحالية . وفي دراسة قام بها (معیوف، 2013) لتحديد درجة التلوث بالشواطئ الممتدة من بشر إلى مدينة البريقة الجديدة بتطبيق مؤشر حمل التلوث في التربة البحرية، حيث تراوحت قيم المحتوى العضوي ما بين % 1.45 – 9.8 في فصل الصيف وفي فصل الشتاء كانت ما بين % 1.16 – 9.75 ، وقد وجد من خلال هذه النتائج إن جميع المواقع في منطقة الدراسة كانت خالية من التلوث بالمواد العضوية فيما عدا وسط ميناء الشحن الشرقي ، نلاحظ ارتفاع في قيم المحتوى العضوي في التربة داخل المحطة عن هذا الدراسة، بينما كانت النتيجة متقاربة في التربة خارج المحطة مع دراسة معیوف .

جدول 4-3 يوضح قيم متوسط المحتوى العضوي للعينات

المحطة	المحتوى العضوي %	
	التربة من داخل المحطة	التربة من خارج المحطة
As1	11.6	1.6
As2	20.2	1.98
As3	20.7	6.77
As4	21	8.2
As5	17	1.8
As6	7.2	1.6
As7	18.8	3.2
As8	6	2.04



الشكل البياني 3-4 يوضح قيم متوسط المحتوى العضوي للعينات

3-5 المعادن الثقيلة

1-5-3 الكادميوم

توضح نتائج هذه الدراسة لقيم الكادميوم والمبنية في الجدول 3 - 5 والشكل البياني 3 - 5 المتحصل عليها لعينات الدراسة والتي تراوحت بين 0.013 – 0.18 ppm في التربة داخل موقع الدراسة وبمتوسط عام 0.095 ppm، بينما كانت قيم الكادميوم لعينات التربة خارج موقع الدراسة تتراوح بين 0.013 – 0.25 ppm وبمتوسط عام 0.11 ppm ، أما في العينات المائية فكانت قيم الكادميوم تتراوح بين 0.05 – 0.23 ppm وبمتوسط عام 0.12 ppm . وقد كانت أعلى قيمة للكادميوم في العينات داخل المحطة 0.18 ppm وكانت للمحطة As6 ، وأقل قيمة 0.013 ppm كانت للمحطة As4، بينما أعلى قيمة للكادميوم خارج المحطات المدروسة 0.25 ppm للمحطة As5 وأقل قيمة 0.013 ppm للمحطة As4 ، أما في العينات المائية كانت أعلى قيمة 0.23 ppm وكانت للحطة As4، وأقل قيمة 0.05 ppm للمحطة As1 . من خلال معامل الارتباط لوحظ وجود ارتباط طردي ضعيف بين التربة داخل والمحطة و

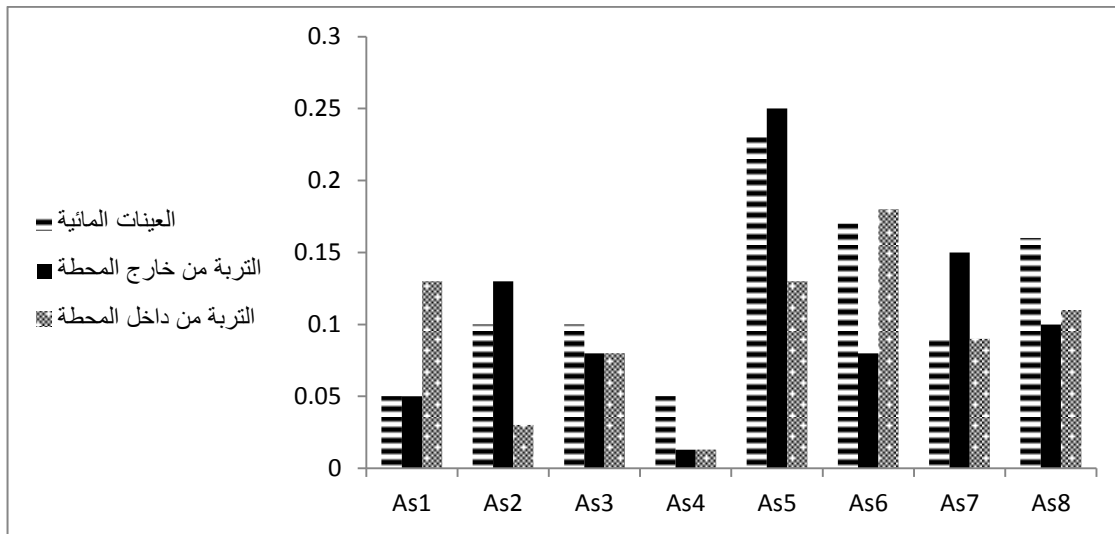
الطبقة المائية داخل المحطة، بينما كان معامل ارتباط طردي متوسط بين التربة داخل المحطة مع التربة خارج المحطة، وكان ارتباط طردي قوي بين الطبقة المائية والتربة خارج المحطة.

جدول 5-3 يوضح قيم متوسط تركيز الكادميوم للعينات

الكادميوم ppm			المحطة
العينة المائية	التربة من خارج المحطة	التربة من داخل المحطة	
0.05	0.13	0.13	As1
0.1	0.13	0.03	As2
0.1	0.08	0.08	As3
0.05	0.013	0.013	As4
0.23	0.25	0.13	As5
0.17	0.08	0.18	As6
0.09	0.15	0.09	As7
0.16	0.1	0.11	As8

وبمقارنة نتائج الدراسة الحالية مع الدراسة التي أجرتها (Abagale, et al., 2013) لتقدير تركيز المعادن الثقيلة في مياه الصرف الصحي من مصارف غسيل السيارات في غانا، حيث تم تحليل عينات مياه الصرف الصحي من ثلاثة (3) مصارف غسيل سيارات مختلفة . وكانت نتائج تركيز الكادميوم أقل من حساسية الجهاز (0.002 mg/l)، وبمقارنتها بنتائج هذه الدراسة نلاحظ أن الدراسة الحالية تحتوي على تراكيز أعلى من الكادميوم وقد يرجع لقربها من الطريق وتأثير حركة السيارات على تركيز الكادميوم في التربة. وفي دراسة أخرى قام بها (Ogoko, 2014) لتقدير الهيدروكربونات النفطية الكلية وبعض العناصر الثقيلة في التربة بمستودع النفط في أب غانا، تم دراسة ثلاثة أعمق مختلفة من داخل المستودع 0-10 و 10-20 و 20-30،

اوضحت النتائج تركيز الكادميوم مابين 0.3 mg/kg - 1.66 mg/kg بمتوسط 0.89 mg/kg . نلاحظ ارتفاع في تركيز الكادميوم لهذه الدراسة مع الدراسة الحالية.



الشكل البياني 5 يوضح قيم متوسط تركيز الكادميوم للعينات

2-5-3 الزنك

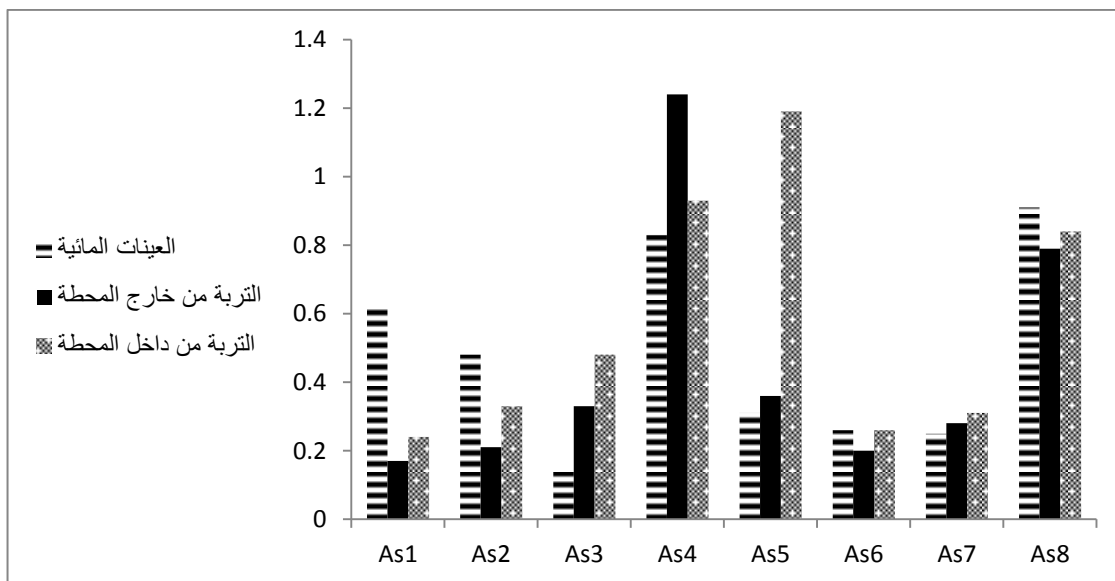
بينت نتائج هذه الدراسة من الجدول 3-6 والرسم البياني 3-6 قيم متوسط تركيز الزنك المتحصل عليها لعينات الدراسة والتي تراوحت بين 0.24 ppm - 1.19 ppm في التربة داخل المحطات وبمتوسط عام 0.57 ppm ، بينما كانت قيم متوسط تركيز الزنك خارج المحطات المدروسة تتراوح بين 0.17 ppm - 1.24 ppm وبمتوسط عام 0.45 ppm وبمتوسط عام 0.91 ppm وبمتوسط عام 0.48 ppm .

وقد كانت أعلى قيمة متوسط تركيز الزنك 1.19 ppm في عينات التربة داخل المحطة كانت للمحطة As5 وكانت أقل قيمة 0.24 ppm للمحطة As1، بينما خارج المحطات كانت أعلى قيمة 1.24 ppm للمحطة As4 وأقل قيمة 0.17 ppm للمحطة As1، أما في العينات المائية كانت أعلى قيمة 0.91 ppm وهي للمحطة As8 أما أقل قيمة 0.14 ppm كانت للمحطة As3. ومن خلال معامل الارتباط (0.630) نلاحظ وجود ارتباط طردي متوسط بين التربة داخل المحطة والطبقة

المائية داخل المحطة، بينما كان معامل ارتباط طردي ضعيف 0.342 بين التربة داخل المحطة والطبقة المائية داخل المحطة، وكان معامل ارتباط الطبقة المائية داخل المحطة مع التربة خارج المحطة 0.709 ارتباط طردي قوي.

جدول 3-6 يوضح قيم متوسط تركيز الزنك للعينات

المحطة	العينات المائية	التربة من خارج المحطة	التربة من داخل المحطة	ppm الزنك
As1	0.62	0.17	0.24	
As2	0.48	0.21	0.33	
As3	0.14	0.33	0.48	
As4	0.83	1.24	0.93	
As5	0.31	0.36	1.19	
As6	0.26	0.2	0.26	
As7	0.25	0.28	0.31	
As8	0.91	0.79	0.84	



الشكل البياني 3-6 يوضح قيم متوسط تركيز الزنك للعينات

وبمقارنة نتائج الدراسة الحالية مع الدراسة التي أجرتها (Abagale, et al., 2013) لتقدير تركيز المعادن الثقيلة في مياه الصرف الصحي من مصارف غسيل السيارات في غانا، تم تحليل عينات مياه الصرف الصحي من ثلاثة (3) مصارف غسيل سيارات مختلفة . وكانت نتائج تركيز الزنك 0.18 mg/l ، وبمقارنتها بنتائج هذه الدراسة نلاحظ أن الدراسة الحالية قد زادت فيها تركيز الزنك ماعدا المحطة As3 كان تركيز الزنك 0.14 mg/l منخفضاً . وفي دراسة أخرى قام بها (Ololade, 2014) لتقدير التلوث بالمعادن الثقيلة للتربة داخل ورشة ميكانيكا السيارات باستخدام عوامل التخصيب، تمت الدراسة في ثلاثة اعمق مختلفة داخل الورش 0-15 سم و 15-30 سم و 30-45 سم، كانت نتائج دراسة تركيز الزنك في عمق 0-15 بمتوسط 2.64 mg/kg اما في عمق 15-30 كان تركيز الزنك بمتوسط 2.57 mg/kg وتركيز الزنك في عمق 30-45 كان بمتوسط 2.86 mg/kg ، نلاحظ ارتفاع في تركيز الزنك لهذه الدراسة عن الدراسة الحالية.

3-5-3 النحاس

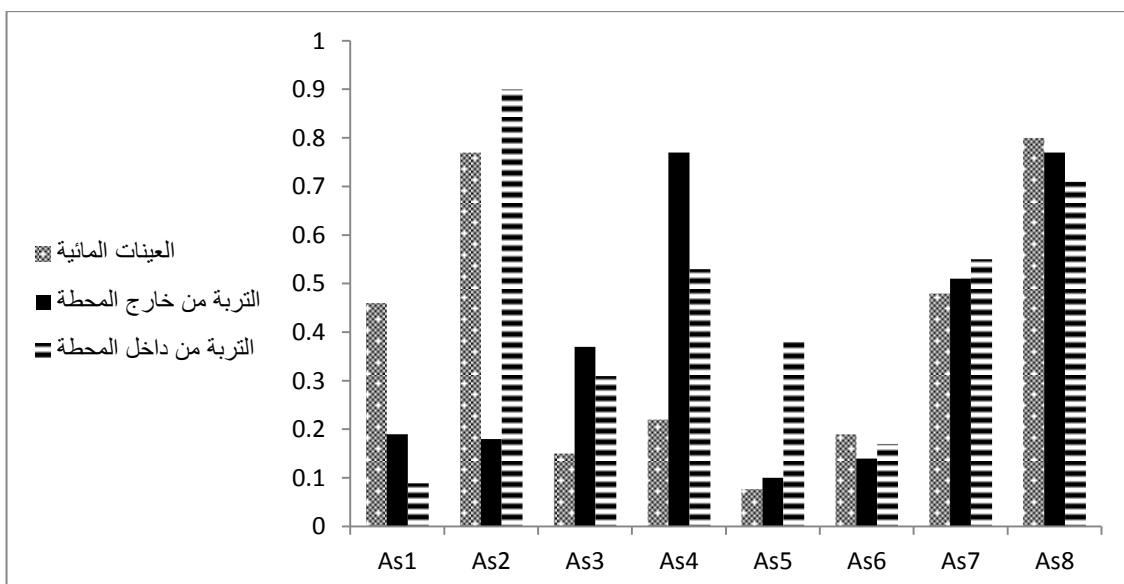
الجدول 7-3 والشكل البياني 7-3 يوضحان نتائج قيم تركيز النحاس المتحصل عليها لعينات الدراسة والتي تراوحت بين $0.089 - 0.9 \text{ ppm}$ في التربة داخل المحطات المدروسة وبمتوسط عام 0.45 ppm بينما كانت قيم تركيز النحاس لعينات التربة خارج المحطات يتراوح التركيز بين $0.1 - 0.77 \text{ ppm}$ وبمتوسط 0.38 ppm أما العينات المائية كانت قيم تركيز النحاس تتراوح بين $0.15 - 0.8 \text{ ppm}$ وبمتوسط 0.39 ppm .

وقد كانت أعلى قيمة لتركيز النحاس 0.9 ppm في عينات التربة داخل المحطة وكانت للمحطة As2 وكانت أقل قيمة لتركيز النحاس 0.089 ppm للمحطة As1 . بينما خارج المحطات المدروسة كانت أعلى قيمة 0.77 ppm للمحطات As4، As8 وأقل قيمة 0.1 ppm للمحطة As5، أما في العينات المائية كانت قيمة تركيز النحاس 0.8 ppm للمحطة As8 وأقل قيمة 0.15 ppm كانت للمحطة As3 . من خلال معامل الارتباط 0.404 وجود ارتباط طردي ضعيف بين

التربة داخل المحطة والطبقة المائية داخل المحطة، بينما كان معامل ارتباط 0.673 ارتباط طردي متوسط بين التربة داخل المحطة والتربة خارج المحطة، بمعامل ارتباط 0.283 ارتباط طردي ضعيف بين الطبقة المائية والتربة خارج المحطة.

جدول 7-3 يوضح قيم متوسط تركيز النحاس للعينات

المحطة	العينات المائية	التربة من خارج المحطة	النحاس ppm	التربة من داخل المحطة
As1	0.46	0.19	0.089	
As2	0.77	0.18	0.9	
As3	0.15	0.37	0.31	
As4	0.22	0.77	0.53	
As5	0.077	0.1	0.38	
As6	0.19	0.14	0.17	
As7	0.48	0.51	0.55	
As8	0.8	0.77	0.71	



الشكل البياني 7-3 يوضح قيم متوسط تركيز النحاس للعينات

وبمقارنة نتائج الدراسة الحالية مع الدراسة التي أجرتها (Abagale and Birteeb, 2013) تشير العناصر الثقيلة لمياه غسيل السيارات المستخدمة في الراي. أظهرت نتائج الدراسة تركيز عنصر النحاس في ثلاثة عينات 1 و 2 و 3 لتكون 0.127 mg/l , 0.027 mg/l , 0.018 mg/l على التوالي. وكانت تركيزات النحاس في العينات أقل من القيم المسموح بها وفق وكالة حماية البيئة في غانا . وفي دراسة أجراها (Abagale, et al., 2013) لتقدير تركيز المعادن الثقيلة في مياه الصرف الصحي من مصارف غسيل السيارات في غانا، تم تحليل عينات مياه الصرف الصحي من ثلاثة (3) مصارف غسيل سيارات مختلفة . وكانت نتائج تركيز النحاس 0.06 mg/l ، وبمقارنتها بنتائج هذه الدراسة نلاحظ أن الدراسة الحالية قد زادت فيها تراكيز النحاس بشكل كبير ماعدا المحطة As5 كان تركيز النحاس 0.077 mg/l مقارب لهذه الدراسة .

4-5-3 الرصاص

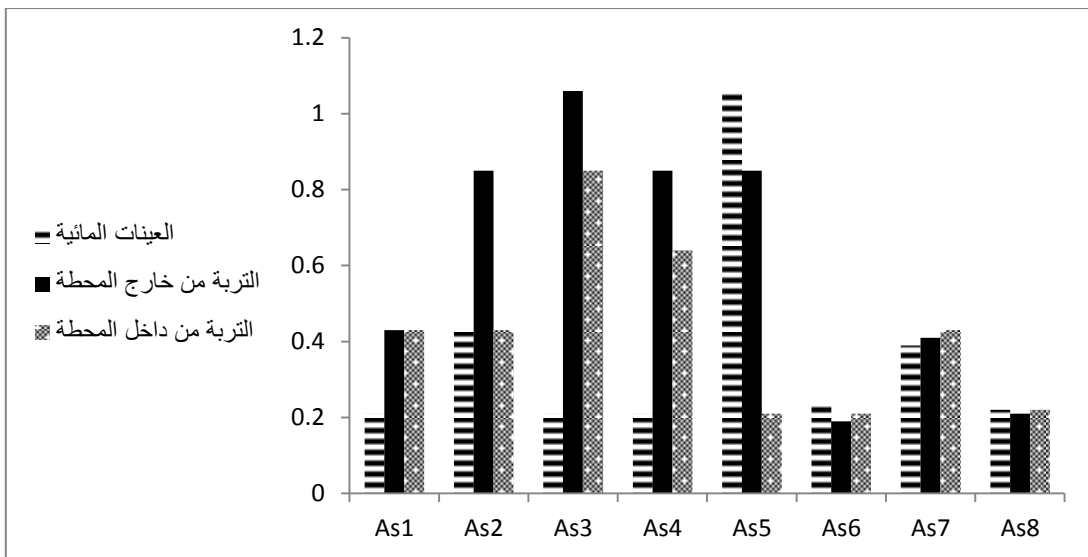
الجدول 3-8 والشكل البياني 3-8 يوضحان نتائج تركيز الرصاص المتحصل عليها لعينات الدراسة والتي تراوحت بين $0.21 - 0.85 \text{ ppm}$ في التربة داخل محطات الدراسة وبمتوسط 0.42 ppm ، بينما كانت قيمة تركيز الرصاص لعينات خارج المحطات $0.19 - 1.06 \text{ ppm}$ وبمتوسط 0.61 ppm ، أما في العينات المائية كانت قيمة تراكيز الرصاص تتراوح بين $0.21 - 1.06 \text{ ppm}$ وبمتوسط 0.37 ppm . وقد كان أعلى قيمة لتركيز الرصاص 0.21 ppm في عينات التربة داخل المحطة، وكانت للمحطة As3، وأقل قيمة كانت 0.21 ppm للمحطة As5 - As6 ، بينما أعلى قيمة لعينات خارج موقع الدراسة لتركيز الرصاص 1.06 ppm وكانت للمحطة As3 وأقل قيمة 0.19 ppm للمحطة As6 ، أما في العينات المائية كانت أعلى قيمة لتركيز الرصاص 1.06 ppm للمحطة As5 وأقل قيمة 0.21 ppm كانت للمحطات As1 - As3 - As4 . من خلال معامل الارتباط 0.682 نلاحظ وجود ارتباط طردي متواضع بين التربة داخل المحطة والطبقة المائية

داخل المحطة، بينما كان معامل ارتباط 0.409- ارتباط عكسي متوسط بين التربة داخل المحطة و التربة خارج المحطة. أما معامل الارتباط 0.311 كان ارتباط طردي ضعيف بين الطبقة المائية داخل المحطة والتربة خارج المحطة.

جدول 3-8 يوضح قيم متوسط تركيز الرصاص للعينات

المحطة	العينات المائية	التربة من خارج المحطة	الرصاص ppm
			التربة من داخل المحطة
As1	0.21	0.43	0.43
As2	0.43	0.85	0.43
As3	0.21	1.06	0.85
As4	0.21	0.85	0.64
As5	1.06	0.85	0.21
As6	0.23	0.19	0.21
As7	0.39	0.41	0.43
As8	0.22	0.21	0.22

وبمقارنة نتائج الدراسة الحالية مع الدراسة التي أجرتها (الترهوني، 2013) لتلوك التربة بالمخلفات السائلة من محطات غسيل السيارات بمنطقة الزاوية، حيث كانت نتائج تركيز الرصاص تتراوح بين 69.76-0.27 mg/kg وبمتوسط عام 11.12 mg/kg، وقد كان أعلى قيمة لتركيز الرصاص 69.76 mg/kg كانت للمحطة (19)، وأقل قيمة 0.27 mg/kg وهو أعلى مما وجد في الدراسة الحالية . وبمقارنتها مع دراسة أخرى أجرتها (Abagale, et al., 2013) لتقييم تركيز المعادن الثقيلة في مياه الصرف الصحي من مصارف غسيل السيارات في غانا، تم تحليل عينات مياه الصرف الصحي من ثلاثة 3 مصارف غسيل سيارات مختلفة. ونتائج هذه الدراسة تتوافق مع نتائج الدراسة الحالية وكان تركيز الرصاص 0.28 mg/l ، ماعدا المحطات As2, As5, As7 زادت فيها تركيز الرصاص .



الشكل البياني 3-8 يوضح قيم متوسط تركيز الرصاص للعينات

5-5-3 الحديد

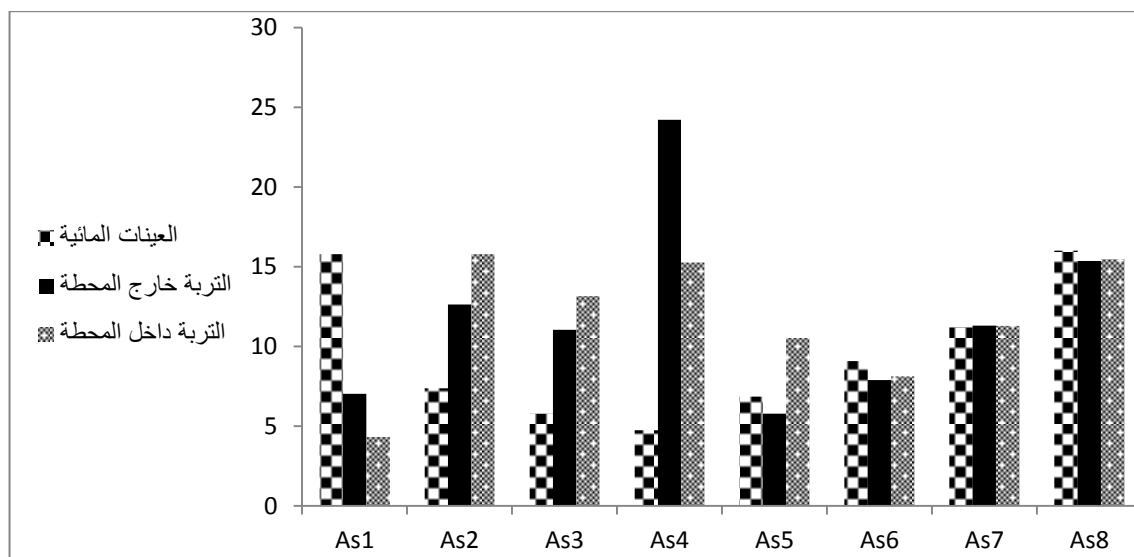
الجدول 3-9 والشكل البياني 3-9 يوضحان نتائج قيم متوسط تركيز الحديد المتحصل عليها لعينات الدراسة والتي تراوحت بين 4.32 - 15.79 ppm في التربة داخل محطات الدراسة وبمتوسط عام 11.79 ppm، بينما كانت قيم تركيز الحديد خارج المحطات المدروسة لعينات التربة تتراوح 5.79 – 24.21 ppm وبمتوسط عام 11.91 ppm، أما في العينات المائية فكانت قيم تركيز الحديد تتراوح بين 4.74 – 16.01 ppm وبمتوسط 9.6 . ppm

وقد كان أعلى تركيز للحديد في عينات التربة داخل المحطة As2 ppm 15.79 وكانت للمحطة As1 24.21 وبأقل قيمة لتركيز الحديد 4.32 ppm، بينما أعلى تركيز للحديد As4 5.79 ppm في عينات خارج محطات المدروسة وكانت للمحطة As4 وأقل قيمة لتركيز الحديد 16.01 ppm وهي للمحطة رقم As5، أما في العينات المائية كانت تركيز الحديد 0.698 As8 وأقل تركيز للحديد 4.74 ppm كانت للمحطة As4. من خلال معامل الارتباط وجود ارتباط طردي متواضع بين التربة داخل المحطة والطبقة المائية داخل المحطة، بينما كان

معامل ارتباط 0.398- ارتباط عكسي ضعيف بين التربة داخل المحطة و التربة خارج المحطة، ومعامل ارتباط 0.268- ارتباط عكسي ضعيف بين الطبقة المائية و التربة خارج المحطة.

جدول 9-3 يوضح قيم متوسط تركيز الحديد للعينات

المحطة	العينات المائية	التربة من خارج المحطة	الحديد ppm	التربة من داخل المحطة
As1	15.79	7.03	4.32	
As2	7.37	12.63	15.79	
As3	5.79	11.05	13.16	
As4	4.74	24.21	15.26	
As5	6.84	5.79	10.53	
As6	9.07	7.89	8.11	
As7	11.2	11.31	11.28	
As8	16.01	15.37	15.46	



الشكل البياني 9-3 يوضح قيم متوسط تركيز الحديد للعينات

وبمقارنة نتائج الدراسة الحالية مع الدراسة التي أجرتها (Abagale, et al., 2013) لتقدير تركيز المعادن الثقيلة في مياه الصرف الصحي من مصارف غسيل السيارات في غانا. فكانت

نتائج تركيز الحديد 4.97 mg/l ، وبمقارنتها بنتائج هذه الدراسة نلاحظ أن الدراسة الحالية قد زادت فيها تراكيز الحديد ماعدا المحطة As4 فكان تركيز الحديد فيها 4.74 mg/l مقاربة من هذه الدراسة .

6-3 الهيدروكربونات النفطية

الجدول 3-10 والشكل البياني 3-10 يوضحان نتائج قيم تركيز الهيدروكربونات الكلية المتحصل عليها لعينات الدراسة والتي تراوحت بين $389 - 70000 \text{ mg/kg}$ في التربة داخل محطات الدراسة وبمتوسط عام 24439 mg/kg ، بينما خارج المحطات المدروسة كانت تراوح بين 37333 mg/kg وبمتوسط عام $55000-27000 \text{ mg/kg}$.

جدول 3-10 يوضح قيم متوسط تركيز الهيدروكربونات النفطية لعينات

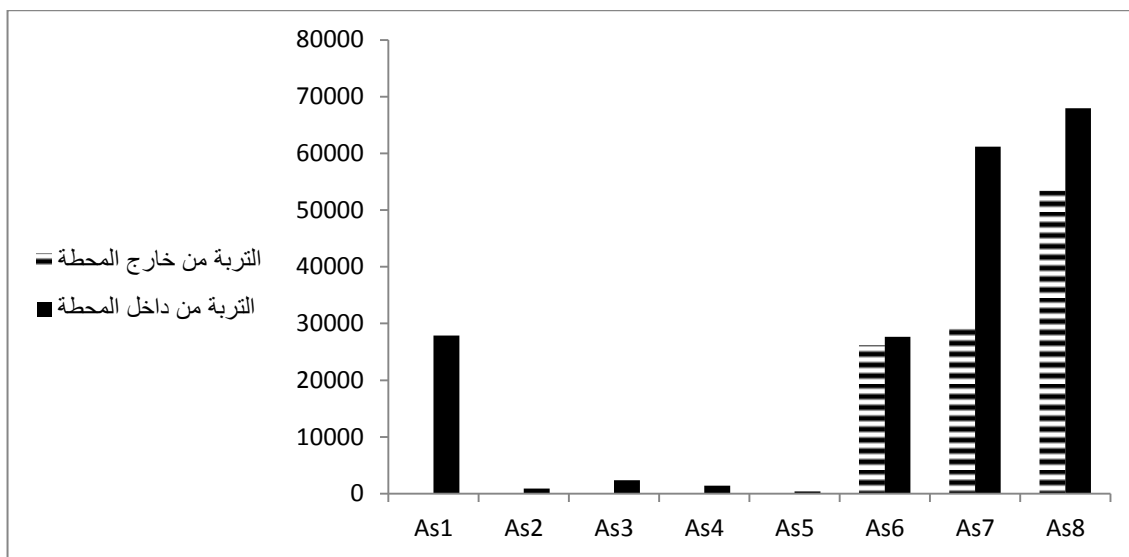
المحطة	الهيدروكربونات النفطية mg/kg	التربيه من داخل المحطة	التربيه من خارج المحطة
As1	28740	-	
As2	954	-	
As3	2461	-	
As4	1480	-	
As5	389	-	
As6	28487	27000	
As7	63000	30000	
As8	70000	55000	

- لم يتم دراستها

الجدول 3-10 والشكل البياني 3-10 يوضحان نتائج قيم تركيز الهيدروكربونات الكلية المتحصل عليها لعينات الدراسة والتي تراوحت بين $389 - 70000 \text{ mg/kg}$ في التربة داخل محطات

الدراسة وبمتوسط عام 24439 mg/kg ، بينما خارج المحطات المدروسة كانت تراوح بين . 37333 mg/kg وبمتوسط عام $55000-27000 \text{ mg/kg}$

وقد كان أعلى قيمة لتركيز الهيدروكربونات الكلية في عينات داخل المحطة 70000 mg/kg وكانت للمحطة As8 وكانت أقل قيمة للمحطة 389 mg/kg للمحطة As5 . بينما أعلى قيمة لتركيز الهيدروكربونات الكلية خارج المحطة رقم As8 وأما أقل قيمة . As7 للمحطة 30000 mg/kg



الشكل البياني 3-10 يوضح قيم متوسط تركيز الهيدروكربونات الكلية للعينات

وبمقارنة نتائج الدراسة الحالية مع الدراسة التي قام بها (الترهوني، 2013) تلوث التربة بالمخلفات السائلة من محطات غسيل السيارات بمنطقة الزاوية، نلاحظ أن نتائج الدراسة الحالية كانت أعلى مما أشار إليه الترهوني في دراسته حيث وجد أن محتوى الهيدروكربونات يختلف من محطة لأخرى وقد تراوحت بين 31955 mg/kg - 550 mg/kg وبمتوسط عام 31955 mg/kg بالمحطة رقم (2) وأقل تركيز 550 mg/kg بالمحطة رقم (32)، وبمقارنة نتائج الترهوني مع ما أوصى به قسم المحافظة على البيئة في نيويورك (Nysdec, 2002) نلاحظ أن نتائج الترهوني أعلى مما أشار إليه قسم المحافظة

على البيئة، كما أن نتائج الدراسة الحالية تجاوزت الحد الذي أوصى به قسم المحافظة على البيئة في نيويورك.

7-3 استخدام المعايير أو المؤشرات البيئية في تحديد حالة الوضع البيئي

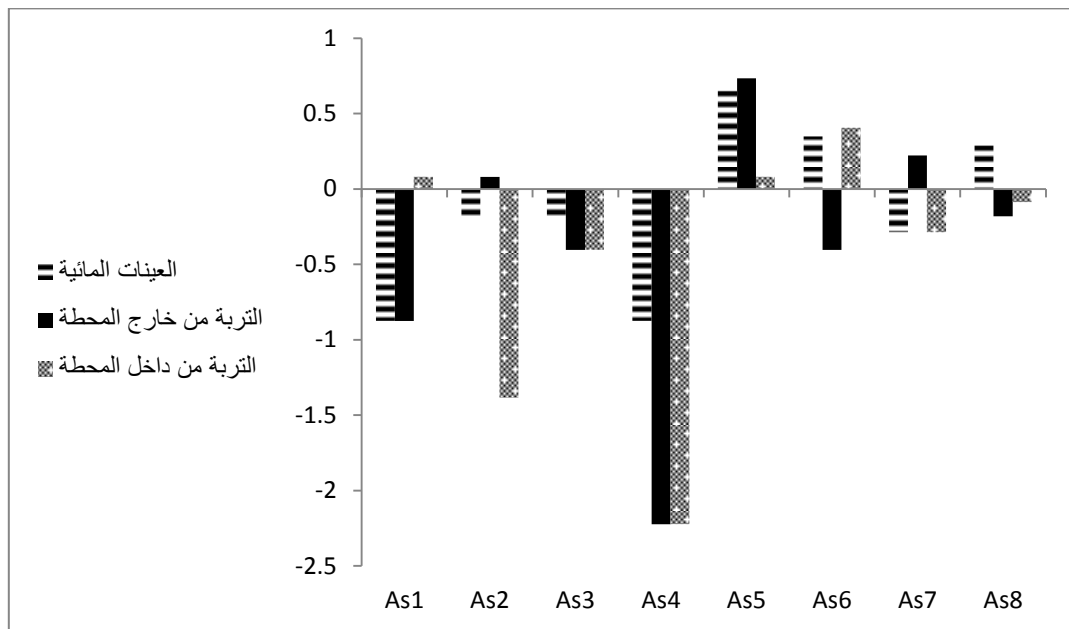
7-3-1 مؤشر التراكم الجيولوجي

1-7-3-1 مؤشر التراكم الجيولوجي للكادميوم

قيم التراكم الجيولوجي لعنصر الكادميوم في هذه الدراسة والمبنية في الجدول 11-3 والشكل البياني 11-3 ، والتي تراوحت ما بين (2.223) - 0.405 في التربة داخل محطات الغسيل، بينما كانت قيم مؤشر التراكم الجيولوجي خارج موقع الدراسة تتراوح بين (2.223) - 0.734 ، وكانت قيم التراكم الجيولوجي للعينات المائية تتراوح بين (0.875) - 0.651 . من خلال قيم التراكم الجيولوجي نلاحظ عم وجود تلوث بعنصر الكادميوم في التربة داخل المحطات (As₂)، (As₃، As₄، As₅، As₆، As₇، As₈) ويرجع هذا لكون قيمة معامل التراكم الجيولوجي أقل من (0)، بينما نلاحظ وجود تلوث منخفض بعنصر الكادميوم في التربة داخل المحطات (As₁، As₂، As₃، As₄، As₅، As₆، As₇) . أما في العينات المائية داخل المحطة نلاحظ عدم وجود تلوث في المحطات (As₁، As₂، As₃، As₄، As₅، As₆، As₇) ونلاحظ وجود تلوث منخفض بعنصر الكادميوم في العينات المائية داخل المحطات (As₈) . (Huu, et al .., 2010) وذلك بالمقارنة مع ماذكره (As₈، As₆، As₅)

جدول 3-11 يوضح قيم مؤشر التراكم الجيولوجي للكادميوم للعينات

المحطة	العينات المائية	التراب من خارج المحطة	التراب من داخل المحطة
As1	-0.875	0.08	-0.875
As2	-0.182	-1.386	0.08
As3	-0.182	-0.405	-0.405
As4	-0.875	-2.223	-2.223
As5	0.651	0.734	0.08
As6	0.348	-0.405	0.405
As7	-0.288	0.223	-0.288
As8	0.288	-0.182	-0.087



الشكل البياني 3-11 يوضح قيم التراكم الجيولوجي لعنصر الكادميوم في العينات

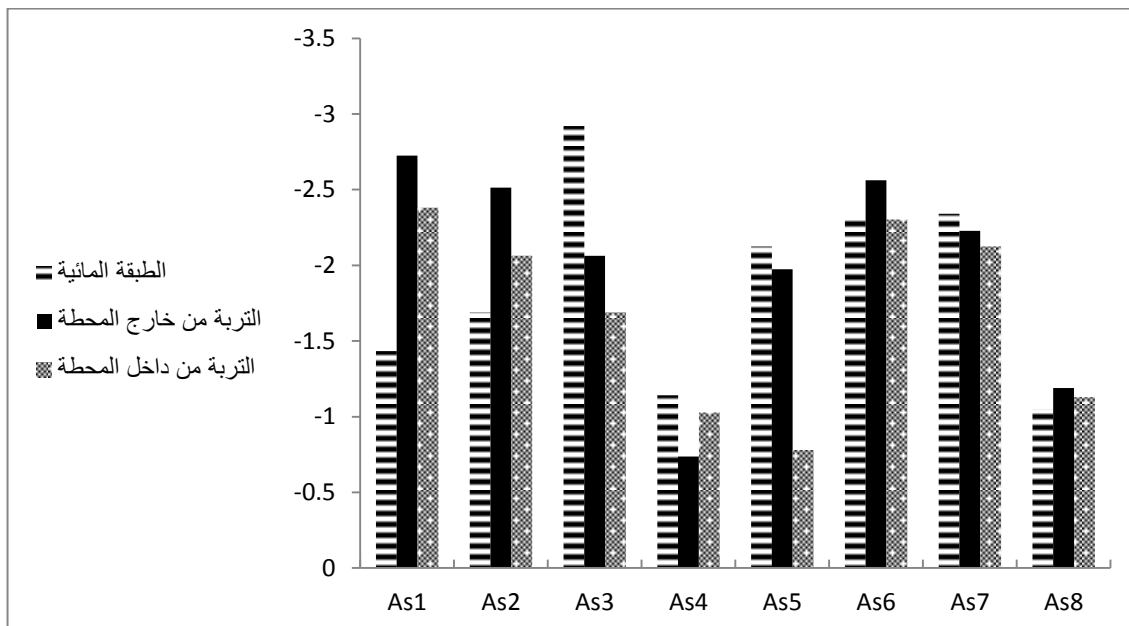
3-1-7-3 مؤشر التراكم الجيولوجي للزنك

جدول 3-12 والرسم البياني 3-12 يوضحان قيم التراكم الجيولوجي لعينات المدروسة والتي تراوحت (-2.381) – (-0.78) في التربة داخل محطات الغسيل، بينما كانت قيم التراكم خارج

موقع الدراسة تتراوح بين (-0.738) - (-2.726) ، وأما قيم التراكم في العينات المائية (-2.92) - (-1.048) . من قيم المشار لها أعلى نلاحظ عدم وجود تلوث بعنصر الزنك في موقع الدراسة حيث أنه في حالة كون قيم معامل التراكم الجيولوجي أقل من الصفر فإنه يدل على عدم وجود تلوث والبيئة نظيفة (Huu, et al .., 2010).

جدول 3-12 يوضح قيم التراكم الجيولوجي لعنصر الزنك في العينات

المحطة	العينات المائية	التربة من خارج المحطة	الترابة من داخل المحطة
As1	-1.432	-2.726	-2.381
As2	-1.688	-2.514	-2.062
As3	-2.92	-2.062	-1.688
As4	-1.14	-0.738	-1.026
As5	-2.125	-1.975	-0.78
As6	-2.301	-2.563	-2.301
As7	-2.34	-2.227	-2.125
As8	-1.048	-1.189	-1.128



الشكل البياني 3-12 يوضح قيم مؤشر التراكم الجيولوجي لعنصر الزنك في العينات

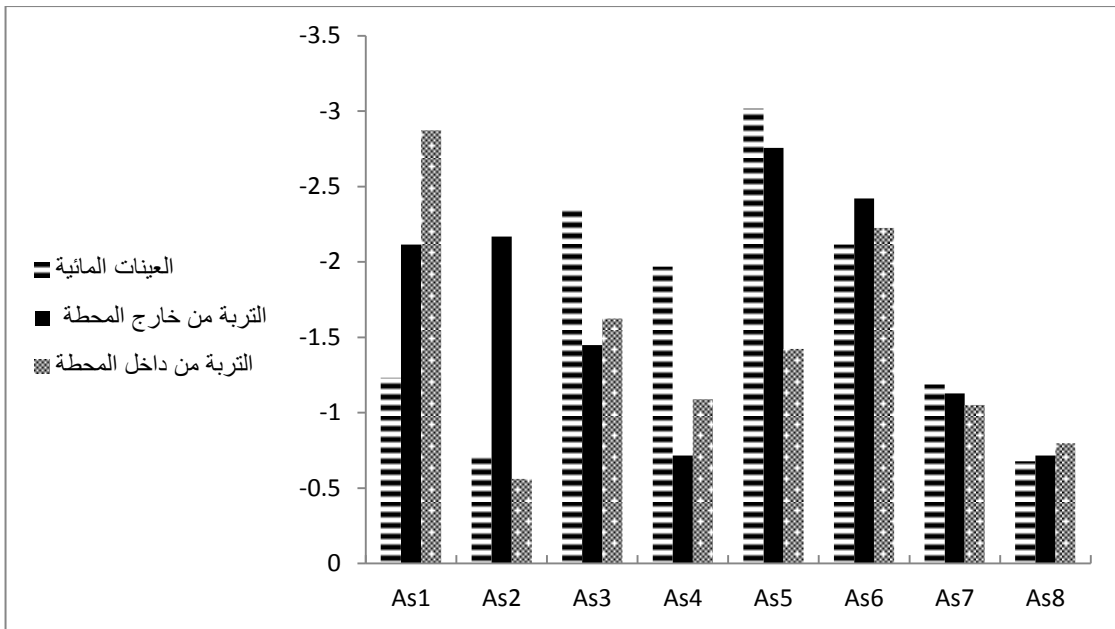
3-1-7-3 مؤشر التراكم الجيولوجي للنحاس

من قيم التراكم الجيولوجي لعنصر النحاس في الدراسة والمبنية في الجدول 3-13 وشكل البياني 3-13 ، وتراوحت ما بين (-0.56) - (-2.873) في التربة داخل محطات الغسيل، بينما كانت قيم مؤشر التراكم الجيولوجي خارج الدراسة تتراوح بين (-0.716) - (-2.757) ، وكانت قيم التراكم الجيولوجي للعينات المائية تتراوح بين (-0.677) - (-3.018) . واتضح من خلال قيم التراكم الجيولوجي عدم وجود تلوث بعنصر النحاس في موقع الدراسة حيث أن قيم معامل التراكم الجيولوجي أقل من الصفر فإنه يدل على عدم وجود تلوث والبيئة نظيفة (Huu, et al

. . , 2010

جدول 3-13 يوضح قيم مؤشر التراكم الجيولوجي لعنصر النحاس في العينات

المحطة	العينات المائية	الترابة من خارج المحطة	الترابة من داخل المحطة
As1	-1.231	-2.115	-2.873
As2	-0.716	-2.169	-0.56
As3	-2.351	-1.449	-1.625
As4	-1.968	-0.716	-1.089
As5	-3.018	-2.757	-1.422
As6	-2.115	-2.42	-2.226
As7	-1.188	-1.128	-1.052
As8	-0.677	-0.716	-0.797



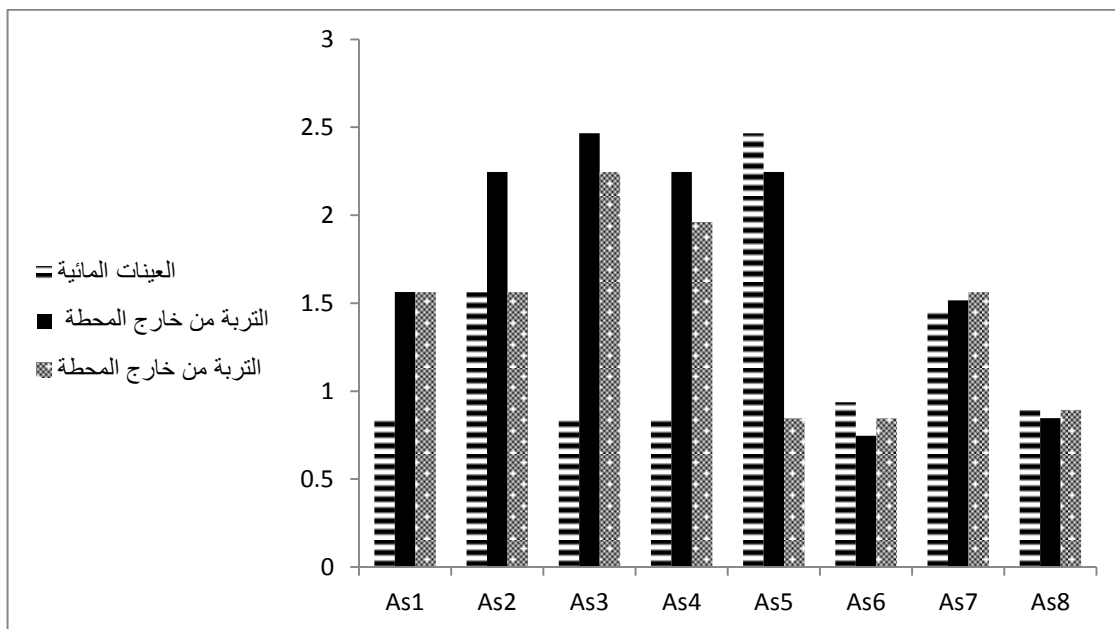
الشكل البياني 3-13 يوضح قيم مؤشر التراكم الجيولوجي لعنصر النحاس للعينات

4-1-7-3 مؤشر التراكم الجيولوجي للرصاص

جدول 14-3 والشكل البياني 3-14 يوضحان قيم التراكم الجيولوجي لعنصر الرصاص للعينات المدروسة والتي تراوحت بين 0.847 - 2.245 في التربة داخل محطات الغسيل ، بينما كانت قيم التراكم خارج المحطات تتراوح بين 0.747 - 2.466 ، وأما قيم التراكم في العينات المائية (As1, As3, As5, As6, As8) حيث أن قيم التراكم الجيولوجي ما بين 0.847 - 2.466 . من القيم المشار أعلاه نلاحظ وجود تلوث منخفض بعنصر الرصاص في التربة داخل المحطات (As5, As6, As8) ونلاحظ وجود تلوث متوسط في باقي عينات التربة داخل المحطة حيث كانت قيمة التراكم الجيولوجي (3-1)، أما في التربة خارج المحطة نلاحظ وجود تلوث منخفض في المحطات (As6, As8) واما باقي المحطات نلاحظ تلوث متوسط في التربة خارج المحطة، ونلاحظ وجود تلوث منخفض في عينات الطبقة المائية في المحطات (As1, As3, As4, As6, As8) ونلاحظ تلوث متواضع في المحطات (As2, As5, As7) وكانت أعلى تلوث 2.466 في التربة خارج المحطة As3 وفي العينة المائية داخل المحطة As5 (Huu, et al ., 2010).

جدول 3-14 يوضح قيم مؤشر التراكم الجيولوجي لعنصر الرصاص في العينات

المحطة	العينات المائية	التربة من خارج المحطة	التربة من داخل المحطة
As1	0.847	1.564	1.564
As2	1.564	2.245	1.564
As3	0.847	2.466	2.245
As4	0.847	2.245	1.962
As5	2.466	2.245	0.847
As6	0.938	0.747	0.847
As7	1.466	1.516	1.564
As8	0.894	0.847	0.894



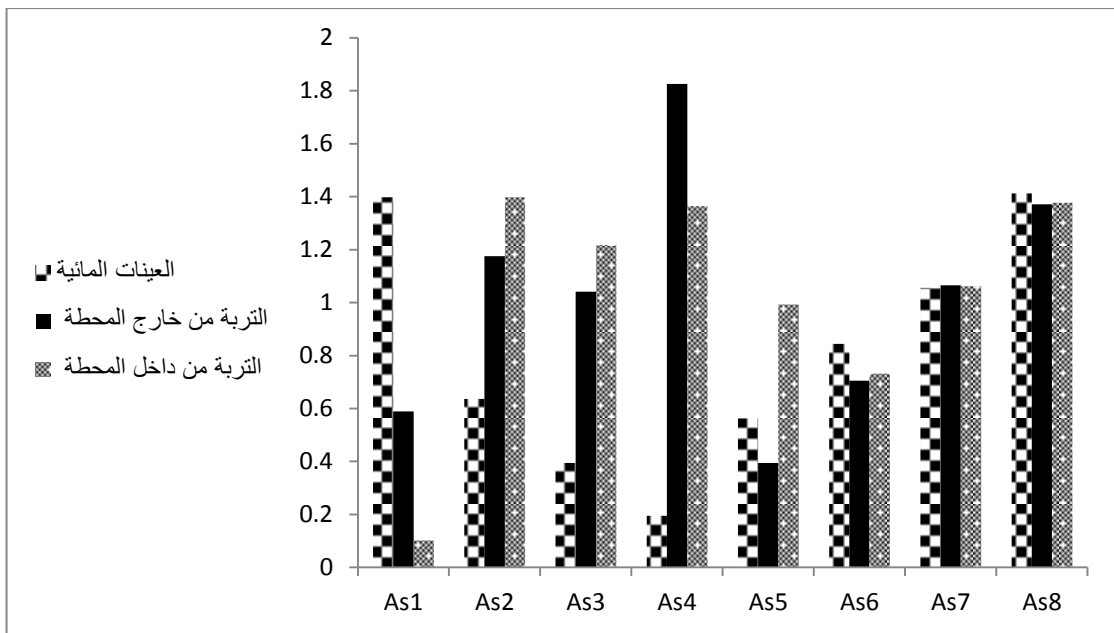
الشكل البياني 3-14 يوضح قيم مؤشر التراكم الجيولوجي للرصاص في العينات

3-7-5 مؤشر التراكم الجيولوجي للحديد

قيم التراكم الجيولوجي لعنصر الحديد في هذه الدراسة والمبنية في الجدول 3-15 وشكل البياني 3-15 ، وترواحت ما بين 0.102 - 1.398 في التربة داخل محطات الغسيل، بينما كانت قيم مؤشر التراكم الجيولوجي خارج المحطات المدروسة تتراوح بين 0.395 - 1.826 ، وكانت قيم التراكم الجيولوجي للعينات المائية تتراوح بين 0.195 - 1.412 . وأتضح من خلال قيم التراكم الجيولوجي وجود تلوث منخفض في التربة داخل المحطات (As1, As5, As6) ونلاحظ تلوث متوسط في المحطات (As2, As3, As4, As7, As8) .اما في التربة خارج المحطة نلاحظ وجود تلوث منخفض في المحطات (As1, As5, As6) ونلاحظ تلوث متوسط في المحطات (As2, As3, As4, As7, As8) ، وفي الطبقة المائية نلاحظ وجود تلوث منخفض في محطات (As2, As3, As4, As5, As6) ونلاحظ تلوث متوسط في عينات الطبقة المائية للمحطات (As1, As7, As8) . وكانت أعلى قيمة لمؤشر التراكم الجيولوجي 1.826 في التربة خارج المحطة As4 وذلك مقارنة مع ما ذكره (Huu, et al ., 2010)

جدول 3-15 يوضح قيم مؤشر التراكم الجيولوجي لعنصر النحاس في العينات

المحطة	العينات المائية	التربة من خارج المحطة	الترابة من داخل المحطة
As1	1.398	0.589	0.102
As2	0.636	1.175	1.398
As3	0.395	1.041	1.216
As4	0.195	1.826	1.364
As5	0.562	0.395	0.993
As6	0.844	0.705	0.732
As7	1.055	1.065	1.062
As8	1.412	1.371	1.377



الشكل البياني 3-15 يوضح قيم مؤشر التراكم الجيولوجي لعنصر النحاس في العينات

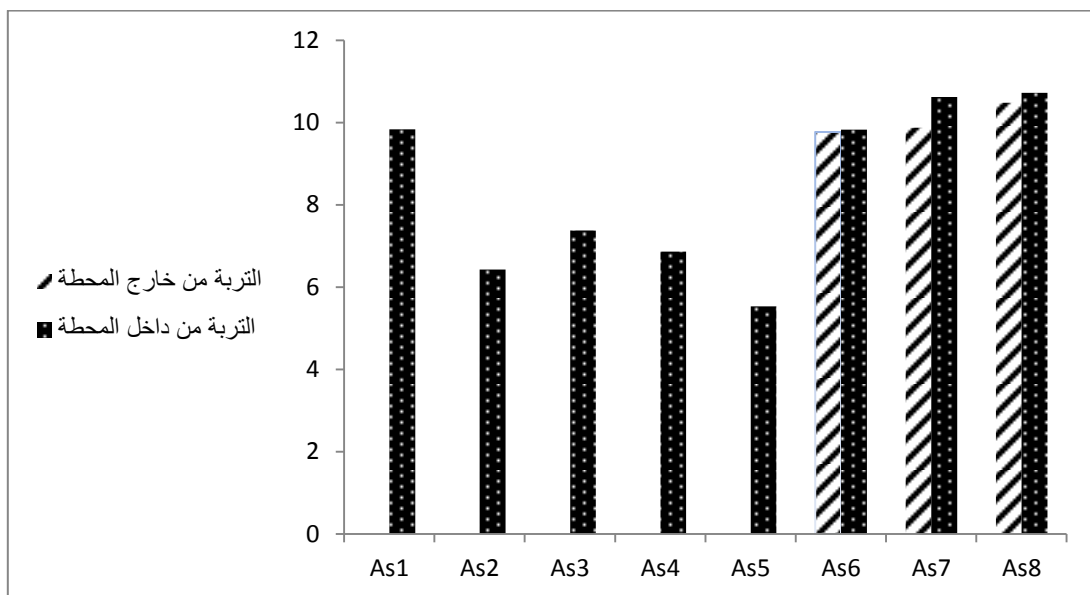
3-6-1-7-3 مؤشر التراكم البيولوجي للهيدروكربونات النفطية

حسب قيم مؤشر التراكم الجيولوجي بالتللوك بالهيدروكربونات النفطية في هذه الدراسة في جدول 3-16 والشكل البياني 3-16 ، تراوحت ما بين 5.529 – 10.72 في عينات داخل محطة الغسيل بينما خارج الدراسة تتراوح بين 9.769 – 10.48.

جدول 3-16 يوضح قيم مؤشر التراكم الجيولوجي الهيدروكربونات الكلية للعينات

المحطة	التربة من داخل المحطة	التربة من خارج المحطة
As1	9.831	-
As2	6.426	-
As3	7.373	-
As4	6.865	-
As5	5.529	-
As6	9.822	9.7686
As7	10.62	9.8739
As8	10.72	10.48

من قيم معامل التراكم الجيولوجي نلاحظ أن نسبة التلوث عالية جداً في البيئة بالهيدروكرbones النفطية في موقع الدراسة حيث أنه في حالة كون قيم التراكم الجيولوجي أعلى من (5) فإنه يدل على وجود تلوث بيئي وأن البيئة ملوثة (Huu, et al ., 2010).



الشكل البياني 3-16 يوضح قيم مؤشر التراكم الجيولوجي الهيدروكرbones الكلية للعينات

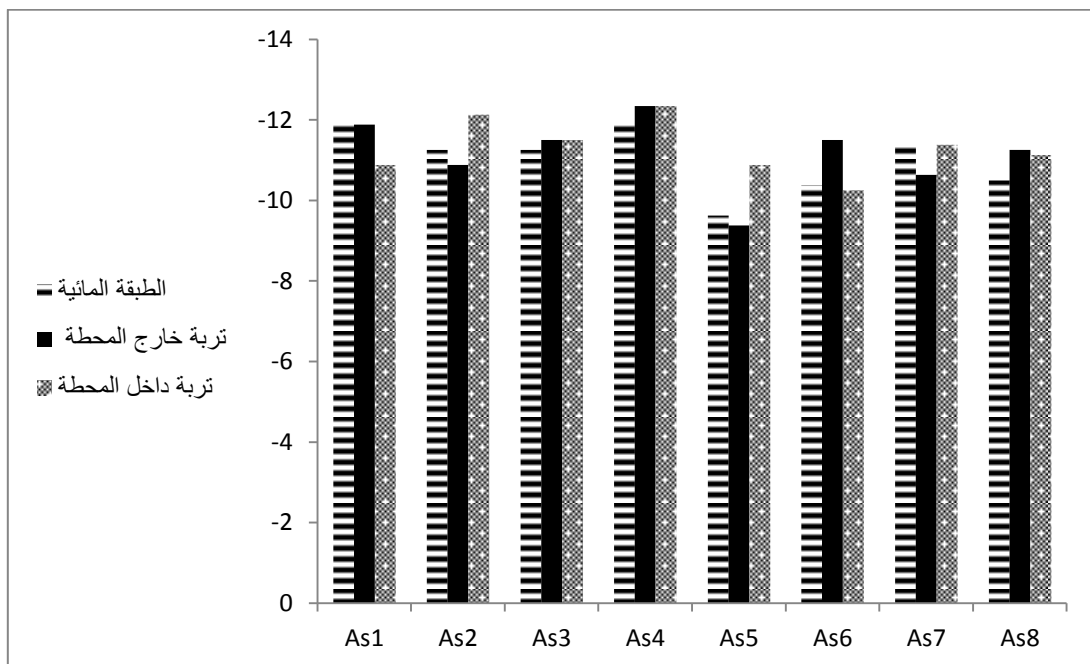
2-7-3 معامل التلوث

1-2-7-3 معامل تلوث الكادميوم

جدول 17-3 والشكل البياني 3-17 يوضحان قيم معامل التلوث لعنصر الكادميوم للعينات المدروسة والتي تراوحت (-12.34) – (-10.25) في التربة داخل محطات الغسيل ، بينما كانت قيم التراكم خارج الدراسة تتراوح بين (-12.34) – (-9.375)، وأما قيم التراكم في العينات المائية (-11.88) – (-9.625) . من القيم المشار أعلاه نلاحظ عدم وجود تلوث بعنصر الكادميوم في موقع الدراسة حيث أن قيم معامل التلوث أقل من الصفر وكانت أعلى قيمة (-9.375) في التربة خارج المحطة . As5

جدول 3-17 يوضح قيم معامل التلوث للكادميوم في العينات

المحطة	الطبقة المائية	تربة خارج المحطة	تربة داخل المحطة
As1	-11.88	-11.88	-10.88
As2	-11.25	-10.88	-12.13
As3	-11.25	-11.5	-11.5
As4	-11.88	-12.34	-12.34
As5	-9.625	-9.375	-10.88
As6	-10.38	-11.5	-10.25
As7	-11.38	-10.63	-11.38
As8	-10.5	-11.25	-11.13



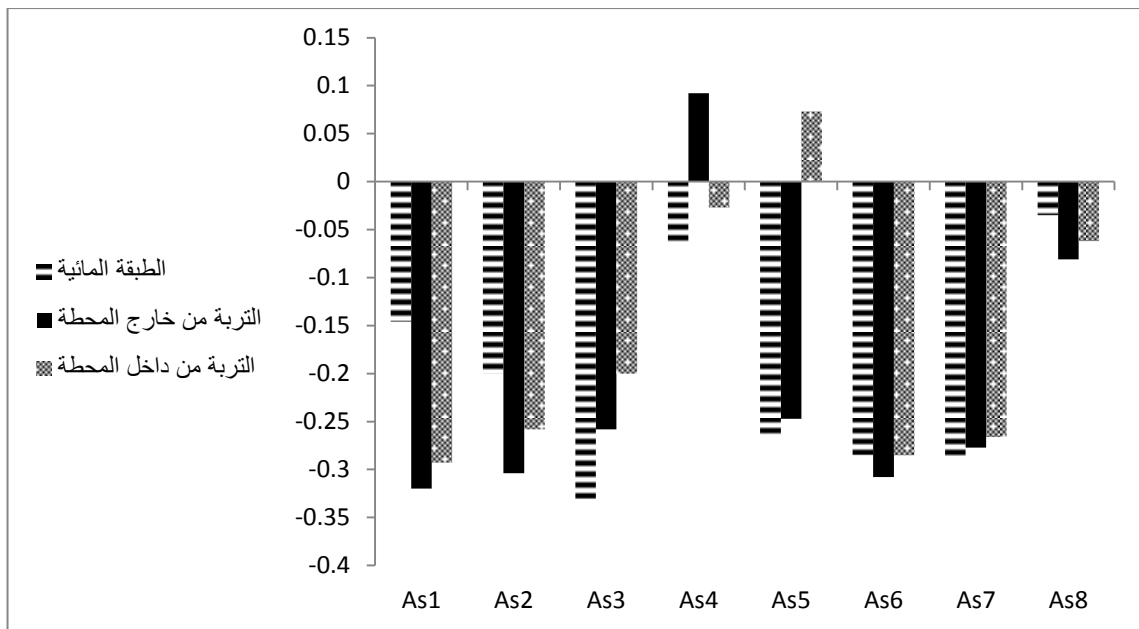
شكل 3-17 يوضح قيم معامل التلوث للكادميوم في العينات

2-7-3 معامل التلوث للزنك

من قيم معامل التلوث لعنصر الزنك في هذه الدراسة والمبنية في الجدول 3-18 والشكل البياني 3-18 ، وترواحت ما بين (-0.293) – 0.073 في التربة داخل محطات الغسيل، بينما كانت قيم مؤشر معامل التلوث خارج المحطات المدروسة تتراوح بين (0.32) – 0.092 ، وكانت قيم معامل التلوث للعينات المائية تتراوح بين (-0.035) – (-0.331) . واتضح من خلال قيم معامل التلوث وجود تلوث منخفض لعينات التربة داخل المحطة As5 وفي التربة خارج المحطة As4، بينما نلاحظ عدم وجود تلوث والبيئة نظيفة في باقي العينات المدروسة. وكانت أعلى قيمة لمؤشر معامل التلوث 0.092 في التربة خارج المحطة As4 .

جدول 3-18 يوضح قيم معامل التلوث للزنك في العينات

المحطة	الطبقة المائية	تربة خارج المحطة	تربة داخل المحطة
As1	-0.146	-0.32	-0.293
As2	-0.2	-0.304	-0.258
As3	-0.331	-0.258	-0.2
As4	-0.066	0.092	-0.027
As5	-0.266	-0.247	0.073
As6	-0.285	-0.308	-0.285
As7	-0.289	-0.277	-0.266
As8	-0.035	-0.081	-0.062



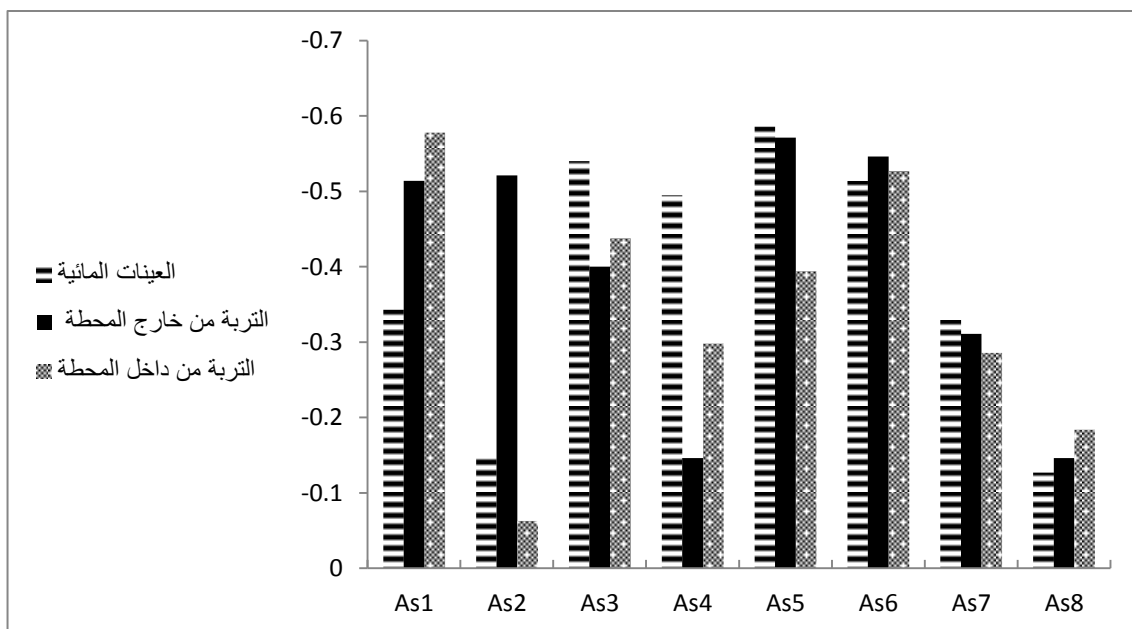
الشكل البياني 3-18 يوضح قيم معامل التلوث للزنك في العينات

3-2-7-3 معامل التلوث للنحاس

من قيم معامل التلوث لعنصر النحاس في الدراسة والمبنية في الجدول 3-18 والشكل البياني 3-18، التي تراوحت ما بين (-0.063) – (-0.578) في التربة داخل محطات الغسيل، بينما كانت قيم معامل التلوث خارج المحطات المدروسة تتراوح بين (-0.146) – (-0.571)، وكانت قيم التراكم الجيولوجي للعينات المائية تتراوح بين (-0.127) – (-0.586). واتضح من خلال قيم معامل التلوث عدم وجود تلوث بعنصر النحاس في موقع الدراسة حيث ان قيمة معامل التلوث أقل من الصفر فإنه يدل على عدم وجود تلوث والبيئة نظيفة.

جدول 3-19 يوضح قيم معامل التلوث للنحاس في العينات

المحطة	الطبقة المائية	تربة خارج المحطة	تربة داخل المحطة
As1	-0.343	-0.514	-0.578
As2	-0.146	-0.521	-0.063
As3	-0.54	-0.4	-0.438
As4	-0.495	-0.146	-0.298
As5	-0.586	-0.571	-0.394
As6	-0.514	-0.546	-0.527
As7	-0.33	-0.311	-0.286
As8	-0.127	-0.146	-0.184



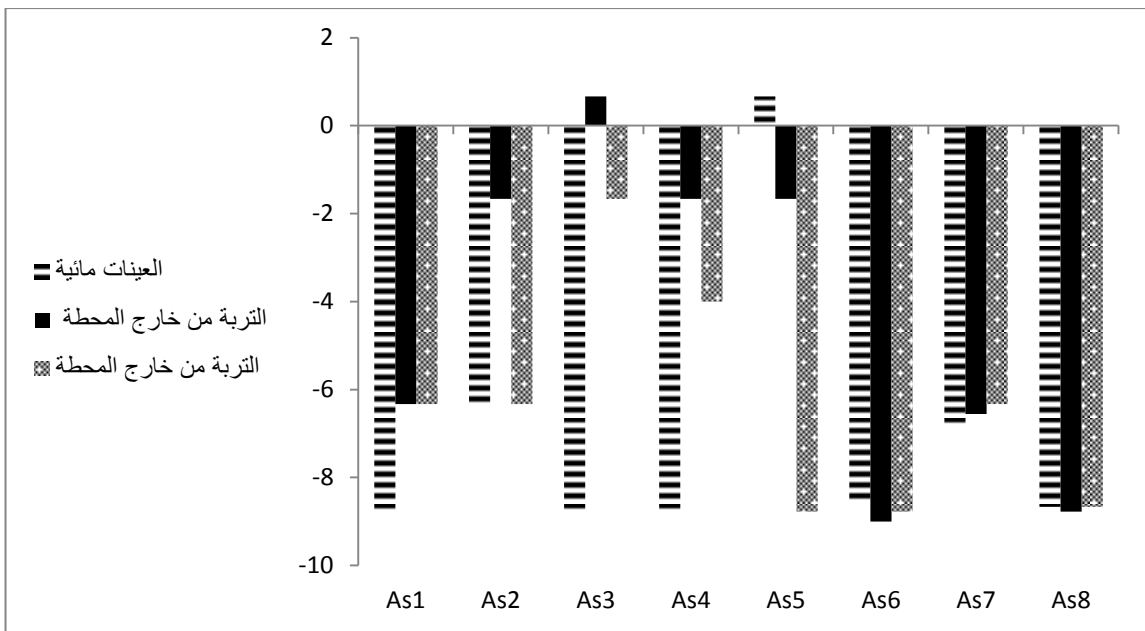
الشكل البياني 3-19 يوضح قيم معامل التلوث للنحاس في العينات المدروسة

4-2-7-3 معامل التلوث للرصاص

جدول 3-20 والشكل البياني 3-20 يوضحان قيم معامل التلوث لعنصر الرصاص العينات المدروسة والتي تراوحت بين (-8.778) - (-1.667) في التربة داخل محطات الغسيل ، بينما كانت قيم المعامل التلوث خارج المحطات تتراوح بين (-9) - 0.667 ، واما قيم المعامل التلوث في العينات المائية (-8.778) - 0.667 . من القيم المشار إليها أعلاه نلاحظ وجود تلوث منخفض بعنصر الرصاص في التربة خارج المحطة As3 وفي الطبقة المائية As5 ، بينما نلاحظ عدم وجود تلوث في باقي عينات المدروسة أقل من الصفر ، وكانت أعلى قيمة تلوث في التربة خارج المحطة As3 في العينة المائية داخل المحطة As5 .

جدول 3-20 يوضح قيم معامل التلوث للرصاص في العينات

المحطة	الطبقة المائية	تربة خارج المحطة	تربة داخل المحطة
As1	-8.778	-6.333	-6.333
As2	-6.333	-1.667	-6.333
As3	-8.778	0.667	-1.667
As4	-8.778	-1.667	-4
As5	0.667	-1.667	-8.778
As6	-8.556	-9	-8.778
As7	-6.778	-6.556	-6.333
As8	-8.667	-8.778	-8.667



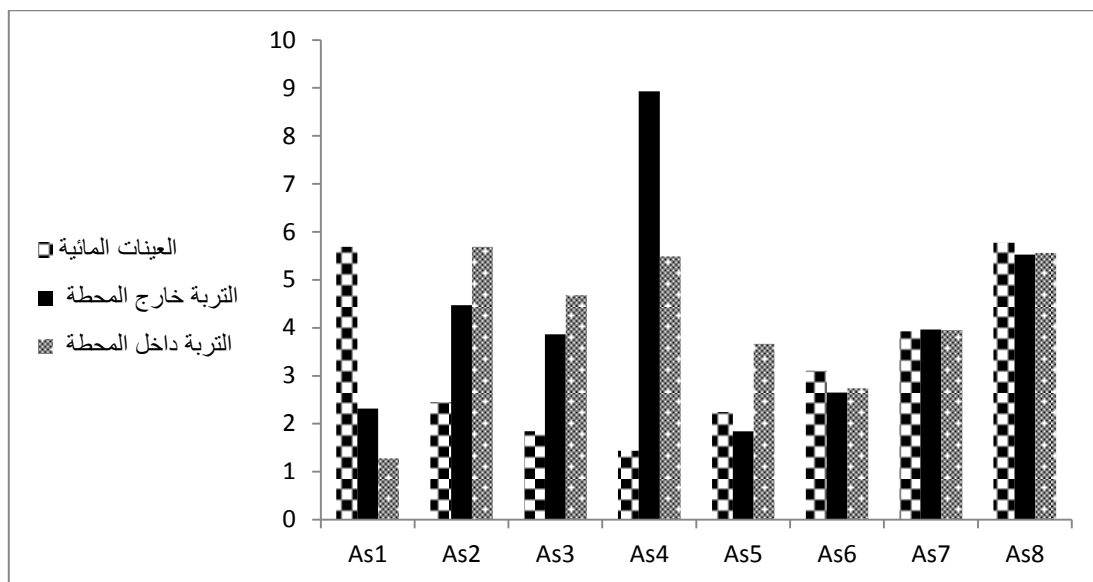
الشكل البياني 3-20 يوضح قيم معامل التلوث للرصاص في العينات

5-2-7-3 معامل التلوث للحديد

من قيم معامل التلوث لعنصر الحديد في هذه الدراسة والمبيبة في الجدول 3-21 والشكل البياني 3-21 ، وترواحت ما بين $1.277 - 5.688$ في التربة داخل محطات الغسيل، بينما كانت قيم مؤشر معامل التلوث خارج المحطات المدروسة تتراوح بين $1.842 - 8.927$ ، وكانت قيم معامل التلوث للعينات المائية تتراوح بين $1.438 - 5.773$. ونلاحظ من خلال قيم معامل التلوث وجود تلوث متوسط لعينات التربة داخل المحطات As1, As6 بينما نلاحظ وجود تلوث عبر في باقي عينات التربة داخل محطات المدروسة، ونلاحظ وجود تلوث متوسط في التربة خارج المحطات As1, As5, As6 ونلاحظ وجود تلوث عالي جدًا في تربة خارج المحطة As4 بينما نلاحظ وجود تلوث عبر في باقي عينات التربة خارج المحطات المدروسة، أما في الطبقة المائية نلاحظ وجود تلوث متوسط في محطات As2, As3, As4, As5 بينما نلاحظ وجود تلوث عبر في باقي عينات الطبقة المائية المدروسة .

جدول 3-21 يوضح قيم معامل التلوث للحديد في العينات

المحطة	العينات المائية	التربة خارج المحطة	التربة داخل المحطة	العينة
As1	5.688	2.319	1.277	
As2	2.45	4.473	5.688	
As3	1.842	3.865	4.677	
As4	1.438	8.927	5.485	
As5	2.246	1.842	3.665	
As6	3.104	2.65	2.735	
As7	3.923	3.965	3.954	
As8	5.773	5.527	5.562	



الشكل البياني 3-21 يوضح قيم معامل التلوث للحديد في العينات

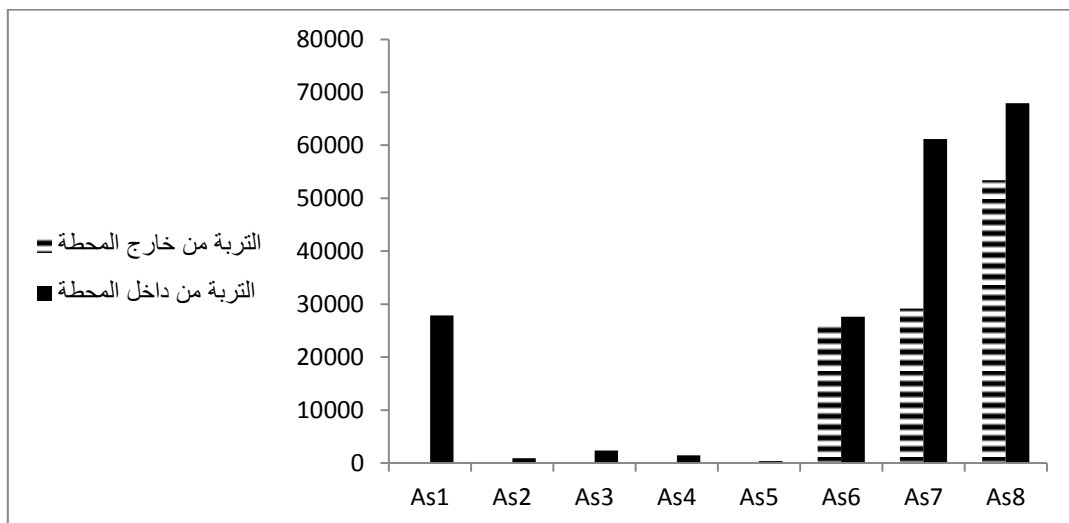
6-7-2-6 معامل التلوث للهيدروكربونات النفطية

حسب قيم معامل التلوث للهيدروكربونات النفطية في هذه الدراسة في جدول 22-3 والشكل البياني 22 ، تراوحت ما بين 376.7 - 67960 في عينات داخل محطة الغسيل بينما خارج المحطات تتراوح بين 26213 - 53397 ، ومن قيم المشار إليها أعلاه نلاحظ وجود تلوث عالي جداً في جميع عينات المحطات المدروسة.

جدول 22 يوضح قيم معامل التلوث للهيدروكربونات النفطية في العينات

المحطة	الترة من داخل المحطة	الترة من خارج المحطة
As1	-	27902
As2	-	925.2
As3	-	2388
As4	-	1436
As5	-	376.7
As6	26213	27656
As7	29125	61164
As8	53397	67960

- لم يتم دراستها



الشكل البياني 22 يوضح قيم معامل التلوث للهيدروكربونات النفطية في العينات المدروسة

3-7-3 درجة التلوث

الجدول 3-23 يوضح قيم درجة التلوث لمحطات الدراسة في العينات المدروسة داخل وخارج المحطة والطبقة المائية، نلاحظ عدم وجود تلوث في محطات الدراسة حيث قيم درجة التلوث أقل من الصفر مما يدل على أن البيئة نظيفة

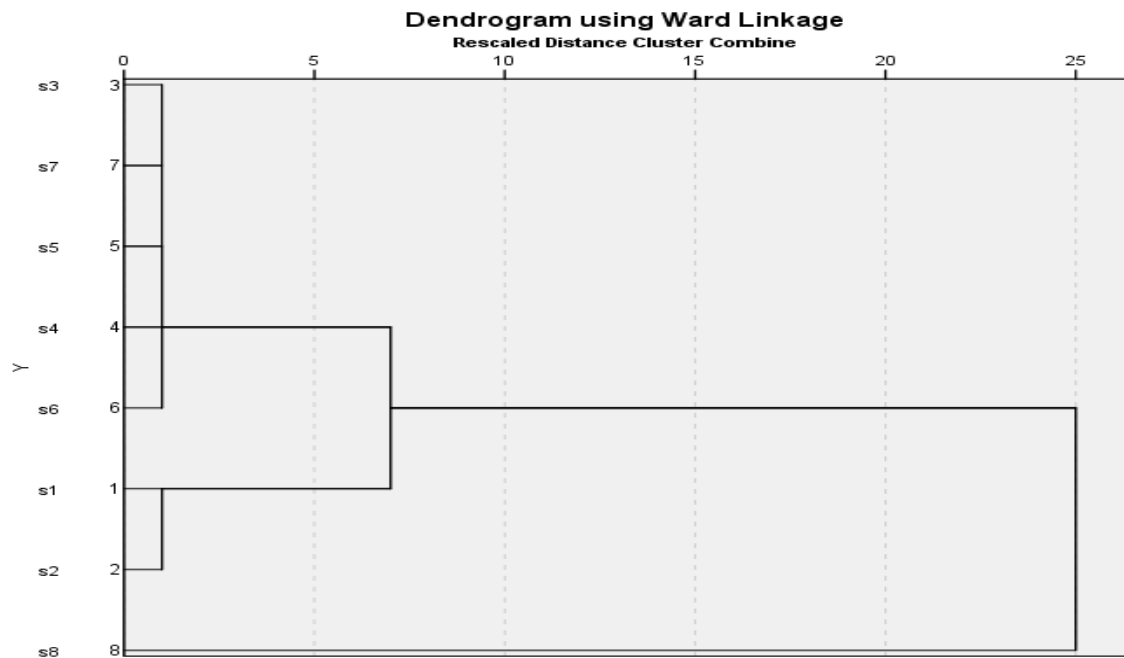
جدول 3-23 يوضح قيم درجة التلوث في العينات المدروسة

داخل المحطة	خارج المحطة	طبقة المائية	
-16.81	-16.73	-15.46	As1
-13.1	-8.899	-15.48	As2
-9.128	-7.626	-19.06	As3
-11.18	-5.134	-19.78	As4
-16.31	-10.02	-7.564	As5
-17.11	-18.7	-16.63	As6
-14.31	-13.81	-14.85	As7
-14.48	-14.73	-13.56	As8

4-7-3 معامل الارتباط العنقودي

1-4-7-3 التربة من داخل المحطة

الشكل 3-23 يوضح الوصف الشجري لطريقة الربط بين التربة من داخل المحطات، حيث نلاحظ ارتباط في التلوث بين المحطات As3, As4, As5, As6, As7 لتشكل هذه المصادر العنقود الأول، وارتبطت المحطات As1, As2 وهي تشكل العنقود الثاني، وارتبط العنقود الأول والثاني في مستوى التحام أعلى لتشكل العنقود الثالث، والتحقق في الخطوة الأخيرة المحطة As8 بالعنقود الثالث بمستوى التحام عالي جدًا لترتبط جميع عينات التربة من داخل المحطات في الوصف الشجري.

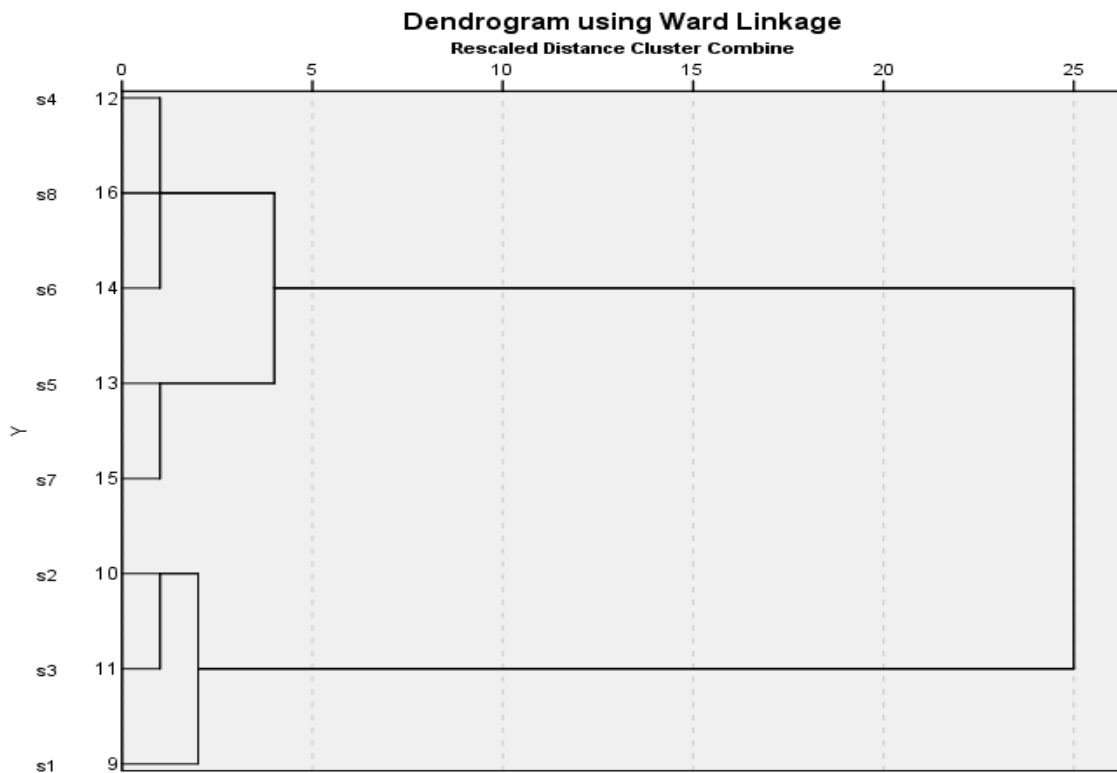


الشكل 3-23 يبين الوصف الشجري لطريقة الربط المنفرد للترابة من داخل محطات الدراسة

ومن خلال قيم مصفوفة الارتباط نلاحظ أن أعلى قيمة لمعامل الارتباط في المصفوفة 0.856^{*} ارتباط طردي قوي وكانت بين العنصرين النحاس وال الحديد، أما القيمة الثانية الأعلى لمعامل ارتباط فقد بلغت 0.549 وهو ارتباط طردي متوسط بين العنصر النحاس والمحتوى الرطوبة، بينما أقل معامل ارتباط -0.724^{*} ارتباط عكسي قوي بين عنصرين الحديد والكادميوم.

2-4-7-3 التربة خارج المحطات

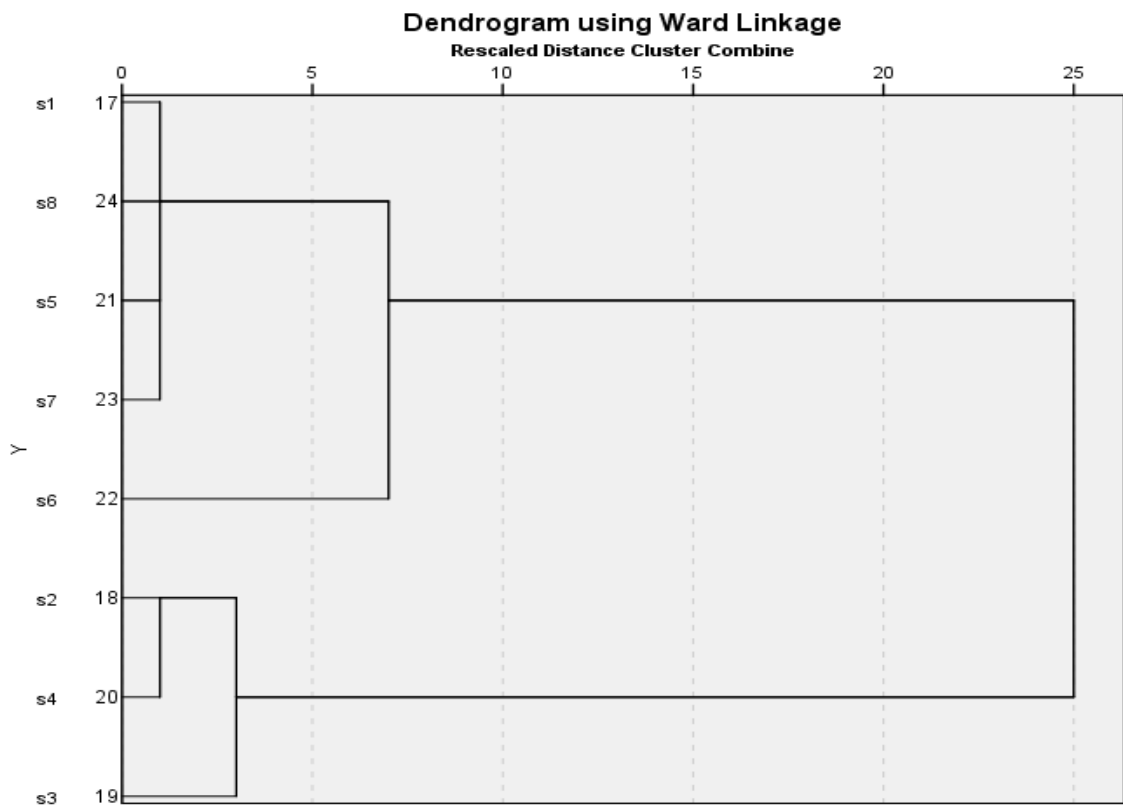
الشكل 3-24 يوضح الوصف الشجري لطريقة الربط بين التربة من خارج المحطة، نلاحظ ارتباط في التلوث بين المحطات As4, As6 As8 ولتشكل هذه المصادر العنقود الأول، وارتبطة المحطات As2, As3 ولتشكل هذه المصادر العنقود الثاني، وارتبطة المحطة As1 بالعنقود الثالث بمستوى التحام أعلى لتشكل العنقود الرابع، وارتبط العنقود الأول بالثاني لتشكل العنقود الخامس، وفي الخطوة الأخيرة ارتبط العنقود الرابع والخامس في مستوى التحام عالي جدًا لترتبط جميع عينات التربة من خارج المحطة في الوصف الشجري.



الشكل 3-24 يبين الوصف الشجري لطريقة الربط المنفرد للتربة من خارج محطات الدراسة

من قيم التحليل العنقودي للتربة من خارج المحطة، كانت أعلى قيمة لمعامل الارتباط في المصفوفة ** 0.894 ارتباط طردي قوي وكانت بين العنصرين الزنك والحديد، أما القيمة الثانية الأعلى معامل ارتباط فقد بلغت ** 0.839 وهو ارتباط طردي قوي بين العنصرين النحاس وال الحديد، وكان معامل ارتباط النحاس والزنك ارتباط طردي قوي ** 0.834، بينما أقل معامل ارتباط 0.649- ارتباط عكسي متوسط بين الرقم الهيدروجيني و الموصلية الكهربائية.

3-4-7-3 العينات المائية داخل المحطة



الشكل 3-25 يبين الوصف الشجري لطريقة الربط المنفرد للطبقة المائية من داخل محطات

الشكل 3-25 يوضح الوصف الشجري لطريقة الربط بين الطبقة المائية من داخل المحطة، نلاحظ ارتباط في التلوث بين المحطات As1, As5, As7, As8 لتشكل هذه المصادر العنقود الأول، والتحقت المحطة As6 بالعنقود الأول لتشكل العنقود الثاني، وارتبطت المحطات As2، وهي تشكّل العنقود الثالث، والتحقت المحطة As3 بالعنقود الثالث لتشكل العنقود الرابع، وفي الخطوة الأخيرة ارتبطت العنقود الثالث والرابع في مستوى التحام عالي جدًا لترتبط جميع عينات الطبقة المائية من داخل المحطة في الوصف الشجري.

من قيم التحليل العنقودي للطبقة المائية من داخل المحطة، كانت أعلى قيمة لمعامل الارتباط في المصفوفة 0.673 ارتباط طردي متوسط وكانت بين العنصرين الكادميوم والرصاص، أما القيمة الثانية الأعلى معامل ارتباط فقد بلغت 0.593 وهو ارتباط طردي متوسط بين العنصرين النحاس

والحديد، بينما أقل معامل ارتباط *0.817-. ارتباط عكسي قوي بين الرقم الهيدروجيني والكلادميوم، *0.779-. ارتباط عكسي قوي بين الرقم الهيدروجيني و الرصاص.

4 التوصيات

من خلال نتائج التي تم التوصل إليها في هذه الدراسة فهناك مجموعة من التوصيات يمكن تلخيصها في النقاط التالية :-

1. مراقبة ومتابعة المحطات وإلزام أصحاب هذه المحطات باتباع الطرق الصحيحة للتخلص من مخلفات المحطات .
2. وضع محطات غسيل السيارات ضمن إطار إداري خاضع للمراقبة والتقييس .
3. تفنين ودعم محطات غسيل وتشحيم السيارات للتخلص من المخلفات السائلة والصلبة الناتجة عن نشاطها وإقامة وحدات بمحطات الغسيل لغرض فصل الزيوت عن المياه .
4. ضرورة معالجة التربة الملوثة بالمشتقات النفطية الواقعة بجوار محطات الغسيل والمساحة القريبة واستخدام التقنيات الحديثة في المعالجة .
5. استخدام أنواع المنظفات القابلة للتحلل البيولوجي والاهتمام بهذه المشكلة من خلال المزيد من البحث والدراسة .
6. غسل المركبات داخل حجرات مغلقة وذلك لمنع انتشار الملوثات في الهواء والمناطق المحيطة .
7. المراقبة الدورية لبار المياه الجوفية قريبة من المحطات الغسيل و الوقود لمراقبة التلوث مع الالتزام بالمواصفات المعتمدة من الجهة المختصة .
8. الأخذ في الاعتبار عند إنشاء المحطات البعد البيئي والصحي لموقع المحطة .

المراجع

أولاً المراجع العربية

- 1 إبراهيم، ه. و. (2007) دراسة مدى تلوث المياه الجوفية بالنفط بمنطقة الكوييفية، رسالة ماجستير أكاديمية الدراسات العليا فرع بنغازىي، 6-9.
- 2 أحمد، ح. ف. (1996) هندسة البيئة، الطبعة الأولى منورات جامعة عمر المختار البيضاء- ليبيا 427-445-446.
- 3 أرناؤوط، م. ا. (1999) الإنسان وتلوث البيئة، منشورات دار المصرية اللبنانية، الطبعة الرابعة، القاهرة، 17-30.
- 4 إسلام، أ. م. (2001) "التلوث الكيميائي وكيمياء التلوث"، الطبعة الأولى مشورات دار الفكر العربي مصر.
- 5 إسلام، أ.م. وعمارة، م.م.، (2006). كيمياء البيئة (تطبيقات أساس فروع الكيمياء على ملوثات الهواء والماء والتربة)، منشورات دار الفكر العربي القاهرة، الطبعة الأولى: 216، 309-395.
- 6 اشتبيوي، م. ا. (2006) دراسة مستويات بعض العناصر المعدنية في تربة ومياه منطقة ترهونة، رسالة ماجستير جامعة المرقب كلية الآداب والعلوم ترهونة.
- 7 الاوسي، و. ص. وعليوي، ا. ع. (2015) "امتزاز وتحرر الرصاص والكادميوم في الترب الكلسية المعاملة بزيوت المحركات المستعملة"، مجلة القادسية للعلوم الزراعية بغداد. 1(5):16-1.
- 8 الباروني، س. والراجحي، ع. (1997) "الإمكانيات المائية في الجزء الشمالي الغربي في سهل الجفار" الهيئة العامة لشؤون المياه طرابلس - ليبيا.

- 9- البياض، م. (2006) "أثر مخلفات السائلة والصلبة لمحطات غسيل وتشحيم واستبدال زيوت السيارات في طرابلس على المياه الجوفية"، رسالة ماجستير أكاديمية الدراسات العليا طرابلس.
- 10- الترهوني، ا. ع. (2013) تلوث التربة بالمخلفات السائلة الناتجة من محطات غسيل السيارات بمنطقة الزاوية، رسالة ماجستير أكاديمية الدراسات العليا طرابلس، 2-13.
- 11- الحداد، ه. أ. (2004) "مستوى التلوث بالمعادن الثقيلة والمركبات الهيدروكرbone في التربة القاع بساحل مدينة بنغازي"، رسالة ماجستير في علوم البيئة، أكاديمية الدراسات العليا بنغازي.
- 12- الخطيب، ا. ا. (1998) " الكيمياء البيئية للأراضي" ، الطبعة الاولى دار النشر منشأة المعارف الإسكندرية مصر.
- 13- السعدي، ح. ع. (2006) " أساسيات علم البيئة والتلوث" ، منشورات دار اليازوري العلمية للنشر والتوزيع عمان الأردن، 370-376 .
- 14- السيد، ج. ع. (2000) الملوثات الكيميائية للبيئة، كتاب الطبعة الأولى. كلية العلوم بنها. دار الفجر للنشر والتوزيع.
- 15- السيد، ج. ع. (2002) الملوثات الكيميائية للبيئة، كتاب الطبعة الثانية. كلية العلوم بنها. دار الفجر للنشر والتوزيع.
- 16- الشائب، ا. ا. (2008) "دراسة معملية للملوثات النفطية والخواص الهيدروليكيه للتربة بمنطقة الحشان" ، رسالة ماجستير رسالة ماجستير أكاديمية الدراسات العليا طرابلس.
- 17- بوران، ع. ح. وابودية، م. ح. (2000) "علم البيئة" ، الطبعة الثانية الأردن، دار الشرق للنشر والتوزيع.
- 18- العاقل، ص. م. (1990) " تلوث البيئة الطبيعية" ، الطبعة الأولى منشورات الجامعة المفتوحة طرابلس.

- 19- العساوي، ا. م. (1998) تقييم بعض الخصائص الفيزيائية والكيميائية لمياه الشرب متعددة المصادر بمدينة مصراتة، رسالة ماجستير كلية العلوم جامعة مصراتة.
- 20- العمر، م. ع. (2000) "التلوث البيئي"، الطبعة الأولى دار وائل للنشر عمان الأردن.
- 21- الغضبان، ع. ماجد، و. ن. (2000) التلوث البيئي، دار النشر عمان-الأردن، الطبعة الثانية.
- 22- الغضبان، ع. والماجد، ن. (2000). "الخصائص البيئية والتلوث البحري في المنطقة البحريّة"، الطبعة الأولى، الناشر المنظمة الإقليمية لحماية البيئة البحريّة - الكويت.
- 23- القمحاوي، م. (1998) التلوث البيئي وسبل مواجهاته، الملتقى المصري للإبداع والتنمية.
- 24- المحishi، ع. م. والأعظمي، ح. (2002) "المدخل إلى علوم البيئة والأنواع الجوية"، منشورات الهيئة العامة للبيئة طرابلس.
- 25- المنيري، س. وحافظ، ع. (1997) "المياه العذبة"، الطبعة الأولى الدار العربية للنشر والتوزيع القاهرة .
- 26- الهنشيري، ع. البغدادي، م. عبدالحميد، ه. والجوشي، س. (2008) "محاكاة حسابية لديناميكا السوائل"، الدورة العاشرة لمؤتمر ومعرض البحر المتوسط للنفط طرابلس.
- 27- الوطيفي، ص. س. حسون، ا. م. المعموري، ز. ن. (2015) دراسة بعض العناصر الثقيلة وظاهر الكلورة في تربة ملوثة بالمخلفات النفطية، مجلة الفرات للعلوم الزراعية، 7(3)، 209-202.(2015)
- 28- حماد، س. ع. والغمري، أ. م. (2005) "البيئة والتلوث"، كتاب جامعة المنصورة كلية الزراعة، الطبعة الأولى المكتبة العصرية للنشر المنصورة.
- 29- حمودة، ف. أ. (2006) "استخدام المؤشرات البيئية في تقييم جودة الساحل الليبي ومدى تلوثه بالنفط"، رسالة ماجستير أكاديمية الدراسات العليا بنغازي .

- 30- حواس، ع. م. (2006) "دراسة ميدانية لتلوث التربة وبعض النباتات بالعناصر الثقيلة في ضواحي مدينة الخمس"، رسالة ماجستير جامعة المرقب كلية الآداب والعلوم الخمس .
- 31- خويدم، أ. ح. الأنصاري، ح. ر. والبصام، خ. ص. (2009) " دراسة توزيع بعض العناصر الثقيلة في تربة مدينة البصر" ، المجلة العراقية للعلوم: 50(4). 533-542.
- 32- صابر، م. أ. حسن، م. ب. ومصطفى، م. م. (ترجمة) (1996) "المختصر الجديد في الكيمياء غير العضوية" تأليف (J. D. Lee) ، الطبعة الثالثة مشورات جامعة سبها ليبا.
- 33- عابد، ع. وسفارiti، غ. (2004) "أساسيات علم البيئة" ، دار وائل للطباعة والنشر عمانالأردن. 264 .
- 34- عامر، م. أ. (2003) "تلوث البيئة مشكلة العصر" الطبعة الثانية دار الكتاب الحديث للنشر القاهرة مصر.
- 35- عباس، م. ع. (2004) "حماية البيئة من التلوث" الطبعة الاولى دار الوفاء لدنيا الطباعة والنشر الإسكندرية مصر.
- 36- علي، ل. ح. والدبوسي ، ع. ع. (1986) النفط المنشأ والتركيب والتكنولوجيا العرق، جامعة الموصل.
- 37- عليان، ع. الحصادي، ع. والأشهب، ف. ش. (1994) "كيمياء وفيزياء الملوثات البيئية مع طرق الكشف عنها وتأثيراتها البيوطبية" ، منشورات جامعة قاريوونس بنغازي.
- 38- عوين، ع. م. (2009) "دراسة تلوث المياه الجوفية بالمشقات النفطية بتوظيف تقنية الاستشعار عن بعد ونظم المعلومات الجغرافية في مدينة طرابلس" ، رسالة ماجستير أكاديمية الدراسات العليا طرابلس . 10-8 .
- 39- غينم، ا. م. (2008) مستوى بعض العناصر الثقيلة في التربة وبعض الخضروات الدرنية المنتجة من مزارع قصر بن غشier، رسالة ماجستير اكاديمية الدراسات العليا.

- 40- قادر بوه، م. م. (2008) مستويات الرصاص والخارصين والكادميوم في التربة وغبار جانب الطريق بمدينة بنغازي، رسالة ماجستير أكاديمية الدراسات العليا فرع بنغازي.
- 41- قسم التحاليل العضوية بالمخابر المركزي، (2001) "دراسة عن رصد التلوث بالهيدروكربونات النفطية"، تقرير مقدم من قبل القسم عمان.
- 42- مساعدة، ع. (1997) "كيمياء التلوث البيئي"، منشورات المعهد الدبلوماسي الأردني.
- 43- مصباح، ع. (2006) "دراسة تلوث التربة السطحية والمياه الجوفية بالمشتقات النفطية وبعض العناصر الثقيلة بمنطقة قرقوزة، رسالة ماجستير أكاديمية الدراسات العليا طرابلس .
- 44- معروف، ع. ع. (2013) "تحديد درجة تلوث بالشواطئ الممتدة من بشر إلى مدينة البريقة بتطبيق مؤشر حمل التلوث في التربة البحرية"، رسالة ماجستير جامعة مصراتة كلية العلوم.
- 45- ملحم، م. وكيل، م. (2004) دراسة تلوث التربة بالمواد الهيدروكرbone، مجلة جامعة دمشق للعلوم الهندسية -20(2). 71-80.
- 46- موسى، ع. ح. (2000) "التلوث البيئي"، الطبعة الأولى سوريا، دار الفكر للنشر.
- 47- ناصر، ع. م. (2005) مستويات الهيدروكربونات النفطية في مياه ورواسب المياه الإقليمية العراقية، مجلة أبحاث البصرة: 31(2). 36-42.
- 48- نسيم، م. ج. (2003) "طرق تحليل الأرضي"، الطبعة الأولى منشأة المعارف الاسكندرية للنشر.

ثانياً المراجع الأجنبية

- 49- Abagale, F. K. Sarpong, D. A. Ojediran, J. O. Osei-Agyemang ,R. Shaibu, A. G. and Birteeb, P. T. (2013) " Heavy Metal Concentration in Wastewater From Car Washing Bays Used for Agriculture in the Tamale Metropolis, GHANA ", *International Journal of Current Research* Vol. 5(6).1571-1576.
- 50- Adewuyi1, G.O. ang Olowu, R. A.(2012) "Assessment of oil and grease, total petroleum hydrocarbons and Some heavy metals in surface and groundwater within the vicinity of nnpc oil depot in Apata, Ibadan Metropolis, NigeriaI. *International Journal of Research and Reviews in Applied Sciences.* 13(1).
- 51- Afif, S. M. (2004) "Petroleum hydrocarbon contamination of ground water in Suez: Cause severe fire risk ". Civil Engineering Department, Colorado State University. Hydrology Days.
- 52- Ahdy, H. and Khaled, A. (2006) " Heavy Metals Contamination in Sediments of the Western Part of Egyptian Mediterranean Sea", *Australian Journal of Basic and applied Sciences*, 3(4), 3330- 3336.
- 53- Alinnor, I. J. and Nwachukwu, M. A. (2013) "Determination of total petroleum hydrocarbon in soil and groundwater samples

- in some communities in Rivers State, Nigeria". *Journal of Environmental Chemistry and Ecotoxicology*. 5(11). 292-297.
- 54- Andreu, V. Garcia, E. G. (1996) "Total content and extractale of cadmium, cobalt, copper, nickel, zinc in calcareous orchard soil", *Valencia – Spain. Soil sci plant anal*, 27(13and14), 2633-2648.
- 55- BAT, L. Sezgin, M. Gundogdu, A. and Culha, M. (1988) "Toxicity of zinc, copper and lead to Idotea Baltica" (Crustacea, Isopoda), Turkey. *Journal of biology*, 23, 465-472.
- 56- Canli, M. and Furness, R.W. (1993)" Toxicity of heavy Metals dissolved in sea water and influences of sex and size on metal accumulation and tissue distribution in the Norway lobster Nephrops norvegicus". *Marine Environmental Research.*, 36,217-236.
- 57- Chan, H. M. Trifonopoulos, M. Receveur, O. and Johnson, E. (1999) "Consumption of fresh water fish in Kahnawake: Risk and benefits". *Environmental Research*.80, 213-222.
- 58- Corns, W.I. and Stockwell, P.B. (1996) "The Advantages of Atomic Fluorescence For the Measurement of Mercury Levels in Environmental samples" International Laboratory News, 8.
- 59- Cortes, O. E. Barbosa, L. A. and Kiperstok, A. (2003) "Biological treatment of industrial liquid effluent in copper

- production industry", *Tecbahia Revista Baiana de Teconologia*, 18(1). 89-99.
- 60- Devkota, B. and Schmidit, G. H. (2000) "Accumulation of heavy metals in food plants and grasshoppers from the taigetos mountains, Greece", *Agriculture, Ecosystems and environment*, 78(1). 85-91.
- 61- Duruibe, J. O. Ogwuegbu, J. O. and Egwurugwu, J. N. (2007) "Heavy metal pollution and human biotoxic effects", *International journal physical sciences*. 2(5), 112-118.
- 62- Eaton, A.D. Clesceri, L.S. Rice, E.W. and Greenberg, A.E. (2005) "Standard Methods for the Examination of water and waste water", 21st Edition (2005), Centennial Edition, Copyright 2005 by, American Public Health Association, American water Work Association and water Environment federation.
- 63- Emmanuel, A. Cobbina. S. J. Adomako, D. Duwiejuah, A. B. and Asare, W. (2014) "Assessment of heavy metals concentration in soils around oil filling and service stations in the tamale metropolis", Ghana. *African Journal of Environmental Science and Technology*. 8(4), 256-266.
- 64- Emmanuel, O. Godson R. E. E. And Elizabeth, O. (2016) "Assessment of Soil Contamination with Monocyclic Aromatic Hydrocarbons and Heavy Metals in Residential Areas Sited

- Close to Fuel Filling Stations in Ibadan Metropolis", *Journal of Environment Pollution and Human Health*, Vol. 4, No. 3, 60-65.
- 65- Harayam, S. Kishira, H. Kasai, Y. and Shutsubo, K.(1999) "Petroleum biodegradation in marine environments", *journal molec microbial Biotechnol.* 1(1): 63-70.
- 66- Hawkes, J. S. (1997) Heavy metals, *Journal Chemical Education.*, 74(11), 1374.
- 67- Heslop,R. B. and Jones, K.(1976) "Inorganic chemistry a guide to advanced study", Copyright by Elsevier scientific publishing company, Amsterdam.
- 68- Imeh, J and Ekpo, C. (2012) "Determination of Total Hydrocarbon Content in Soil after Petroleum Spillage" Proceedings of the World Congress on Engineering London, U.K. Vol 3. 4-6.
Journal Environmental Sciences and engineering. (48)183-188.
- 69- Khan, A. B. Kathi, S. (2014) "Evaluation of heavy metal and total petroleum hydrocarbon contamination of roadside surface soil", *International Journal Environmental Sciences. Technol.* (11). 2259–2270

- 70- LaGoy PK, Quirk TCE, (1994), establishing generic remediation goals for the polycyclic aromatic hydrocarbons, Environ Health Perspect. 1;102(4):348-52.
- 71- Lokeshwari, H. and Chandrappa,G. H. (2006) "Heavy metals content in water hyacinth and sediments of Lalbagh tank, Bangalore Indian".
- 72- Masoudi, S. N. Sepanlou, S. N. Bahmanyar, M. A.(2012) "Distribution of lead, cadmium, copper and zinc in roadside soil of Sari-Ghaemshahr road, Iran", African Journal Agricultural Research., 7, pp. 98-204.
- 73- Miroslav, R. and Vladimir, .N. B. (1999) "Practical environmental analysis", the royal society of chemistry, UK.
- 74- Navarro, M. C. Perez Sirvent, C. Martinez Sanchez, M. J. Vidal, J. Tovar, M. C. and Bech, J. (2008) "Abandoned mine sites as a source of contamination by heavy metals", A case study in a semi-arid zone, journal of geochemical exploration, 96(2-3), 183-193.
- 75- Neff, J. M. (1979) "Polyclinic aromatic hydrocarbons in aquatic environment, Source and biological effects". Applied science publisher London.
- 76- Ololade, I. A. (2014) "An Assessment of Heavy-Metal Contamination in Soils within Auto-Mechanic Workshops

Using Enrichment and Contamination Factors with
Geoaccumulation Indexes", *Journal of Environmental
Protection*, 5 .972-980.

- 77- Pavelcy, F. C. and Davies, E. B. (1988) "Comparison of results obtained by X-Ray fluorescence of the total soil and the atomic absorption spectrometry assay of an acid digest in the routine determination of lead and zinc in soils", *Communications in soil science and plant analysis*, 19(1), 107-116.
- 78- Readman, J. W. Fowler, S. W. Villeneuve, J. P. Cattini, C. Oregioni, B. and Mee, L. D. (1992) "Oil combustion- Product contamination of the gulf marine environment following the war", *Nature*, 358,662-665.
- 79- Sanayei, Y. Ismail, N. and Talebi, M.S. (2009)
"Determination of heavy metals in Zayandeh Rood River",
Isfahan-Iran, *World Applied Sciences Journal*, 6(9), 1209-1214.
- 80- Skrbic, B. Jovica , N. and Mijevic, N. (2002) "Mobility of heavy metals originating from bombing of industrial sites", *Journal of environmental science and health, part A*, 37(1), 7-16.

- 81- Spittler, T. M. and Feder W. A. (1979) "A study of soil contamination and plant lead uptake in Boston urban gardens"
Journal Communications in Soil Science and Plant Analysis, 10(9), 1195-1210.
- 82- Sun, J. H. Wang, G. L. Chai, Y. and Li. J. (2008) "Distribution of polycyclic aromatic hydrocarbons in Henan reach of the yellow river, middle China". *Ecotoxicology and Environmental safety Journal*. 72(5), 1614-1624.
- 83- Tokalioglu, S. and Kartal, S. (2003) "Relationship between vegetable, metal and soil extractable metal contents by the BCR sequential extraction procedure: chemometrical interpretation of data", *International Journal of Environmental Analytical Chemistry*.83(11), 935-952
- 84- Tüzen, M. (2003) " Determination of heavy metals in fish samples of the Middam Lakee Black Sea (Turkey) by graphite furnace Atomic Absorption spectrometry", *Food Chemistry*, 80, 119-123.
- 85- Ukpebor, J.E. Ndiokwere, C.L. and Ukpebor, E.E. (2005) "The use of heavy metals loads as an indicator of suitability of Lkpoba River for domestic and consumption purposes".
Chemical Technology Journal. 1, 108-115.

- 86- United States Environmental Protection Agency,(US EPA),
(1999), Office of research and Development, washington.
- 87- Wang, W. Smanich, S. L. M, Xue, M. Zhao, J. Zhang, N.
Wang, R. Cao, J. Tao, S.(2010) "Concentrations, sources and
spatial distribution of Polycyclic aromatic hydrocarbons in
soils of Beijing, Tianjin and Surrounding areas, North china",
Environmental Pollution, 158, 1245– 1251.
- 88- Warmate, A. G. T. Ideriah, A. G. Tamunobereton, I. T.
Udonam Inyang, U. E. and Ibaraye, T. (2011) "Concentrations
of heavy metals in soil and water receiving used engine oil in
Port Harcourt, Nigeria". *Journal of Ecology and the Natural
Environment*. 3(2), 54-57.
- 89- Welz, B., and Sperling, M., (1999) "Atomic Absorption
spectrometry", Third Completely Edition, WILEY-VCH verlag
GMbH, D-69469 Wenham (Federal Republic of Germany).
- 90- Yasin, S. Iqbal, T. Arshad, Z. Rustam, M. and Zafar, M.
(2012) "Environmental AL pollution from automobile vehicle
service stations", *Journal of Quality and Technology
Management*, 60-71.
- 91- Yilmaz, B.A. (2005) "Comparison of heavy metals levels of
Grey Mullet (*Mugilcephalus* 1.) and sea Bream (*Sparus aurata*

- L.) Caught in Iskenderun Bay. Turkey", ***Turkish Journal Veterinary and Animal Sciences.***, 29. 257-262.
- 92- Ogoko, E. C. (2014) " Evaluation of Polycyclic Aromatic Hydrocarbons, Total Petroleum Hydrocarbons and Some Heavy Metals in Soils of Nnpc Oil Depot Aba Metropolis, Abia State, Nigeria" ***IOSR Journal of Environmental Science, Toxicology and Food Technology***, 8(5). 2319-2399.

الباب الرابع

الملاحق

ملحق (1)

جدول التحليل العنقودي لعينات التربة من داخل المحطة

ملحق (2)

الجدول التحليل العنقودي لعينات التربة من خارج المحطة

Correlations									
	PH	EC	Cd	Zn	Cu	Pb	Fe	الرطوبة	العضووي المحتوى
PH	Pearson	1	-	-	.048	-.344	.366	.012	-.129
	Correlation		.649	.325					
	Sig. (2-tailed)		.082	.432	.910	.404	.373	.977	.760
	N	8	8	8	8	8	8	8	8
EC	Pearson	-	1	.443	.322	.375	-	.171	.035
	Correlation		.649				.201		
	Sig. (2-tailed)		.082		.272	.436	.361	.633	.686
	N	8	8	8	8	8	8	8	8
Cd	Pearson	-	.443	1	-.402	-.437	.124	-.557	.430
	Correlation		.325						
	Sig. (2-tailed)		.432	.272		.323	.279	.770	.151
	N	8	8	8	8	8	8	8	8
Zn	Pearson	.048	.322	-	1	.834**	.125	.894**	-.078
	Correlation			.402					
	Sig. (2-tailed)		.910	.436	.323		.010	.769	.003
	N	8	8	8	8	8	8	8	8
Cu	Pearson	-	.375	-	.834**	1	-	.839**	.031
	Correlation		.344		.437			.113	
	Sig. (2-tailed)		.404	.361	.279	.010		.790	.009
	N	8	8	8	8	8	8	8	8
Pb	Pearson	.366	-	.124	.125	-.113	1	.187	.103
	Correlation			.201					
	Sig. (2-tailed)		.373	.633	.770	.769	.790		.658
	N	8	8	8	8	8	8	8	8
Fe	Pearson	.012	.171	-	.894**	.839**	.187	1	.088
	Correlation			.557					
	Sig. (2-tailed)		.977	.686	.151	.003	.009	.658	.836
	N	8	8	8	8	8	8	8	8
الرطوبة	Pearson	-	.035	.430	-.078	.031	.103	.088	1
	Correlation		.129						
	Sig. (2-tailed)		.760	.935	.288	.855	.943	.808	.836
	N	8	8	8	8	8	8	8	8
المحتوى العضوي	Pearson	-	.428	.233	.192	.503	-	.061	.393
	Correlation		.536				.561		
	Sig. (2-tailed)		.171	.290	.579	.650	.204	.148	.886

N	8	8	8	8	8	8	8	8	8
---	---	---	---	---	---	---	---	---	---

ملاحق (3)

الجدول التحليل العنقودي لعينات الطبقة المائية من داخل المحطة

Correlations

		PH	EC	Cd	Zn	Cu	Pb	Fe
PH	Pearson Correlation	1	.090	-.817*	.369	.530	-.779*	.374
	Sig. (2-tailed)		.833	.013	.369	.176	.023	.361
	N	8	8	8	8	8	8	8
EC	Pearson Correlation	.090	1	-.460	.201	.104	.045	-.573
	Sig. (2-tailed)	.833		.251	.633	.806	.916	.138
	N	8	8	8	8	8	8	8
Cd	Pearson Correlation	-.817*	-.460	1	-.263	-.212	.673	-.049
	Sig. (2-tailed)	.013	.251		.529	.614	.067	.908
	N	8	8	8	8	8	8	8
Zn	Pearson Correlation	.369	.201	-.263	1	.508	-.307	.394
	Sig. (2-tailed)	.369	.633	.529		.199	.460	.335
	N	8	8	8	8	8	8	8
Cu	Pearson Correlation	.530	.104	-.212	.508	1	-.294	.593
	Sig. (2-tailed)	.176	.806	.614	.199		.480	.121
	N	8	8	8	8	8	8	8
Pb	Pearson Correlation	-.779*	.045	.673	-.307	-.294	1	-.280
	Sig. (2-tailed)	.023	.916	.067	.460	.480		.502
	N	8	8	8	8	8	8	8
Fe	Pearson Correlation	.374	-.573	-.049	.394	.593	-.280	1
	Sig. (2-tailed)	.361	.138	.908	.335	.121	.502	
	N	8	8	8	8	8	8	8

*. Correlation is significant at the 0.05 level (2-tailed).

ملحق (4)

جدول يبين العلاقة بين الرقم الهيدروجيني للترابة داخل وخارج المحطة والطبقة المائية

		PH1	PH2	PH3
PH1	Pearson Correlation	1	-.148	.435
PH2	Pearson Correlation	-.148	1	-.151
N		8	8	8
PH3	Pearson Correlation	.435	-.151	1
Sig. (2-tailed)		.727	.721	
N		8	8	8
Sig. (2-tailed)		.282	.721	
N		8	8	8

ملحق (5)

جدول يبين العلاقة بين الموصلية الكهربائية للتربة داخل وخارج المحطة والطبقة المائية

Correlations

		EC1	EC2	EC3
EC1	Pearson Correlation	1	-.201	.017
	Sig. (2-tailed)		.633	.969
	N	8	8	8
EC2	Pearson Correlation	-.201	1	-.166
	Sig. (2-tailed)	.633		.695
	N	8	8	8
EC3	Pearson Correlation	.017	-.166	1
	Sig. (2-tailed)	.969	.695	
	N	8	8	8

ملحق (6)

جدول يبين العلاقة بين المحتوى الرطوبية للترابة داخل وخارج المحطة

Correlations

		الرطوبة1	الرطوبة2
الرطوبة1	Pearson Correlation	1	.526
	Sig. (2-tailed)		.180
N		8	8
الرطوبة2	Pearson Correlation	.526	1
	Sig. (2-tailed)	.180	
N		8	8

ملحق (7)

جدول يبين العلاقة بين المحتوى العضوي للترابة داخل وخارج المحطة

Correlations

		المحتوى العضوي 1	المحتوى العضوي 2
المحتوى العضوي 1	Pearson Correlation	1	-.048
المحتوى العضوي 2	Pearson Correlation	-.048	1
Sig. (2-tailed)		.910	
N		8	8
Sig. (2-tailed)		.910	
N		8	8

ملحق (8)

جدول يبين العلاقة بين تركيز الكادميوم للترابة داخل وخارج المحطة والطبقة المائية

Correlations

		Cd1	Cd2	Cd3
Cd1	Pearson Correlation	1	.267	.570
Cd2	Pearson Correlation	.267	1	.739*
Cd3	Pearson Correlation	.570	.739*	1
N		8	8	8
Sig. (2-tailed)		.522		.036
N		8	8	8
Sig. (2-tailed)		.140		.036
N		8	8	8

ملحق (9)

جدول يبين العلاقة بين تركيز الخارصين للترابة داخل وخارج المحطة والطبقة المائية

Correlations

		Zn1	Zn2	Zn3
Zn1	Pearson Correlation	1	.630	.342
Sig. (2-tailed)			.094	.406
N	8	8	8	8
Zn2	Pearson Correlation	.630	1	.709*
Sig. (2-tailed)	.094			.049
N	8	8	8	8
Zn3	Pearson Correlation	.342	.709*	1
Sig. (2-tailed)	.406	.049		
N	8	8	8	8

ملحق (10)

جدول يبين العلاقة بين تركيز النحاس للتربة داخل وخارج المحيطة والطبقة المائية

Correlations

		Cu1	Cu2	Cu3
Cu1	Pearson Correlation	1	.404	.673
	Sig. (2-tailed)		.322	.067
	N	8	8	8
Cu2	Pearson Correlation	.404	1	.283
	Sig. (2-tailed)	.322		.496
	N	8	8	8
Cu3	Pearson Correlation	.673	.283	1
	Sig. (2-tailed)	.067	.496	
	N	8	8	8

ملحق (11)

جدول يبين العلاقة بين تركيز الرصاص للترابة داخل وخارج المحطة والطبقة المائية

Correlations

		Pb1	Pb2	Pb3
Pb1	Pearson Correlation	1	.682	-.409
	Sig. (2-tailed)		.063	.314
	N	8	8	8
Pb2	Pearson Correlation	.682	1	.311
	Sig. (2-tailed)	.063		.453
	N	8	8	8
Pb3	Pearson Correlation	-.409	.311	1
	Sig. (2-tailed)	.314	.453	
	N	8	8	8

ملحق (12)

جدول يبين العلاقة بين تركيز الحديد للتربة داخل وخارج المحطة والطبقة المائية

Correlations

		Fe1	Fe2	Fe3
Fe1	Pearson Correlation	1	.698	-.398
Fe2	Pearson Correlation	.698	1	-.268
Fe3	Pearson Correlation	-.398	-.268	1
N		8	8	8

		Fe1	Fe2	Fe3
Fe1	Pearson Correlation	1	.698	-.398
Fe2	Pearson Correlation	.698	1	-.268
Fe3	Pearson Correlation	-.398	-.268	1
N		8	8	8